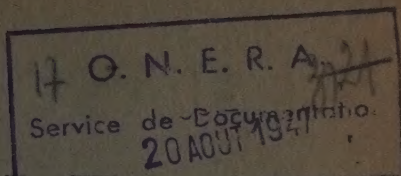


АКАДЕМИЯ НАУК СОЮЗА ССР

3222



ЖУРНАЛ ФИЗИЧЕСКОЙ ХИМИИ

ТОМ
XXI

5

ВЫПУСК

ИЗДАТЕЛЬСТВО АКАДЕМИИ НАУК СССР
МОСКВА 1947 ЛЕНИНГРАД

Наряду с исследованием структуры кристаллов желтой кровяной соли основного моноклинного типа мы определяли также структуру кристаллов тетрагонального типа. Рентгеновское исследование этих кристаллов по методам Лауэ, вращения, колебания и Вейссенберга показало большое сходство структур кристаллов обоих типов. В обоих случаях мы имеем дело со слоистыми структурами, причем строение элементарного слоя желтой кровяной соли («двухмерный кристалл») в моноклинном и в тетрагональном типе одинаково. Эти два типа различаются законом упаковки слоев по перпендикуляру к плоскости базиса. В моноклинном типе мы имеем дело с двухслойной структурой, а в тетрагональном типе — с четырехслойной. Лауэсимметрия, как видно с снимка (рис. 1), $C_{4h} = 4/m$. Лауэграммы, снятые перпендикулярно оси c , показывают, как и следовало ожидать, горизонтальную плоскость симметрии.

Длина периода C_t из рентгенограмм вращения и Вейссенберга оказалась равной $C_t = 33,63 \text{ \AA} = 4,8,4_1 \text{ \AA}$ ($8,4_1 \text{ \AA}$ равно толщине одного элементарного слоя). Направления осей X_t и Y_t в плоскости базиса показаны на лауэграмме, они легко определяются по более далеким зональным эллипсам, так как проходят через точки пересечения эллипсов друг с другом. Рентгенограммы колебания, вращения и вейссенбергограммы по координатным осям дали длину периодов, как и в моноклинном типе:

$$a = b = 9,35 \text{ \AA}.$$

Таким образом, в элементарной ячейке тетрагонального типа содержится $Z = 8$ весовых частиц.

Индексирование вейссенбергограмм дало статистику индексов, с помощью которой были определены следующие законы погасаний:

$$hkl - h + k + l = 2n; \quad hk0 - h = 2n, \quad k = 2n, \quad 00l - l = 4n.$$

Как показывает сравнение с рациональными таблицами для определения рентгеновских групп (4), эти погасания приводят нас к рентгеновской группе № 48, имеющей диффракционный символ $4_1/m J_1^4/a$ и содержащей единственную пространственную группу: $C_{4h}^6 - J_4^6/a$.

Выводы

1. Желтая кровяная соль из водных растворов иногда выпадает в виде кристаллов с тетрагональной симметрией (политипная форма). Указан типичный вид лауэграммы тетрагонального кристалла.

2. Размеры элементарной ячейки тетрагональных кристаллов желтой кровяной соли:

$$a = 9,35 \text{ \AA}; \quad c = 33,63 \text{ \AA}.$$

В элементарной ячейке содержится $Z = 8$ весовых частиц $K_4Fe(CN)_6 \cdot 3H_2O$. Решетка Браве объемноцентрированная.

3. Законы погасаний: hkl только с $h + k + l = 2n$; $hk0$ только с $h = 2n$ и $k = 2n$ и $00l$ только с $l = 4n$ приводят к рентгеновской группе № 48 $4_1/m - J_4^6/a$, содержащей единственную пространственную группу $C_{4h}^6 - J_4^6/a$.

Физико-химический институт
им. Карпова
Рентгеновская лаборатория
Москва

Поступила
15. XI. 1946

ЛИТЕРАТУРА

1. W u g o u b o w, Ann. de Chimie, 16, 280—808, 1869.
2. В. А. Поспелов и Г. С. Жданов, Журн. физ. хим. (печат.).
3. Г. С. Жданов и В. А. Поспелов, Политипия кристаллов желтой кровяной соли (доклад на сессии Федоровского института в Ленинграде 21 мая 1946 г.), Сборник трудов Института кристаллографии АН СССР (печат.); Acta Physicochimica URSS (печат.).
4. Г. С. Жданов и В. А. Поспелов, ЖЭТФ, 15, 709, 1945.

К ст. Г. С. Жданова и В. А. Поспелова

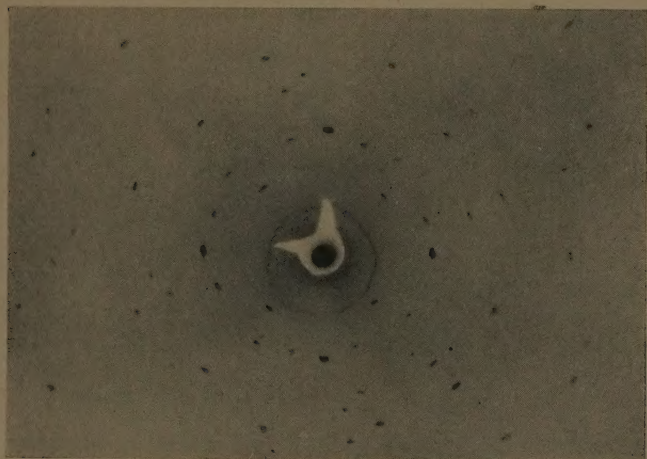


Рис. 1 (к стр. 521)

К ст. Г. С. Жданова и М. М. Уманского

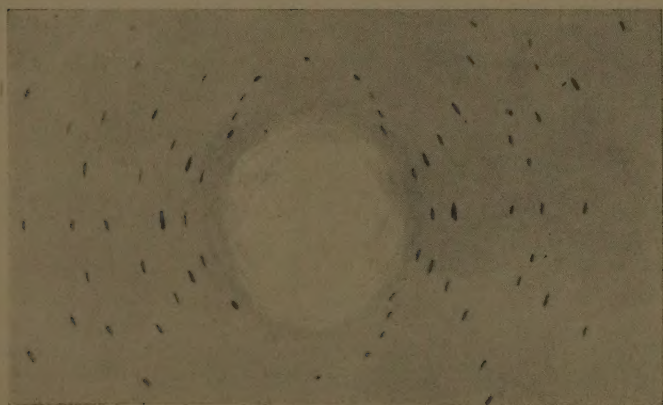


Рис. 2 (к стр. 523)

К ст. Г. С. Жданова и М. М. Уманского

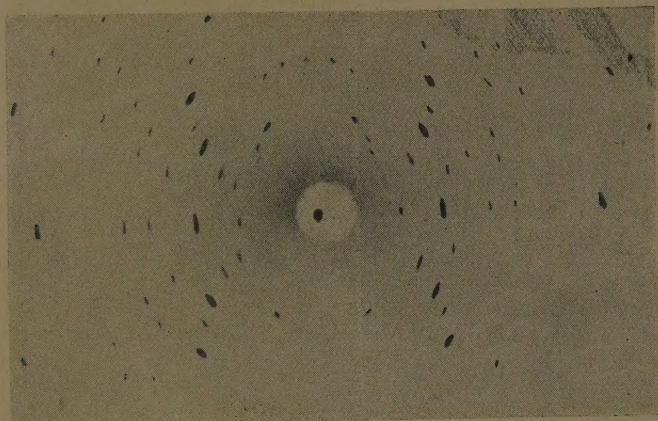


Рис. 3 (к стр. 523)

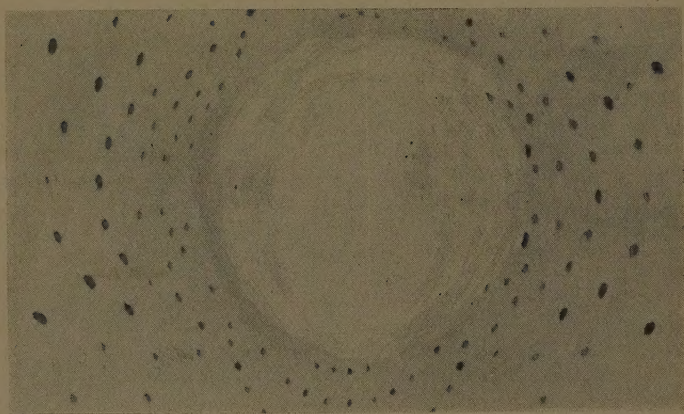


Рис. 4 (к стр. 523)

КРИСТАЛЛИЧЕСКОЕ СТРОЕНИЕ ДИНИТРОНАФТАЛИНОВ

РЕНТГЕНОГРАФИЧЕСКОЕ ОПРЕДЕЛЕНИЕ ЭЛЕМЕНТАРНОЙ ЯЧЕЙКИ И ПРОСТРАНСТВЕННОЙ ГРУППЫ КРИСТАЛЛОВ 1,8-ДИНИТРОНАФТАЛИНА

Г. С. Жданов и М. М. Уманский

Кристаллы 1,8-динитронафталена были получены кристаллизацией раствора в ацетоне в лаборатории строения вещества нашего Института. Кристаллы представляли собой либо прямоугольные вытянутые кристаллы, либо прямоугольные таблетки (рис. 1). С этих кристаллов были сняты лауэграммы по трем взаимно перпендикулярным осям, которые во всех случаях обнаруживали две взаимно перпендикулярные линии симметрии. Таким образом, рентгенограммы Лауэ, в соответствии с габитусом, подтверждают принадлежность кристаллов 1,8-динитронафталена к ромбической сингонии; лауэ-симметрия $D_{2h} - mmm$.

Внешний вид лауэграмм, снятых по осям a и b (рис. 2 и 3), отличается от внешнего вида лауэграммы по оси c (рис. 4). На лауэграммах по осям a и b хорошо видны семейства зональных эллипсов, пересекающих ось c . На лауэграмме по оси c зональные эллипсы менее выражены и равномерно уширяются вокруг осей a и b . Эти особенности лауэграмм привели нас к заключению, что периоды по осям a и b имеют значительно большую длину, чем период по оси c . Рентгено съемки с монохроматическим излучением подтвердили наше заключение. В ходе рентгеновского исследования мы считаем полезным использовать отмеченную особенность лауэграмм для предварительного суждения о соотношении периодов по различным осям кристалла. Исследование кристалла 1,5-динитронафталена (второе сообщение) дало дополнительный материал, подтверждающий правильность сделанного нами наблюдения.

Для определения размеров ромбической ячейки кристалла 1,8-динитронафталена были сняты рентгенограммы вращения и колебания по $[100]$ и $[001]$ на медном и молибденовом излучениях. Длина периода по $[010]$ была определена из экваториальных вейссенбергограмм, снятых по $[100]$ и $[001]$ на медном излучении. Размеры элементарной ячейки таковы:

$$a = 11,39, \quad b = 15,15, \quad c = 5,40 \text{ \AA}.$$

Используя значение плотности $\sigma_{\text{ликв}} = 1,46$, по определению В. Г. Вальева, находим число молекул в элементарной ячейке $Z = 3,80 \approx 4$. Отсюда рентгенографическая плотность $\sigma_x = 1,53$; заметное расхождение экспериментальной измеренной плотностью требует дальнейшего выяснения.

Статистика индексов, необходимая для определения пространственной группы, была получена на основании индиферирования вейссенбергограмм. При этом было установлено отсутствие закономерных погасаний для реф-

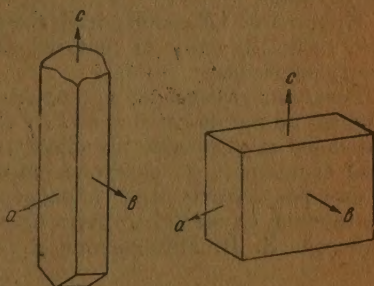


Рис. 1

лексов типа $0kl$ и hko . Отсюда однозначно вытекает отсутствие погасаний для рефлексов общего типа hkl , что говорит о примитивности элементарной ячейки. Рефлексы частного типа $h00$, $0k0$, $00l$ наблюдались только с четными индексами, т. е. при $h = 2n$, $k = 2n$, $l = 2n$. Как показываю рациональные таблицы для определения рентгеновских групп [1], наблюдаемые погасания однозначно приводят к рентгеновской группе № 11, содержащей единственную пространственную группу $D_2^4 - P2_12_12_1$. Вытекающее отсюда отсутствие закономерных погасаний рефлексов $h00$ мы не считали необходимым проверить на опыте.

Рентгеновское исследование кристалла 1,8-динитронафталина устанавливает точечную группу симметрии $D_2 = 222$ и однозначно показывает, что этот кристалл не обладает центром симметрии [2].

Как вытекает из статистики кристаллических структур, данной В. Новацким [3], и из результатов геометрического анализа плотных упаковок сложных по форме молекул, проведенного А. И. Китайгородским [4] элементами симметрии органических кристаллов чаще всего должны быть плоскости скольжения и винтовые оси 2-го порядка. Симметрия кристалла 1,8-динитронафталина находится в согласии с выводами из этих работ, так как в этом кристалле имеются только винтовые оси симметрии 2-го порядка, принадлежащие к трем взаимно перпендикулярным семействам.

Кристаллы 1,8-динитронафталина выбирают пространственную группу $D_2^4 - P2_12_12_1$, одну из трех «излюбленных» органическими кристаллами пространственных групп.

Рентгенографическое исследование строения динитронафталинов принято по инициативе проф. Я. К. Сыркина и М. Е. Дяткиной. Предварительное определение элементарной ячейки и пространственной группы было выполнено по рентгенограммам, снятым Е. И. Казанцевой. Полученные результаты были проверены З. В. Минервиной и Е. А. Шугам. Пользуемся случаем выразить благодарность В. Г. Васильеву, Е. И. Казанцевой, З. В. Минервиной и Е. А. Шугам.

Выводы

1. Кристаллы 1,8-динитронафталина относятся к ромбической системе. Точечная группа симметрии на основании рентгеновского анализа $D_2 - 222$ (центр симметрии отсутствует).

2. Размеры осей элементарной ячейки: $a = 11,39 \text{ \AA}$; $b = 15,15 \text{ \AA}$; $c = 5,40 \text{ \AA}$. Пикнометрическая плотность $\sigma_{\text{пикн}} = 1,46$. Число молекул в элементарной ячейке $Z = 4$. Рентгенографическая плотность $\sigma_x = 1,5$.

3. Погасания $h00$, $0k0$, $00l$ при $h = 2n+1$, $k = 2n+1$ и $l = 2n+1$ однозначно определяют пространственную группу $D_2 - P2_12_12_1$ с примитивной решеткой Браве.

4. Пространственная группа кристалла 1,8-динитронафталина $D_2^4 - P2_12_12_1$ с двойными винтовыми осями — одна из излюбленных органическими кристаллами пространственных групп.

5. Отмечена характерная особенность лауэграмм, позволяющая непосредственно судить, по внешнему виду лауэграмм, о соотношении размеров осей кристаллов.

Физико-химический институт им. Карпова
Рентгеновская лаборатория
Москва

Поступил
26.XI.19

ЛИТЕРАТУРА

1. Г. Жданов и В. Поспелов, ЖЭТФ 15, 709, 1945.
2. Г. Жданов, ЖЭТФ, 15, 703, 1945.
3. W. Nowacki, Helv. Chim. Acta 25, 863, 1942.
4. А. И. Китайгородский, Acta Phys. Chim URSS, 21, 899, 1946.

КРИСТАЛЛИЧЕСКОЕ СТРОЕНИЕ ДИНИТРОНАФТАЛИНОВ

РЕНТГЕНОГРАФИЧЕСКОЕ ОПРЕДЕЛЕНИЕ ЭЛЕМЕНТАРНОЙ ЯЧЕЙКИ И ПРОСТРАНСТВЕННОЙ ГРУППЫ КРИСТАЛЛА 1,5-ДИНИТРОНАФТАЛИНА

Н. Г. Севастьянов, Г. С. Жданов и М. М. Уманский

Кристаллы 1,5-динитронафталины были получены кристаллизацией раствора в ацетоне в лаборатории строения вещества под руководством Г. Васильева. Кристаллы имели игольчатую форму (рис. 1) и, как показали первые гониометрические измерения, обнаруживали две вертикальные плоскости симметрии. Расположение нормалей к отражающим зонам 1, 2, 3 зоны [001] показано на рис. 2, на котором следы двух взаимно перпендикулярных плоскостей симметрии отмечены буквами P_1 и P_2 . Угол между гранью 2 и осью $a_0 \sim 25^\circ$. Отсюда $b_0: a_{0\text{крист}} = 1: \text{ctg } 25^\circ =$

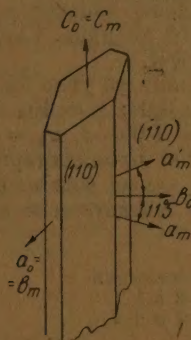


Рис. 1

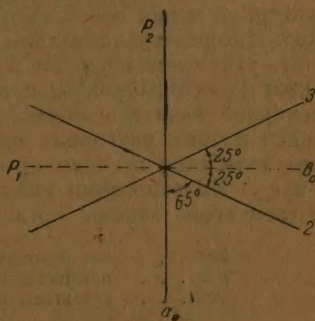


Рис. 2

: 2, 14. Эти данные первоначально привели к предположению, что кристалл 1,5-динитронафталины относится к ромбической сингонии, в соответствии с чем были выбраны ортогональные оси: a_0 , b_0 и c_0 .

Однако дальнейшее исследование обнаружило, что истинная симметрия кристаллов — моноклиная. Направления моноклиных осей, отмеченных индексом m , также показаны на рис. 1. Ромбические «кристаллы» представляли собой равномерно развитые двойники с плоскостью двойникования a_0c_0 (плоскость P_2). Истинная моноклиная плоскость b_0c_0 (плоскость P_1) у обоих кристаллов двойника совпадает. Сочетание двух осей симметрии P_1 и P_2 приводит к повышению симметрии двойника. Угловая симметрия двойника, в соответствии с его габитусом, $D_{2h} - mmm$. На лауэграммах двойника 1,5-динитронафталины в еще более резкой мере, чем для кристалла 1,8-динитронафталины (см. сообщение I), была обнаружена асимметрия в расположении зональных эллипсов, группировавшихся вдоль оси c_0 . Эта особенность лауэграмм связана с очень малой длиной периода ($c_0 = 3,7 \text{ \AA}$).

Предварительное определение элементарной ячейки 1,5-динитронафталины было произведено в 1945 г. с помощью рентгенограммы вращения [001] и рентгенограмм Вейссенберга по [001], снятых Е. И. Казанцевым на К — Си-излучении. Из снимка вращения и экваториальной вейс-

сенбергограммы было найдено: $a_0 = 16,4 \text{ \AA}$; $b_0 = 7,6_5$; $c_0 = 3,7 \text{ \AA}$. Отсюда $b_0 : a_{0\text{рентг}} = 1 : 2,14$, что хорошо согласуется с найденным выше кристаллографическим отношением осей. Пользуясь значением плотности $\sigma_{\text{плки}} = 1,62$ (по определению В. Г. Васильева), получаем число молекул в элементарной ячейке $Z = \frac{\sigma \cdot v}{m \cdot m_H} = \frac{1,62 \cdot 464}{218 \cdot 1,66} = 2,07 \sim 2$ молекулы.

Рентгенограмма Вейссенберга по [001] первой слоевой линии показал расщепление узловых прямых на дублеты, параллельные оси a^*_0 , с расстоянием между линиями дублетов $\sim \frac{1}{6} b_0^*$. Анализ всех рентгенограмм двойника (Лауэ, вращения, Вейссенберга), а также специально снимаемой серии рентгенограмм колебания привел к определению истинно моноклинной ячейки. Формулы преобразования псевдоромбических осей к моноклинным осям таковы:

$$a_m \cos \beta = b_0, \quad b_m = a_0, \quad c_m = c_0, \quad \beta \approx 105^\circ.$$

В 1946 г. моноклинная ячейка была подтверждена детальным рентгеновским исследованием Н. Г. Севастьянова, которому удалось обнаружить моноклинный кристалл 1,5-динитронафталина без заметных следов двойника. С этого кристалла по трем осям моноклинной ячейки были сняты лауэграммы, показавшие наличие только одной плоскости симметрии и перпендикулярной к ней оси симметрии 2-го порядка. Следовательно лауэ-симметрия 1,5-динитронафталина $C_{2h} - 2/m$.

В результате уточнения периодов и моноклинного угла было найдено $a_m = 7,81 \pm 0,02$; $b_m = 16,02 \pm 0,04$; $c_m = 3,62 \pm 0,01$; $\beta = 101^\circ 30'$. Отсюда объем элементарной ячейки $v = 444 \text{ \AA}^3$ и $Z = 1,99 \sim 2$, $\sigma_x = 1,63$.

Моноклинная ячейка позволила однозначно проиндексировать серии рентгенограмм колебания по осям a_m и b_m , а также вейссенбергограмм по осям b_m и c_m . На основании полученной статистики индексов были установлены следующие законы погасаний:

hkl . . .	нет закономерных погасаний
$h0l$. . .	погашены при $h = 2n + 1$
$0k0$. . .	погашены при $k = 2n + 1$

Эти погасания, как видно из рациональных таблиц для определения рентгеновских групп [1], приводят к рентгеновской группе № 5, содержащей единственную пространственную группу $C_{2h}^2 - P2_1/c$. Как и в случае кристалла 1,8-динитронафталина, рентгеноанализ приводит к однозначному определению симметрии, устанавливая наличие центра симметрии в кристалле 1,5-динитронафталина. В этом кристалле имеются оба вида излюбленных органическими кристаллами элементов симметрии пространственных групп: плоскости скольжения и винтовые оси 2-го порядка. Пространственная группа $C_{2h}^5 - P2_1/a$, по В. Новацкому и А. И. Китайгородскому, — наиболее часто встречаемая и наиболее вероятная пространственная группа для органических кристаллов.

Предварительный анализ расположения молекул в ячейке показывает, что центры симметрии молекул 1,5-динитронафталина занимают в ячейке двухкратное центросимметричное положение $2(a) : 000$ и $\frac{1}{2} \frac{1}{2} 0$. Малая величина периода по оси c ($3,62 \text{ \AA}$) хорошо согласуется с плоской моделью молекулы 1,5-динитронафталина, в которой плоскости нитрогрупп, вероятно, совпадают с плоскостью бензольных колец. Плоскости молекул параллельны или наклонны под небольшим углом к плоскости (ab) ячейки. Геометрический анализ возможного размещения молекул, а также анализ интенсивности ряда рефлексов позволяет довольно точно фиксировать положение молекулы относительно осей a_m и b_m . Мы надеемся

учить подтверждение и уточнение результатов геометрического анализа структуры, а также провести измерение координат атомов на основании более детального анализа интенсивностей и построения двумерного электронного изображения.

Выражаем нашу благодарность В. Г. Васильеву и Е. И. Казанцевой за помощь в проведении данного исследования.

Выводы

1. Кристаллы 1,5-динитронафталина относятся к моноклинной системе. Элементарная группа симметрии на основании рентгеновского анализа C_{2h} — (центр симметрии присутствует). Кристаллы 1,5-динитронафталина образуют двойники по (100) с ромбической симметрией.
2. Размеры осей элементарной ячейки: $a = 7,81 \pm 0,02$; $b = 16,02 \pm 0,04$; $c = 3,62 \pm 0,01$; $\beta = 101^\circ 30'$. Пикнометрическая плотность $\sigma_{\text{пикн}} = 1,62$. Число молекул в элементарной ячейке $Z=2$. Рентгенографическая плотность $\sigma_x = 1,63$.
3. Погасания (hkl — нет погасаний, $h0l$ — погасания при $h = 2n+1$, $0k0$ — погасания при $k = 2n+1$) однозначно определяют пространственную группу $C_{2h}^5 - P2_1/a$. Решетка Браве примитивная.
4. Кристаллы 1,5-динитронафталина принадлежат к пространственной группе C_{2h}^5 с двойными винтовыми осями и плоскостями скольжения, чаще встречаемой среди органических кристаллов.
5. Плоские центросимметричные молекулы 1,5-динитронафталина в кристалле занимают двухкратные центросимметричные положения $2(a) : 000$.
6. Плоскости молекул параллельны или образуют небольшой угол с плоскостью (001) кристалла.

Физико-химический институт
им. Карпова
Рентгеновская лаборатория
Москва

Поступила
26.XI.1946

ЛИТЕРАТУРА

С. Жданов и В. А. Поспелов, ЖЭТФ 15, 709, 1945.

ЭЛЕКТРОННЫЕ УРОВНИ И СПЕКТР ПОГЛОЩЕНИЯ НАФТАЛИНА

Л. А. Блюменфельд

В 1937 г. Складар [1] предположил, что энергия поглощаемого кванта определяется разностью между основным и возбужденным энергетическими уровнями молекулы, возникающими в результате резонанса между разными валентными схемами, и рассчитал спектры поглощения некоторых сложных молекул.

Положение первой интенсивной полосы поглощения нафталина было рассчитано Фёрстером [2]. Из 42 канонических структур нафталина Фёрстер учитывает лишь три структуры Кекуле, пренебрегая 39 структурами с растянутыми связями, хотя они заметно сказываются на свойствах молекулы. По Шерману [3] учет 39 возбужденных структур снижает основной уровень на $0,67\alpha$ ($C + 4,04\alpha$ вместо $C + 3,37\alpha$)*. А priori совершенно очевидно, что возбужденный уровень снижается на ту же величину, энергия перехода, таким образом, не меняется. Кроме того, переход между основным и первым возбужденным состоянием следует относить к интенсивной полосе ($\sim 2820 \text{ \AA}$), а к первой полосе ($\sim 3193 \text{ \AA}$). Исследования симметрии уровней Фёрстером не производились.

Из изложенного ясно, что результаты Фёрстера требуют проверки; тем более, что Фёрстер сделал слишком далеко идущие выводы, распространив этот расчет на более сложные углеводороды. Представляется интересным рассчитать энергетические уровни нафталина с учетом всех структур.

Вековое уравнение 42-й степени приводится с помощью теории групп к четырём уравнениям 16-, 10-, 10- и 6-й степени. Это приведение эквивалентно разложению группы перестановок спиновых функций молекулы на неприводимые части.

Подобное разложение для молекулы нафталина (группа симметрии D_{2h}) было проведено Германом [4] и (в его обозначениях) выглядит так:

$$\Gamma = 16\Gamma_1 + 10\Gamma_3 + 10\Gamma_6 + 6\Gamma_8.$$

Выбирая из линейных комбинаций 42 канонических структур нафталина из них, которые преобразуются при симметрических операциях группы D_{2h} как неприводимые представления Γ_1 , Γ_3 , Γ_6 и Γ_8 (таблица характеров неприводимых представлений группы симметрии D_{2h} дана, например, Германом [5]), можно найти матричные элементы всех четырех вековых уравнений.

Матричные элементы уравнения 16-й степени приведены у Шермана [3]. Он же нашел низший энергетический уровень $E_1 = C + 4,04\alpha$. Ниже приведены матричные элементы остальных уравнений, найденные по «методу островов» Паулинга [6].

При решении методом Джемса — Куллиджа [7] ближайший к основному уровень был найден в уравнении 16-й степени симметрии Γ_1 и оказался равным $E_2 = C + 2,01\alpha$. Следующий корень принадлежит к симметрии Γ_6 : $E_3 = C + 1,81\alpha$. Как показал расчет, следующий корень уравнения лежит выше, чем $C - \alpha$, что важно для дальнейшего расчета. Наимизший уровень в уравнении Γ_3 : $E_4 = C + 0,01\alpha$ и в урав-

* α — обменный интеграл, определяющий энергию обмена электрона между двумя соседними атомами углерода. α всегда отрицателен.

Матричные элементы вековых уравнений
Симметрии Γ_8

$\frac{15}{4} \left -\frac{9}{4}; \right.$	$\frac{3}{2} \left -\frac{3}{4}; 0; \right.$	$-\frac{3}{4} \left -\frac{3}{4}; \right.$	$-\frac{3}{2} \left -\frac{3}{4}; \right.$	$-\frac{2}{3} \left 0; \right.$	$\frac{3}{4} \left \frac{3}{4}; \right.$	$\frac{3}{2} \left -3; \right.$	$0 \left \frac{3}{2}; \right.$	$0 \left -\frac{3}{4}; \right.$	$\frac{3}{2} \left -3; \right.$
$\frac{3}{2} \left -\frac{3}{2}; \right.$	$\frac{3}{4} \left 0; \right.$	$\frac{3}{4} \left 0; \right.$	$\frac{3}{4} \left 0; \right.$	$-\frac{3}{4} \left -\frac{3}{4}; \right.$	$\frac{3}{2} \left 0; \right.$	$\frac{3}{2} \left 0; \right.$	$\frac{3}{8} \left \frac{3}{8}; \right.$	$\frac{3}{8} \left \frac{3}{8}; \right.$	$\frac{3}{8} \left -\frac{3}{8}; \right.$
$\frac{3}{2} \left -\frac{9}{2}; \right.$	$\frac{3}{2} \left -\frac{9}{2}; \right.$	$\frac{3}{2} \left -\frac{9}{2}; \right.$	$\frac{3}{2} \left -\frac{9}{2}; \right.$	$\frac{3}{2} \left -\frac{9}{2}; \right.$	$\frac{3}{2} \left -\frac{9}{2}; \right.$	$\frac{3}{2} \left -\frac{9}{2}; \right.$	$\frac{3}{2} \left -\frac{9}{2}; \right.$	$\frac{3}{2} \left -\frac{9}{2}; \right.$	$\frac{3}{2} \left -\frac{9}{2}; \right.$
$\frac{15}{8} \left -\frac{3}{8}; \right.$	$\frac{15}{8} \left -\frac{3}{8}; \right.$	$\frac{15}{8} \left -\frac{3}{8}; \right.$	$\frac{15}{8} \left -\frac{3}{8}; \right.$	$\frac{15}{8} \left -\frac{3}{8}; \right.$	$\frac{15}{8} \left -\frac{3}{8}; \right.$	$\frac{15}{8} \left -\frac{3}{8}; \right.$	$\frac{15}{8} \left -\frac{3}{8}; \right.$	$\frac{15}{8} \left -\frac{3}{8}; \right.$	$\frac{15}{8} \left -\frac{3}{8}; \right.$
$\frac{3}{2} \left -\frac{3}{2}; \right.$	$\frac{3}{2} \left -\frac{3}{2}; \right.$	$\frac{3}{2} \left -\frac{3}{2}; \right.$	$\frac{3}{2} \left -\frac{3}{2}; \right.$	$\frac{3}{2} \left -\frac{3}{2}; \right.$	$\frac{3}{2} \left -\frac{3}{2}; \right.$	$\frac{3}{2} \left -\frac{3}{2}; \right.$	$\frac{3}{2} \left -\frac{3}{2}; \right.$	$\frac{3}{2} \left -\frac{3}{2}; \right.$	$\frac{3}{2} \left -\frac{3}{2}; \right.$
$\frac{15}{4} \left -\frac{21}{4}; \right.$	$\frac{15}{4} \left -\frac{21}{4}; \right.$	$\frac{15}{4} \left -\frac{21}{4}; \right.$	$\frac{15}{4} \left -\frac{21}{4}; \right.$	$\frac{15}{4} \left -\frac{21}{4}; \right.$	$\frac{15}{4} \left -\frac{21}{4}; \right.$	$\frac{15}{4} \left -\frac{21}{4}; \right.$	$\frac{15}{4} \left -\frac{21}{4}; \right.$	$\frac{15}{4} \left -\frac{21}{4}; \right.$	$\frac{15}{4} \left -\frac{21}{4}; \right.$
$\frac{3}{2} \left -\frac{3}{2}; \right.$	$\frac{3}{2} \left -\frac{3}{2}; \right.$	$\frac{3}{2} \left -\frac{3}{2}; \right.$	$\frac{3}{2} \left -\frac{3}{2}; \right.$	$\frac{3}{2} \left -\frac{3}{2}; \right.$	$\frac{3}{2} \left -\frac{3}{2}; \right.$	$\frac{3}{2} \left -\frac{3}{2}; \right.$	$\frac{3}{2} \left -\frac{3}{2}; \right.$	$\frac{3}{2} \left -\frac{3}{2}; \right.$	$\frac{3}{2} \left -\frac{3}{2}; \right.$
$\frac{15}{4} \left -\frac{9}{4}; \right.$	$\frac{15}{4} \left -\frac{9}{4}; \right.$	$\frac{15}{4} \left -\frac{9}{4}; \right.$	$\frac{15}{4} \left -\frac{9}{4}; \right.$	$\frac{15}{4} \left -\frac{9}{4}; \right.$	$\frac{15}{4} \left -\frac{9}{4}; \right.$	$\frac{15}{4} \left -\frac{9}{4}; \right.$	$\frac{15}{4} \left -\frac{9}{4}; \right.$	$\frac{15}{4} \left -\frac{9}{4}; \right.$	$\frac{15}{4} \left -\frac{9}{4}; \right.$
$\frac{3}{2} \left -\frac{3}{2}; \right.$	$\frac{3}{2} \left -\frac{3}{2}; \right.$	$\frac{3}{2} \left -\frac{3}{2}; \right.$	$\frac{3}{2} \left -\frac{3}{2}; \right.$	$\frac{3}{2} \left -\frac{3}{2}; \right.$	$\frac{3}{2} \left -\frac{3}{2}; \right.$	$\frac{3}{2} \left -\frac{3}{2}; \right.$	$\frac{3}{2} \left -\frac{3}{2}; \right.$	$\frac{3}{2} \left -\frac{3}{2}; \right.$	$\frac{3}{2} \left -\frac{3}{2}; \right.$
$\frac{15}{4} \left -\frac{51}{8}; \right.$	$\frac{15}{4} \left -\frac{51}{8}; \right.$	$\frac{15}{4} \left -\frac{51}{8}; \right.$	$\frac{15}{4} \left -\frac{51}{8}; \right.$	$\frac{15}{4} \left -\frac{51}{8}; \right.$	$\frac{15}{4} \left -\frac{51}{8}; \right.$	$\frac{15}{4} \left -\frac{51}{8}; \right.$	$\frac{15}{4} \left -\frac{51}{8}; \right.$	$\frac{15}{4} \left -\frac{51}{8}; \right.$	$\frac{15}{4} \left -\frac{51}{8}; \right.$

* $\frac{15}{4} \left| \frac{9}{4}; -\frac{9}{4}; \right.$ например, означает $15/4 (C - E) - 9/4\alpha$, где E — исходная энергия, C — кулоновский, α — обменный интеграл.

Симметрия Γ_8

$\frac{9}{4} \left -\frac{15}{4}; \right.$	$-\frac{3}{4} \left \frac{3}{4}; \right.$	$\frac{3}{2} \left \frac{3}{2}; \right.$	$\frac{3}{4} \left \frac{3}{4}; \right.$	$-\frac{3}{2} \left 3; \right.$	$0 \left \frac{3}{2}; \right.$
	$3 \left \frac{9}{2}; \right.$	$-3 \left 3; \right.$	$-\frac{3}{4} \left -\frac{3}{4}; \right.$	$\frac{3}{2} \left 0; \right.$	$-\frac{3}{4} \left -\frac{3}{4}; \right.$
		$\frac{9}{2} \left -\frac{9}{2}; \right.$	$\frac{3}{2} \left 0; \right.$	$-\frac{3}{2} \left -\frac{3}{2}; \right.$	$\frac{3}{2} \left -\frac{3}{2}; \right.$
			$\frac{9}{4} \left -\frac{25}{4}; \right.$	$-\frac{3}{2} \left 3; \right.$	$0 \left \frac{3}{2}; \right.$
				$3 \left -9; \right.$	$0 \left -\frac{3}{2}; \right.$
					$\frac{9}{4} \left -\frac{33}{4}; \right.$

нении $\Gamma_8: E_5 = C - 0,44 \alpha$. Таким образом, последовательность энергетических уровней в нафталине при расчете методом НЛ такова:

$-0,44 \alpha$	_____	Γ_8
$0,01 \alpha$	_____	Γ_3
$1,81 \alpha$	_____	Γ_6
$2,01 \alpha$	_____	Γ_1
$4,04 \alpha$	_____	Γ_1

Следует отметить, что Герман [4] в своей работе об энергетических уровнях нафталина при расчете методом молекулярных орбит приписывает иную последовательности возбужденных уровней $\Gamma_6, \Gamma_6, \Gamma_3$, указывая, что на основании теоремы о непересекаемости термов подобная последовательность должна сохраниться и при точном расчете. Не рассматривая подробно этот вопрос, заметим только, что теорема о непересекаемости термов здесь неприменима, так как она верна лишь для уровней, принадлежащих к одному неприводимому представлению [8].

Последовательность уровней при расчете с приближением Фёрстера т. е. с учетом только трех структур Кекуле, такова:

$0,03 \alpha$	_____	Γ_1
$1,4 \alpha$	_____	Γ_6
$3,37 \alpha$	_____	Γ_1

Нами был также произведен расчет энергетических уровней с учетом трех структур Кекуле и шестнадцати структур с одной растянутой связью при пренебрежении структурами с двумя и тремя растянутыми связями. Последовательность уровней при этом получилась такая:

$-\alpha$	_____	Γ_8
$-0,02 \alpha$	_____	Γ_3
$1,07 \alpha$	_____	Γ_1
$1,76 \alpha$	_____	Γ_6
$4,0036 \alpha$	_____	Γ_1

Из приведенного материала ясно, что приближение Фёрстера и наше предыдущее приближение не только совершенно неправильно перестроит переход типа $\Gamma_1 \rightarrow \Gamma_1$, но неверно отображают даже порядок уровней. Пользоваться таким приближением при расчете спектров нельзя.

Мы рассчитали веса структур в уровнях типа Γ_1 и Γ_6 .* Для расчетов структур основного уровня $C + 4,04 \text{ \AA}$ мы воспользовались коэффициентами при волновых функциях, найденными Шерманом. При расчете весов структур мы для упрощения пренебрегли неортогональностью волновых функций, отвечающих отдельным каноническим структурам, является, конечно, грубым приближением.

Веса структур для уровней типа Γ_1 , Γ_1 и Γ_6 таковы:

$C + 4,04 \text{ \AA}$	29,8%	2 · 12,8%	2 · 6,1%	4 · 2,4%	2 · 2%
$C + 2,01 \text{ \AA}$	2,3%	2 · 10,7%	2 · 0,8%	4 · 3,9%	2 · 2,9%
$C + 1,81 \text{ \AA}$	0	2 · 27,4%	2 · 3,1%	4 · 4,6%	0

$C + 4,04 \text{ \AA}$	4 · 1,8%	2 · 1,7%	2 · 1,4%	1,3%	4 · 0,4%
$C + 2,01 \text{ \AA}$	4 · 3,4%	2 · 3%	2 · 4,4%	0,3%	4 · 1,2%
$C + 1,81 \text{ \AA}$	4 · 2,4%	0	2 · 2,6%	0	4 · 0,4%

$C + 4,04 \text{ \AA}$	4 · 0,4%	2 · 0,15%	4 · 0,14%	4 · 0,06%	2 · 0,09%
$C + 2,01 \text{ \AA}$	4 · 0,9%	2 · 1,7%	4 · 1,3%	4 · 1,4%	2 · 0,4%
$C + 1,81 \text{ \AA}$	4 · 0,1%	2 · 0,8%	4 · 0,3%	4 · 0,2%	0

* Вернее, были рассчитаны величины $\frac{C_i^2}{\sum C_i^2}$, где C_i — коэффициент при волновой функции, отвечающей i -ой канонической структуре.



$$\Gamma_1: C + 4,04 \alpha \quad 2 \cdot 0,004\%$$

$$\Gamma_1: C + 2,01 \alpha \quad 2 \cdot 0,6\%$$

$$\Gamma_6: C + 1,81 \alpha \quad 0$$

Таким образом, Фёрстер для основного уровня $\Gamma_1: C + 4,04 \alpha$ учитывает $\sim 55,4\%$ от веса всех структур, а для первого возбужденного уровня $\Gamma_1: C + 2,01 \alpha$ лишь $\sim 23,7\%$. Правильно передать переход $\Gamma_1 \rightarrow$ подобное приближение не может. Для уровня $\Gamma_6: C + 1,81 \alpha$ Фёрстер учитывает $\sim 54,8\%$ от веса всех структур, т. е. точность расчета для основного и второго возбужденного уровней случайно совпадают, и переход передан примерно правильно.

Применение правил отбора для спектральных переходов между электронными уровнями молекулы нафталина (симметрия D_{2h}) приводит к выводу о том, что разрешены переходы типа $\Gamma_1 \rightarrow \Gamma_6$ и $\Gamma_1 \rightarrow \Gamma_8$ и запрещены переходы типа $\Gamma_1 \rightarrow \Gamma_1 \rightarrow \Gamma_3$ [4]. Переход между основным и первым возбужденным уровнем запрещен и соответствующая полоса должна появиться в спектре с малой интенсивностью.

Для численного расчета мы пользовались величиной $\alpha = 1,92$, которую употреблял Скляр [1], получивший хорошее совпадение с опытом при точном расчете бензола. Как показал Ковнер [9], это значение α дает хорошие результаты и при расчете ряда полиенов. Пользуясь обменным интегралом α , как параметром, фактически определяемым из опытных спектров поглощения сходных веществ*, мы автоматически включили в α ошибки приближенного расчета.

Спектр поглощения нафталина в парах [11] содержит отчетливо две системы линий, резко отличающихся по интенсивности. Первая полоса начинается со слабо интенсивной линии $\lambda = 3193 \text{ \AA}$, коэффициент поглощения $\epsilon = 16$, за которой следует ряд линий до $\lambda = 2818 \text{ \AA}$. Коэффициент поглощения ни одной из этих линий не превышает 365. Вторая полоса начинается с линии $\lambda = 2820 \text{ \AA}$, $\epsilon = 4800$ и продолжается до $\lambda = 2485 \text{ \AA}$. Интенсивности линий этой полосы заключены в пределах от 4000 до 6400.

Первую полосу следует отнести к запрещенному электронному переходу типа $\Gamma_1 \rightarrow \Gamma_1$ ($2,03 \alpha$), вторую — к разрешенному переходу типа $\Gamma_1 \rightarrow \Gamma_6$ ($2,23 \alpha$).

Расчет с $\alpha = 1,92$ дает для чисто электронных переходов следующие значения длин волн:

	Энергия перехода	$\lambda_{\text{расч.}}$	$\lambda_{\text{эмп.}}$
$\Gamma_1 \rightarrow \Gamma_6$	$2,03 \alpha$	3177 \AA	3193 \AA
$\Gamma_1 \rightarrow \Gamma_1$	$2,23 \alpha$	2892 \AA	2820 \AA

В спектре поглощения нафталина имеется еще очень интенсивный пик с $\lambda = 2209 \text{ \AA}$, $\epsilon = 96000$ [12]. Эта полоса, по характеру резко отличающаяся от остальных частей спектра, присутствует во всех углеводородах. В бензоле она появляется с той же аномально высокой интенсивностью при $\lambda = 1850 \text{ \AA}$ [13].

* α , полученное из термохимических данных, имеет другую величину [10].

В нашем расчете нет переходов, отвечающих этой полосе. Разрешенный переход $\Gamma_1 \rightarrow \Gamma_8$ (4,48 э) лежит в далекой Шумановской области. Второй корень уравнения Γ_6 лежит еще выше. Следует отметить, что полоса $\lambda = 1850\text{Å}$ для бензола также выпадает из расчета Склира. Я. К. Сыркин высказал предположение, что эта полоса отвечает не возбуждению молекулы как целого, а возбуждению отдельных связей C—H.

Полоса, отвечающая связи C—H, должна из-за повышения кислотного характера водорода при переходе от насыщенных соединений к ненасыщенным смещаться в сторону более длинных волн. В ароматических системах, благодаря делокализации электрона в кольце, состояние $C-H^+$ становится более вероятным по мере усложнения молекулы, и полоса должна сдвигаться к длинноволновой части спектра, что и имеет место действительности. Прайс и Уолш [14] при анализе спектра поглощения ксатриена были вынуждены ассоциировать полосу $\lambda = 1400\text{Å}$ с возбуждением связи C—H.

Нашу интерпретацию полос 3193Å и 2820Å подтверждает исследование спектра нафталина при низких температурах. Прихотько [45], изучавшая спектр поглощения нафталина при температуре $20,4^\circ\text{K}$, нашла три полосы в области, начиная с $\lambda = 3388,8\text{Å}$, с интенсивностью ничтожно малой по сравнению с линиями, начинающимися с $\lambda = 2963,4\text{Å}$, что соответствует нашим запрещенным и разрешенным переходам.

Нашу интерпретацию подтверждает и поведение спектров поглощения монопроизводных нафталина. В тех случаях, когда разумно предполагать сопряжение, а следовательно, и нарушение симметрии электронного облика молекулы, характер спектра резко меняется. Интенсивность первой полосы повышается до значения интенсивности второй полосы, а вторая полоса остается без изменения.

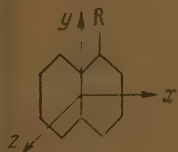
Действительно, в монопроизводных снимается запрет с первого перехода типа $\Gamma_1 \rightarrow \Gamma_1$.

Таблица характеров неприводимых представлений:

	E	σ_2
Γ_1	1	1
Γ_2	1—1	

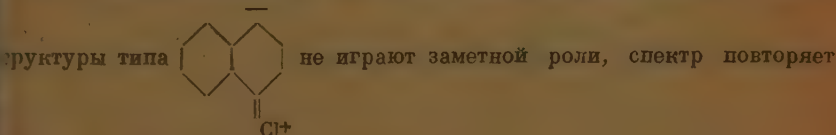
Электрические векторы преобразуются следующим образом

$$\left. \begin{aligned} P_x &\sim \Gamma_1 \\ P_y &\sim \Gamma_1 \\ P_z &\sim \Gamma_2 \end{aligned} \right\} \begin{array}{l} \text{переход } \Gamma_1 \rightarrow \Gamma_1 \\ \text{разрешен} \end{array}$$

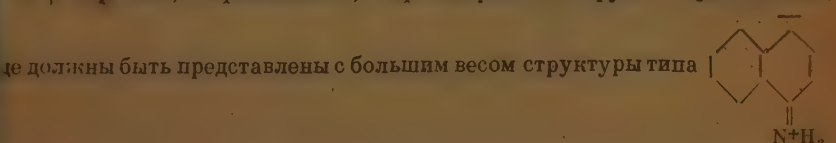


Эксперимент показывает, что для алкильных производных, где сопряжение мало, характер спектра не меняется и интенсивность первой полосы не увеличивается [16].

Для хлор-производных, где из-за электроотрицательности хлора



спектр нафталина с незначительным батохромным эффектом. Но для α - и β -нафтолов, нафтиламинов, нафтонитрилов и других производных,

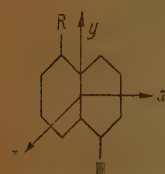
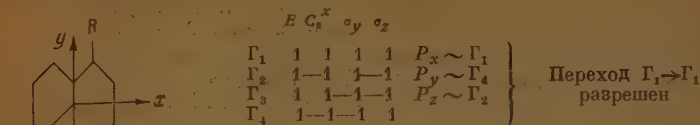


что показывают также данные по дипольным моментам этих соединений [7]), интенсивность первой полосы резко возрастает [18].

Аналогичное явление наблюдается в спектрах α - и β -хинолинов.

Мы произвели анализ дипроизводных нафталина методами теории групп и пришли к выводу, что для всех дипроизводных, кроме 1,5 и 2,6 (если в молекуле сохранился центр симметрии), запрет с перехода $\Gamma_1 \rightarrow \Gamma_1$ снимается, и первая полоса должна повышать интенсивность, если имеет место сопряжение замещающих групп с кольцом. Для 1,5- и 2,6-дипроизводных переход $\Gamma_1 \rightarrow \Gamma_1$ запрещен.

Действительно:



	$E C_2^z \sigma_x I$				
Γ_1	1	1	1	1	$P_x \sim \Gamma_2$
Γ_2	1	-1	1	-1	$P_y \sim \Gamma_2$
Γ_3	1	1	1	-1	
Γ_4	1	-1	-1	1	$P_z \sim \Gamma_3$

} Переход $\Gamma_1 \rightarrow \Gamma_1$
запрещен

Спектров поглощения дипроизводных нафталина, где разумно предполагать сопряжение, в литературе нами не найдено. Мы надеемся в следующей работе подтвердить сделанные нами предположения на примере динитронафталинов.

Нами также были исследованы электронные уровни методами теории групп для антрацена и тетрацена. Симметрия молекул этих соединений такова же, как и молекулы нафталина (D_{2h}). Поэтому типы уровней и правила отбора, полученные для нафталина, сохраняются полностью и для антрацена и тетрацена. Но, как показывает анализ, существенно меняется число и характер структур в уровнях различных типов.

Ниже приведены разложения приводимого представления на неприводимые части для антрацена и тетрацена и числа структур, участвующих в уровнях различных типов. Для сравнения приведено также разложение, полученное нами для нафталина.

Нафталин				
	$\Gamma =$	16 Γ_1	+ 10 Γ_2	+ 10 Γ_3 + 6 Γ_4
Число структур		42	32	32 24
Из них структур типа Кекуле		3	0	2 0
Число структур в % от общего числа канонических структур		100	76,19	76,19 57,14

Антрацен				
	$\Gamma =$	126 Γ_1	+ 106 Γ_2	+ 106 Γ_3 + 91 Γ_4
Число структур		429	394	394 364
Из них структур типа Кекуле		4	0	4 0
Число структур в % от общего числа канонических структур		100	91,84	91,84 84,85

Тетрацен				
	$\Gamma =$	1282 Γ_1	+ 1212 Γ_2	+ 1212 Γ_3 + 1156 Γ_4
Число структур		4862	4736	4736 4624
Из них структур типа Кекуле		5	0	4 0
Число структур в % от общего числа канонических структур		100	97,4	97,4 95,4

Таким образом, уже в антраcene в уровень типа Γ_6 входит 91,84% числа всех структур, вместо 76,19% для нафталина.

При этом все канонические структуры типа Кекуле участвуют в уровне Γ_6 . Если принять во внимание, что уже для нафталина низший уровень Γ_6 немногим выше второго уровня Γ_1 , то очевидно, что для антрацена выш. возбужденный уровень будет иметь симметрию Γ_6 , и длинноволновая полоса в спектре антрацена отражает разрешенный переход. Подтверждается экспериментальными спектрами поглощения антрацена [19].

Следует отметить, что наш расчет находится в согласии с предварительным сообщением Крэга [20] о характере первых возбужденных уровней фенантрена и антрацена.

В заключение автор считает своим приятным долгом выразить глубокую благодарность М. Е. Дяткиной за руководство настоящей работой проф. И. К. Сыркину за плодотворную дискуссию.

Выводы

1. Произведен расчет электронных энергетических уровней нафталина учетом всех 42 канонических структур.
2. Произведен расчет уровней при пренебрежении структурами с двумяремя растянутыми связями.
3. Найдены веса структур для различных возбужденных состояний.
4. Интерпретирован спектр поглощения нафталина и его монопроизводных.
5. Высказано предположение о характере спектров поглощения различных дипроизводных нафталина.

Ио-химический институт
им. Карпова
Москва

Поступила
25.XI. 1946

ЛИТЕРАТУРА

- Sklar, J. Chem. Phys. 5, 669, 1937.
 Förster, Z. für Electrochemie 45, 548, 1939.
 Sherman, J. Chem. Phys. 2, 488, 1934.
 Герман, Докл. АН СССР 41, 209, 1943.
 German, Journ. of Phys. USSR 8, 276, 1944.
 Pauling, J. Chem. Phys. 1, 280, 1933.
 James a. Coolidge, ibid. 1, 825, 1933.
 Ван-дер-Верден, Метод теории групп в квантовой механике, стр. 171, Харьков, 1938.
 Ковнер, Журн. физ. хим. 19, 325, 1945.
 Сыркин, ibid. 17, 347, 1943.
 De-Laszlo, Proc. Roy. Soc. 111, 355, 1926.
 Handbuch der Physik, 21, S. 431.
 E. Carr a. H. Stücklein, J. Chem. Phys. 6, 55, 1938.
 Price a. Walsh, Proc. Roy. Soc. 185A, 182, 1946.
 Prikhodjko, Journ. of Phys. USSR 8, 257, 1944.
 Gavati, Imesku, Titeica, St. Vencov, Bull. Soc. Roumaine Phys. 42, 63, 1941.
 Сыркин и Дяткина, Химическая связь и строение молекул.
 De-Laszlo, C. R. 180, 203, 1925.
 Mayneord a. Roe, Proc. Roy. Soc. 152, 299, 1935.
 Craig, Nature 158, 235, 1946.

ВЛИЯНИЕ СВОБОДНОЙ ЭНЕРГИИ ПРОЦЕССА ПРИГОТОВЛЕНИЯ КАТАЛИТИЧЕСКУЮ АКТИВНОСТЬ ПИРОЛИТИЧЕСКОЙ ЗАКИСИ НИКЕЛЯ

Н. П. Кейер и С. З. Рогинский

Настоящая работа представляет часть комплексного исследования, ведущегося в нашей лаборатории по проверке применимости теории пересыщения к приготовлению активной закиси никеля.

В одной из первых работ [1] было показано, что кинетика процесса разложения карбоната никеля резко зависит от пересыщения генетической реакции; чем дальше от равновесия проводилась реакция, тем выше была скорость разложения. Пересыщение генетической реакции закиси никеля оказывает резкое влияние на кинетику активированной адсорбции. Наряду с этим было установлено, что каталитическая активность получаемых образцов закиси никеля зависит от пересыщения генетической реакции [3]. Этот результат и ряд других интересных закономерностей, найденных в этих исследованиях, не могли рассматриваться, как окончательное подтверждение применимости теории из-за наличия спорных моментов в методике эксперимента. Пересыщение генетической реакции регулировалось проведением разложения карбоната никеля при различных давлениях углекислоты. Давление углекислоты в опытах Целлиной давалось температурой криостата, охлаждающего нижний конец прибора Мак Бэна и V-образную ловушку. Отсутствие достаточно эффективной защиты от паров вакуумной замазки при наличии большого шлифа поверхности катализатора и применение криостатов с различной температурой делало возможным объяснение наблюдаемых различий в активности неодинаковым отравлением образцов закиси никеля, приготовленных в различных условиях, парами вакуумной замазки и ртути.

Целью настоящего исследования являлась проверка влияния пересыщения на каталитическую активность закиси никеля в условиях, исключающих такое объяснение.

Методика эксперимента

Закись никеля готовилась разложением карбоната никеля на чашечке весов Мак Бэна. V-образная ловушка, погруженная в жидкий кислород или плавящийся хлороформ, отделяла прибор Мак Бэна от установки и таким образом предохраняла навеску катализатора от паров вакуумной замазки и ртути. Для предохранения препарата от паров вакуумной замазки, могущих попасть с большого шлифа разборного прибора к Бэна, последний имел специальное устройство, описанное ниже (рис. 1). Выше шлифа наплавлялась ловушка типа сосуда Дьюара, пространство между двойными стенками которой откачивалось через специальный отросток до высокого вакуума, после чего отросток запаивался. Внутренний конус шлифа оканчивался трубкой, которая доходила до верхнего уровня ловушки. Диаметр этой трубки подбирался так, чтобы зазор между стенками был не больше 1 мм. При такой конструкции пары замазки, прежде чем попасть в прибор, должны пройти узкое длинное пространство между охлажденными стенками, играющими роль ловушки. Верхняя часть прибора к Бэна с напавленной ловушкой изготовлялась из молибденового или пироксенового стекла. Изготовленные приборы выдерживали любую охлаждающую жидкость, включая жидкий воздух.

Карбонат никеля готовился осаждением из сульфата никеля. Все опыты велись навесками из одной порции карбоната никеля. Навеска в 100 мг карбоната никеля помещалась на чашечку весов Мак Бэна (рис. 1), обезгаживалась при комнатной температуре, после чего прибор наполнялся углекислым газом. Для удаления воды на-

веска, находящаяся под давлением углекислоты $P_{CO_2} \sim 200$ мм Hg, выдерживалась при температуре 200°C до постоянного веса, причем карбонат никеля терять воду без заметного разложения. По окончании этой операции устанавливалась заданная температура, после чего давление CO_2 снижалось до желаемого и с этого момента начиналось наблюдение за распадом карбоната никеля по падению веса навески. Ловушки, защищающие от паров ртути и замазки в течение всех описанных процедур, во всех опытах охлаждались тающим хлороформом.

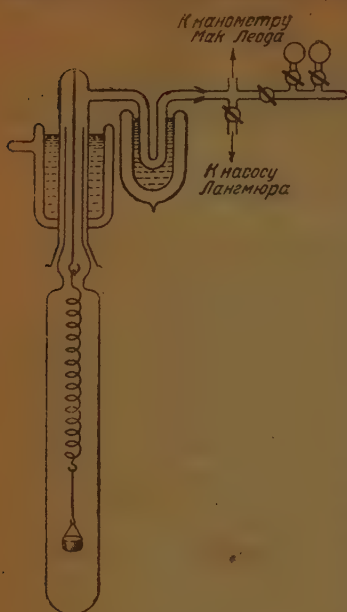


Рис. 4. Схема установки

час. Тренировка производилась для снятия с образца углекислоты, адсорбированной во время разложения. Специальными опытами было показано, что в этих условиях адсорбированный углекислый газ полностью снимается с катализатора.

Во втором случае, при большом пересыщении, навеска карбоната никеля, обезвоженная, как было описано выше, разлагалась при температуре 270°C при непрерывной откачке газа насосами Лангмюра. При этом давление менялось от 10^{-2} мм Hg вначале, когда разложение идет быстро, до 10^{-4} мм Hg в конце. За 17 мин. разложение протекало на 30%. После этого процесс разложения затормаживался снижением температур до 250°C и проводилась тренировка образца в описанных выше условиях.

Основным осложняющим обстоятельством при сравнении влияния пересыщения, создаваемого давлением углекислоты, в прежних работах является изменение чистоты газа и возможным сходным эффектом вызванных малым пересыщением и отравлением активной окиси парами замазки, ртути и т. д. В этом отношении условия, принятые в настоящем исследовании, повидимому, обеспечивают однозначное истолкование результатов:

1. Температура охлаждаемых частей прибора в опытах с разным давлением CO_2 обычно одинакова и, следовательно, возможные равновесные давления этих паров были также одинаковы.

2. Благодаря охлаждению основного шлифа тающим хлороформом и новой конструкции шлифа попадание паров замазки, минуя охладитель, исключается.

3. Абсолютные значения давления паров замазки и ртути были в обоих случаях очень низки. Действительно, упругость пара ртути при -69°C может быть оценена в $1,4 \cdot 10^{-8}$ мм Hg. Для паров замазки эта величина

может быть выше, чем у ртути, так как отправные давления пара при той температуре для замазки ниже, а теплота испарения не может быть выше.

4. Различия в общем давлении газа в опытах с сильной откачкой от откачки при этих условиях должны быть в смысле чистоты невыны для опытов с низким давлением газа, так как вероятность загрязнения

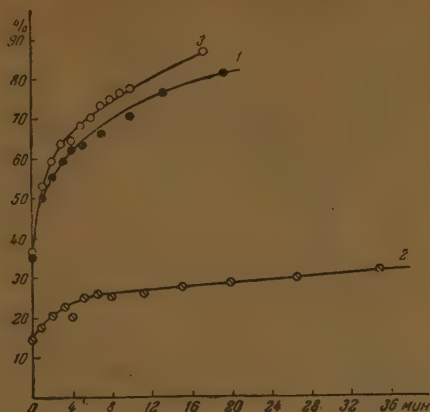


Рис. 2. Кинетика реакции $2\text{CO} + \text{O}_2 = 2\text{CO}_2$ на образцах закиси никеля, приготовленных:

1 — при высоком пересыщении, разложенной на 35%; 3 — то же на 51%;
2 — при малом пересыщении, разложенной на 30%.

ия случайными примесями, выделяющимися из стенок сосуда или скопившимися через ловушки, растет с падением давления и при высоком давлении особенно велика. Таким образом, с точки зрения чистоты нет оснований считать опыты при высоком давлении менее благоприятными, а опыты при низком.

Для характеристики каталитической активности была выбрана реакция окисления окиси углерода $2\text{CO} + \text{O}_2 = 2\text{CO}_2$, детально изучавшаяся ранее нашей лабораторией [4]. По данным Целлинской, эта реакция чувствительна к пересыщению. Реакция велась при температуре $20-21^\circ\text{C}$ и начальном давлении $P_0 = 1,13$ мм Hg.

На рис. 2 кривые 1 и 2 дают возможность сопоставить активности двух образцов. По оси ординат отложен процент прореагировавшего газа, по оси абсцисс — время от начала впуска реакционной смеси. В качестве меры активности можно принять величину обратного времени достижения определенного процента превращения. Если взять в качестве такового 25%, то окажется, что закись никеля, полученная в условиях большого пересыщения (кривая 1), примерно в 400 раз активнее закиси, полученной при низком пересыщении генетической реакции (кривая 2).

Аналогичная зависимость активности от пересыщения наблюдалась в ряде других опытов. Опыты показывают, что каталитическая активность образца очень сильно зависит от пересыщения генетической реакции. Поскольку давление углекислоты при получении этих образцов было одинаково, казалось необходимым выяснить, не может ли полученный результат быть следствием соприкосновения менее активного образца углекислотой при высокой температуре, что могло бы иметь место при обратимом отравлении. Для этой цели активный образец приводился в контакт с углекислым газом под различным давлением углекислого газа при температуре $250-270^\circ\text{C}$, затем тренировался в обычных усло-

виях, после чего контролировалась его активность в реакции окисления окиси углерода.

Результаты этих опытов представлены на графике рис. 3. Кривая 1 дает активность исходного образца. В опыте 41 этот образец приводился в контакт с двуокисью углерода под давлением $P_{\text{CO}_2} = 2,07$ мм Hg при температуре 235°C в течение 40 мин., затем он тренировался в течение 25 мин. при 230°C откачкой насосами Лангмюра (при V-ловушке, погр.

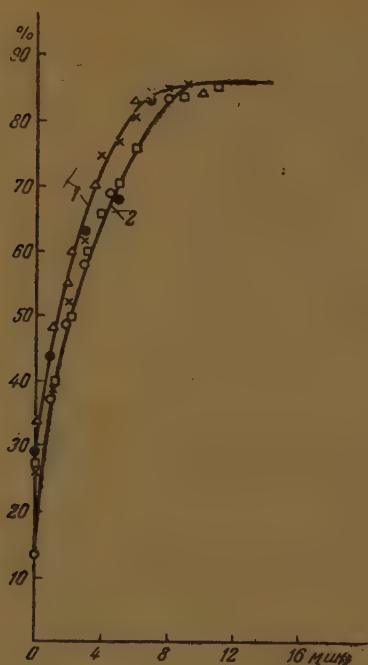


Рис. 3. Сравнение активности образцов закиси никеля, подвергавшихся воздействию углекислоты при высокой температуре:

Кривая 1: X — активность исходного образца; Δ — активность образца, подвергнувшегося воздействию углекислого газа при $P_{\text{CO}_2} = 2,07$ мм Hg; $T = 235^\circ \text{C}$ в течение 40 мин. (опыт 41).

Кривая 2: O — $P_{\text{CO}_2} = 1,37$ мм Hg, $T = 250^\circ \text{C}$, $t = 17$ мин. (оп. 39); □ — $P_{\text{CO}_2} = 0,56$ мм Hg, $T = 230^\circ \text{C}$, $t = 41$ мин. (оп. 40); ● — $P_{\text{CO}_2} = 26$ мм Hg, $T = 260^\circ \text{C}$, $t = 35$ мин. (оп. 42).

женной в жидкий кислород). Активность полученного образца не отличается от активности исходного образца. В опыте 42 тот же образец находился в контакте при температуре 250°C с углекислотой под давлением 26 мм Hg в течение 35 мин. с последующей тренировкой в течение 20 мин. при 210°C . Активность образца и в этом случае мало отличается от исходной (кривая 2). Аналогичные результаты имели место в опытах 39 и 40. Таким образом, эти опыты показывают, что описанная выше разница в активностях не может быть объяснена отравлением малоактивного образца углекислым газом в период разложения карбоната никеля.

Дальнейшее разложение карбоната никеля сверх 30% мало изменяет каталитические свойства активного образца. На рис. 2 кривая 3 представляет активность образца, разложившегося на 51% в условиях большого пересыщения; кривая 1 — активность образца, полученного в тех же условиях, но разложившегося только на 35,8%. Активность при этом увеличивается, но незначительно. В случае мало активного образца дополнительное разложение сверх 30—40% при малом пересыщении почти

увеличивает активности образца; если же дополнительное разложение исходит при высоком пересыщении, активность резко увеличивается. Если неактивный образец, находящийся в контакте с углекислотой, поглотивший некоторое количество ее, затем освобождать от углекислоты в условиях большого пересыщения, то последний делается активным. Очевидно, это явление связано с повторным разложением образовавшегося в контакте с углекислотой карбоната никеля. Отметим еще, что образец закиси никеля, поглотивший углекислоту, отдает ее гораздо легче, чем в первоначальном разложении карбоната никеля, и разложение идет быстрее. Это совпадает с наблюдениями Добычина [5].

Описанные опыты дают положительный ответ на вопрос о реальности описанных явлений. Полученные при высоком пересыщении образцы дают более высокой активностью, чем полученные при низком пересыщении. Таким образом, вариация давления CO_2 в момент приготовления может служить методом регулирования активности.

Академия Наук СССР
Институт физической химии
Москва

Поступила
9. XII. 1946

ЛИТЕРАТУРА

- З. Рогинский и Т. Ф. Целлинская, Жур. физ. хим. 18, 477, 1944.
З. Рогинский и Т. Ф. Целлинская (печат.).
Т. Ф. Целлинская, Кандидатская диссертация, 1943.
Добывин, Харахорин, Проблемы кинетики и катализа, 3, 449, Химтеорет., 1937.
Добычин, Журн. физ. хим. 15, 942, 1941.

КИНЕТИКА РЕАКЦИИ ХЛОРИСТОГО АЛЛИЛА С СЕРНОЙ КИСЛОТОЙ

И. И. Иоффе и Л. М. Морозовская

до настоящего времени реакцией хлористого аллила с серной кислотой исследовались только с препаративной стороны [1]. Мы исследовали реакцию между хлористым аллилом и серной кислотой для выяснения влияния замещения водорода метильной группы хлором на реакционную способность связи, расположенной у соседнего углеродного атома. Для этого была изучена кинетика взаимодействия серной кислоты с газообразным и жидким хлористым аллилом и полученные результаты были сравнены с соответствующими данными для пропилена. Исследование реакции между серной кислотой и жидким хлористым аллилом представляло также особый интерес, так как в литературе нет данных, касающихся кинетики поглощения серной кислотой жидких олефинов.

Кинетика поглощения паров хлористого аллила серной кислотой исследована нами по методу Дэвиса и Шуллера [2], причем мы работали с обновляющейся поверхностью серной кислоты. Для предотвращения конденсации пары хлористого аллила разбавлялись воздухом до парциального давления ~ 80 мм Hg. Были измерены скорости поглощения паров хлористого аллила серной кислотой с концентрацией в 85,5 и 88,2%. Наряду с этим для контроля мы измерили в тех же условиях скорости поглощения пропилена, разбавленного воздухом до давления 100 мм Hg.

Результаты наших измерений (см. рис. 1) свидетельствуют, что поглощение паров хлористого аллила серной кислотой удовлетворительно подчиняется мономолекулярному закону. Величина же константы скорости реакции для хлористого аллила меньше, чем у пропилена для соответствующих концентраций серной кислоты (см. табл. 1).

Таблица 1

Концентрация серной кислоты в %	Константа скорости реакции		$K_{\text{пропилен}}$ $K_{\text{хл. аллила}}$
	пропилен	хлористый аллил	
85,5	17,6	3,08	5,8
88,2	40,9	4,9	8,3

Мы измеряли количество жидкого хлористого аллила, поглощенного серной кислотой при их совместном взбалтывании в запаянных стеклянных пробирках в течение определенного времени. Количество поглощенного хлористого аллила определялось по привесу серной кислоты после отгонки в вакууме непрореагировавшего хлорпроизводного.

Поглощение жидкого хлористого аллила серной кислотой концентрации от 75,9 до 85,7% исследовано при 35 и 45°. Было установлено, что в исследованном интервале, вплоть до использования примерно $\frac{1}{3}$ серной

кислоты, реакция поглощения жидкого хлористого аллила достаточно хорошо следует нулевому порядку. Данные измерений для 45° представлены на рис. 2. В табл. 2 приведены величины констант скорости для различных концентраций серной кислоты при указанных выше температурах, а также температурные коэффициенты реакции. Высокая величина температурных коэффициентов указывает, что нулевой порядок реакции не может быть объяснен диффузионной кинетикой процессов.

Таблица 2

Концентрация серной кислоты в %	Константа скорости реакции		Темпера- турный коэффи- циент реакции
	35°	45°	
75,9	$0,405 \cdot 10^{-4}$	$1,31 \cdot 10^{-4}$	3,2
78,4	$1,44 \cdot 10^{-4}$	$4,42 \cdot 10^{-4}$	3,1
80,4	$2,99 \cdot 10^{-4}$	$9,32 \cdot 10^{-4}$	3,1
82,1	—	$14,50 \cdot 10^{-4}$	—
85,7	$27,7 \cdot 10^{-4}$	—	—

Для сравнения реакционной способности жидких пропилена и хлористого аллила мы измерили скорости поглощения сжиженного пропилена $75,9\%$ -н

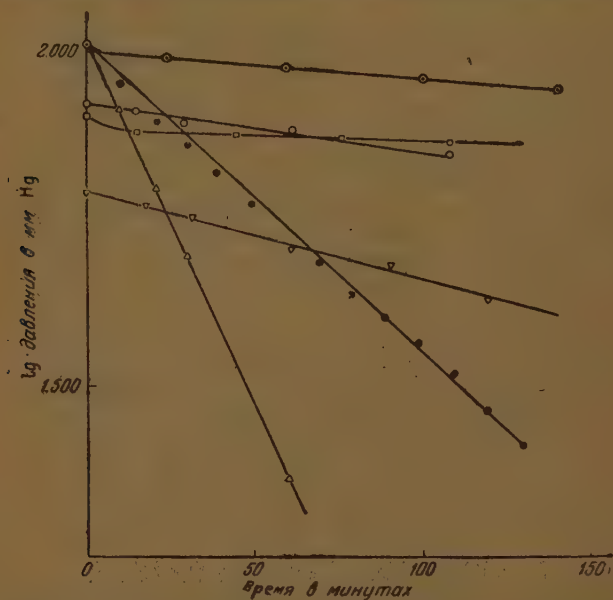


Рис. 1. Поглощение пропилена и паров хлористого аллила серной кислотой:

- пропилен — $82,1\%$ H_2SO_4 ; ● пропилен — $85,5\%$ H_2SO_4 ; Δ пропилен — $88,2\%$ H_2SO_4 ;
 □ хлористый аллил — $82,1\%$ H_2SO_4 ; ○ хлористый аллил — $85,5\%$ H_2SO_4 ; ▽ хлористый аллил — $88,2\%$ H_2SO_4 .

H_2SO_4 в идентичных с хлористым аллилом условиях. Установлено, что скорость поглощения жидкого пропилена серной кислотой в 15 раз превышает таковую для жидкого хлористого аллила.

Методика эксперимента

Для измерения скоростей поглощения серной кислотой газообразных хлористого аллила и пропилена мы пользовались слегка видоизмененным прибором, применявшимся Дэвисом и Шуллером [2] для аналогичных целей. В отличие от указанных авторов, мы работали с неподвижным поглотительным сосудом рабочей емкостью 330 мл. поверхность поглощения серной кислоты составляла 37,5 см². Все измерения производились при 20°. Скорость поглощения регистрировалась по ртутному манометру, вызывающему изменение давления в поглотительном сосуде. Пары хлористого аллила и пропилен разбавлялись воздухом в отношении 1:3. Результаты измерений показаны на рис. 1.

Скорости поглощения жидкого хлористого аллила серной кислотой определялись следующим образом.

Во взвешенные сухие стеклянные ампулы заливалось по 3,5 мл химически чистой серной кислоты исследуемой концентрации. Ампулы закрывались пробками, взвешивались и помещались в охлаждающую смесь. Затем в ампулы добавлялось по 2 мл

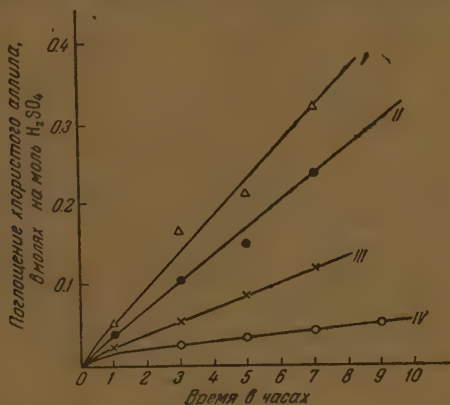


Рис. 2. Кривые поглощения жидкого хлористого аллила серной кислотой различных концентраций при 45°:

I — 82,4% H_2SO_4 ; II — 80,4% H_2SO_4 ; III — 78,4% H_2SO_4 ; IV — 75,9% H_2SO_4 .

регнанного хлористого аллила. Ампулы запаивались и переносились в термостат-термостатку. Отметим, что в течение всего времени реакции в ампулах сохранялись две фазы.

Через определенное время ампулы вынимались из термостата, вскрывались и помещались в специальную пробирку для отгонки непрореагировавшего хлористого аллила. После отгонки ампулы снова взвешивались. Вес поглощенного хлористого аллила определялся по привесу серной кислоты. Результаты наших измерений даны в табл. 3 и отражены на кривых рис. 2.

В табл. 3 приводятся скорости поглощения жидкого хлористого аллила серной кислотой различных концентраций при 35°, а в табл. 4 — скорости поглощения жидкого хлористого аллила серной кислотой различных концентраций при 45°.

Таблица 3

Время поглощения в часах	Поглощение хлористого аллила в молях на моль серной кислоты			
	75,9% H_2SO_4	78,4% H_2SO_4	80,4% H_2SO_4	85,7% H_2SO_4
1	0,0157	0,0166	0,0203	0,0803
	0,0131	0,0178	0,0197	0,0775
3	0,0170	0,0268	0,0456	0,287
	0,0167	0,0257	0,0414	0,280
5	0,0186	—	—	0,431
	0,0188	0,0366	0,0514	0,431
7	0,0213	0,0465	—	—
	0,0216	0,0474	0,0895	—

Таблица 4

Время поглощения в часах	Поглощение хлористого аллила в молях на моль серной кислоты			
	75,9% H_2SO_4	78,4% H_2SO_4	80,4% H_2SO_4	82,1% H_2SO_4
1	{ 0,0173 0,0172	{ 0,0254 0,0241	{ 0,0370 0,0350	{ 0,0513 0,0475
2	{ 0,0248 0,0254	{ 0,0539 0,0545	{ 0,1065 —	{ 0,1660 0,1781
5	{ 0,0349 0,0343	{ — 0,0846	{ 0,1490 0,1515	{ 0,2500 0,2620
7	{ 0,0440 0,0447	{ 0,1195 0,1092	{ 0,2350 0,2350	{ 0,3160 0,3150
9	{ 0,0507 0,0505	{ — —	{ — —	{ — —

Опыты по поглощению жидкого пропилена серной кислотой производились аналогично опытам с хлористым аллилом. Пропилен вводился из газометра в охлажденные сухим льдом ампулы с серной кислотой и в них конденсировался. Все дальнейшие операции производились, как описано выше.

Наши измерения показали, что при наличии постоянных двух фаз 1 моль 75,9%-ной серной кислоты поглощает за 1 час при 35° 0,224 моля пропилена.

В заключение приносим искреннюю благодарность проф. А. И. Королеву, по идее которого была поставлена настоящая работа.

Выводы

1. Исследованы скорости поглощения жидких и газообразных хлористого аллила и пропилена серной кислотой различных концентраций.
2. Установлено, что пропилен поглощается серной кислотой значительно быстрее, чем хлористый аллил.
3. Установлено, что реакция поглощения жидкого хлористого аллила серной кислотой при наличии двух фаз протекает по нулевому порядку.

Научно-исследовательский институт
органических полупродуктов и красителей
им. Ворошилова
Москва

Поступила
26.XI.1946

ЛИТЕРАТУРА

1. Oppenheim, An. Spl. 6, 1367, 1868; Henry, Rec. trav. chim. 22, 325, 1903.
Bancroft, J. Am. Chem. Soc. 41, 426, 1919.
2. Davis a. Schuler, J. Am. Chem. Soc. 52, 721—738, 1930.

КИНЕТИКА РАЗЛОЖЕНИЯ ТЕТРАФТОРОБОРАТОВ В ВОДНЫХ РАСТВОРАХ

И. Г. Рысс и М. М. Слуцкая

Еще Берцелиус [1] нашел, что растворы KBF_4 имеют нейтральную реакцию и что эта соль может быть перекристаллизована из растворов натрия, соды, поташа и едкого кали. Однако им не было замечено частичное разложение соли при перекристаллизации и не была сопоставлена нейтральная реакция ее раствора с крайней медленностью разложения. Точные указания Берцелиуса и о кислой реакции растворов тетрафтороборатов натрия, кальция и свинца и о разложении тетрафтороборатов кальция и свинца, связанном с образованием растворимой кислой соли (дифтороборной) или нерастворимой основной соли свинца.

Штолба [2] первый заметил, что нейтральная реакция раствора KBF_4 западает с чрезвычайной медленностью разложения его.

Правильное указание Штолба было забыто рядом более поздних авторов. Так, например, Абегг, Фокс и Герц [3] полагали, что предполагавшаяся ими реакция $\text{H}_3\text{BO}_3 + 4\text{F}' \rightleftharpoons \text{BF}_4' + 3\text{OH}'$ легко обратима. Медленно убывая титра смеси плавиковой и борной кислот они относили за счет той-то неизвестной реакции, продукт которой мог любое время выдерживаться с избытком щелочи, без нейтрализации последней. В действительности, как показали наши исследования, убывание титра связана с образованием BF_4' , который на холоду практически не разлагается щелочью. Керн и Джонс [4] ошибочно полагали, что при титровании борофтороводородной кислоты едким натром им удастся полностью разложить первоначально образующийся NaBF_4 ; на самом деле, второй скачок pH соответствует разложению $\text{BF}_3\text{OH}'$ [5].

Вильке-Дерфурт и Бальц [6] также переоценили скорость гидролиза BF_4' и полагали, что при комнатной температуре этот процесс протекает практически измеримой скоростью. Они указывают, что нейтральный по метилроту 0,1 *N* щелочью раствор через несколько минут уже приобретает кислую реакцию.

Гравер и Малапрад [7] вернулись к правильным представлениям о чрезвычайной медленности разложения растворов KBF_4 и $\text{Ba}(\text{BF}_4)_2$ действием щелочи и о быстром разложении щелочью продуктов гидролиза. Они обнаружили и медленный гидролиз раствора $\text{Ba}(\text{BF}_4)_2$, связанный с образованием кислых продуктов гидролиза, но не заметили автокаталитического характера его. Единственная приводимая ими серия значений скорости щелочного гидролиза $\text{Ba}(\text{BF}_4)_2$, не может быть интерпретирована из-за отсутствия данных о температуре. Цель настоящей работы состояла в количественном изучении скорости разложения BF_4' в водных растворах.

Экспериментальная часть *

Ряд поставленных нами опытов подтвердил, что химически чистый KBF_4 реагирует с OH' с ничтожно малой скоростью: при прибавлении двух капель 0,1 *N* NaOH к 0,2 г KBF_4 в 20 мл щелочная по фенолфталеину реакция сохраняется 18—20° С в течение нескольких часов.

* Экспериментальная часть настоящей работы выполнена в 1939—1940 гг. Результаты частично были сообщены ранее [10].

Первоначально нейтральный раствор после нагревания приобретал сильно кислую реакцию. Отношение объемов щелочи, расходованвшейся при нейтрализации охлажденного после нагревания раствора по метилоранжу в присутствии CaCl_2 (для связывания F' в осадок CaF_2) и при нейтрализации по фенолфталеину в присутствии маннита равнялось 3:4, что указывало на отсутствие образования других, кроме BF_4' , фтороборных комплексов, не титруемых щелочью. Величина расхода щелочи при титровании указывала на высокую, особенно в разбавленных растворах, степень гидролиза BF_4' .

Расход щелочи при титровании смеси разбавленных растворов HF и H_2BO_3 непосредственно после ее приготовления в точности равнялся сумме расходов щелочи для нейтрализации каждого из комплексов в отдельности. Следовательно, при нейтрализации продуктов гидролиза не происходит вторичного образования BF_4' . Было найдено также, что при поглощении газообразного BF_3 щелочью фтористый бор разлагается количественно, без промежуточного образования BF_4' .

Таким образом, наиболее медленной стадией разложения растворов KBF_4 является разложение BF_4' , и именно этот процесс определяет наблюдаемую скорость разложения. Эта величина легко определяется из убыли титра смеси растворов BF_4' и щелочи.

1. М а т е р и а л ы

(а) KBF_4 . В химически чистую плавиковую кислоту, отвешенную в платиновой чашке, небольшими порциями вносились химически чистая борная кислота, до насыщения раствора ** при наружном охлаждении льдом. Отфильтрованный от избытка нерастворенной H_2BO_3 раствор осаждался медленно прибавлявшимся избытком раствора химически чистого KCl . Осадок промывался ледяной водой на нутч-филт্রে до исчезновения реакции на Cl' , затем осторожно сушился сперва на воздухе между листами фильтровальной бумаги, затем при 105° . При всех операциях избегалось соприкосновение пыли KBF_4 со стеклом.

Содержание калия было определено взвешиванием в виде K_2SO_4 после выпаривания со смесью $\text{H}_2\text{SO}_4 + \text{HF}$ и затем с H_2SO_4 . Содержание бора и фтора было определено способом Травера [8]:

	Найдено	Теоретическое содержание
% К:	31,07; 31,07	31,05
% В:	8,78; 8,79	8,59
% F:	58,41; 59,84	60,36

Так как при применении способа Травера происходит, по видимому, неполное осаждение фтора в виде K_2SiF_6 , что должно несколько повысить содержание бора, то соль может быть признана вполне чистой, тем более что раствор ее не давал реакции на Cl' , SO_4'' и F' и был вполне нейтрален. Результаты испытания нейтральности приведены выше.

(б) NaBF_4 . При нейтрализации едким натром растворов HBF_4 , полученных по Берцелиусу, выделялся осадок NaF (вследствие разложения гидроксифтороборной кислоты). Оказалось необходимым применять кислоту, полученную растворением стехиометрического количества H_2BO_3 в плавиковой кислоте ($\text{HF} : \text{H}_2\text{BO}_3 = 1$). При нейтрализации кислоты содой выделялся трудно растворимый осадок, вновь растворявшийся при приближении к полной нейтрализации. Состав его не был полностью установлен, но так как по своим свойствам он резко отличался от NaBF_4 , то осадок отделялся от раствора после нейтрализации кислоты приблизительно на 35% (это соответствовало максимальному количеству выпавшего осадка), после чего раствор окончательно нейтрализовался сначала содой, затем едким натром.

Испарение налитого в платиновую чашку раствора NaBF_4 производилось при пропускании над его поверхностью быстрого тока теплого воздуха. После перекристаллизации выделившихся кристаллов из слабо щелочного раствора была получена соль обладавшая нейтральной реакцией.

NaBF_4 чрезвычайно легко и быстро растворялся в воде, образуя нейтральный раствор. После прибавления одной капли 0,1 N NaOH раствор приобретал сохраняющуюся в течение часа щелочную реакцию по фенолфталеину. Прибавление CaCl_2 (проба на F') вызывало ничтожное помутнение раствора — соль незначительно загрязнена фтористым натрием (см. анализы).

Определение Na в виде Na_2SO_4 и BF_4' в виде нитрофторобората, по Ланге, привели к следующим результатам:

* А также и смесей, соответствующих образованию KBF_4 , т. е. $3\text{HF} + \text{KF} + \text{H}_2\text{BO}_3$.

** Лишь позднее нами было найдено, что этот метод, применявшийся Берцелиусом и большинством других авторов, не рационален из-за образования значительных количеств $\text{H}[\text{BF}_3\text{OH}]$. Это, однако, не ухудшает качества осаждающегося из кислоты KBF_4 .

	Найдено	Среднее	Теоретическое содержание
, Na:	21,80; 21,71; 21,60; 21,75	21,71	20,94
, BF ₄ :	80,07; 79,5	79,78	79,06

(с) NaOH. Содержащий следы карбоната едкий натр (полученный из металлического натрия) хранился в опарафиненной бутылке, соединенной с бюреткой.

2. Методика эксперимента

Для того чтобы можно было проследить процесс до высоких степеней разложения, была выбрана температура $\sim 100^\circ$. Термостатом служил теплоизолированный бак и заполненный водой цилиндрический бак емкостью 15 л. Колебания температуры были меньше, чем $0,1^\circ$.

Приготовленный по навеске раствор KBF_4 * и отмеренный объем разбавленного раствора NaOH выдерживались в термостате в течение 60—80 мин. (для выравнивания температур). Затем раствор KBF_4 быстро прибавлялся к раствору NaOH, и после встряхивания отбиралась первая проба; дальнейшие пробы отбирались через определенные промежутки времени. Для быстрого прекращения реакции отобранные пробы спускались в охлаждаемые во льду колбы. После прибавления инвертированного сахара изюм щелочи оттитровывался $0,1\text{ N HCl}$ из микробюретки (индикатор — фенофталтин). Из результатов титрования и из начальных условий опыта вычислялся процент оставшегося неразложившимся BF_4 по соотношению

$$x = 100 \left(1 - \frac{m_2}{4m_1} + \frac{N}{4\omega m_1} \cdot V \right),$$

x — процент оставшегося неразложившимся BF_4 ; m_1 — начальная молярность KBF_4 ; m_2 — начальная молярность NaOH, ω — объем (мл) пробы для титрования (мл), V — объем (мл) и нормальность соляной кислоты;

m_1 и m_2 соответствуют молярностям непосредственно после смешения, без учета реакции между NaOH и KBF_4 , и рассчитаны для объемов растворов при комнатной температуре;

ω определялось калиброванием пипетки по воде при температуре опыта и отношению, как и объем реакционной смеси, к комнатной температуре.

3. Результаты измерений

В табл. 1—8 приведены основные данные восьми серий опытов. Во всех случаях $\omega = 15,00$ и $N = 0,11226$. Значения $\lg x'$ вычислены по уравнению реакций первого порядка

$$\lg \frac{x}{x_0} = k' \vartheta,$$

ϑ — длительность реакции в минутах; k' — среднее значение константы скорости (\lg_{10} *, мин^{-1}), x_0 — начальный процент неразложившегося

x' ($\vartheta = 0$); $\Delta \lg x = \lg \frac{x}{x_0}$ — расхождение найденного и вычисленного $\lg x$.

Таблица 1

Температура $99,9^\circ\text{C}$; $m_1 = 0,002770$; $m_2 = 0,02903$; $k' = 0,00424\text{ мин}^{-1}$

$\vartheta = 0$	20	40	60	90	120 мин
$V = 3,08$	2,99	2,88	2,80	2,70	2,62 мл
$\lg x = 1,663$	1,641	1,512	1,433	1,309	1,175
$\lg x' = (1,685)$	1,600	1,516	1,431	1,304	1,176
$10^3 \Delta \lg x =$	1	—4	2	5	—1

Вычисленные значения $\lg x$, прослеженные до степени разложения 10%, хорошо сходятся с найденными. Расхождения, как правило, превосходят величину, вызываемых возможными ошибками титрования.

* Так как было найдено, что горячие растворы KBF_4 энергично разъедают стекло, они выдерживались в резиновых сосудах.

** Следовательно, k' в 2,303 меньше истинной константы скорости

Таблица 2

Температура 99,9° С; $m_1 = 0,903837$; $m_2 = 0,02903$; $k' = 0,00423$ мин.⁻¹

$\Phi = 0$	20	50	80	110	140 мин.
$V = 2,74$	2,60	2,40	2,25	2,15	2,07 мл
$\lg x = 1,648$	1,575	1,444	1,312	1,193	1,072
$\lg x' = (1,658)$	1,574	1,447	1,320	1,193	1,066
$10^3 \Delta \lg x =$	1	-3	-8	0	6

Таблица 3

Температура 99,9° С; $m_1 = 0,905540$; $m_2 = 0,02903$; $k' = 0,00423$ мин.⁻¹

$\Phi = 0$	10	20	40	60	80	100	130	160 мин.
$V = 2,34$	2,20	2,10	1,89	1,71	1,57	1,44	1,33	1,22 мл
$\lg x = 1,682$	1,636	1,601	1,516	1,426	1,342	1,246	1,143	1,008
$\lg x' = 1,682$	1,640	1,597	1,513	1,428	1,344	1,259	1,132	1,005
$10^3 \Delta \lg x = 0$	-4	-4	3	-2	-2	-13	11	3

Таблица 4

Температура 99,9° С; $m_1 = 0,906845$; $m_2 = 0,02903$; $k' = 0,00427$ мин.⁻¹

$\Phi = 0$	10	20	40	70	100 мин.
$V = 2,18$	2,05	1,88	1,62	1,26	0,97 мл
$\lg x = 1,728$	1,699	1,656	1,582	1,453	1,312
$\lg x' = (1,745)$	1,702	1,660	1,574	1,446	1,318
$10^3 \Delta \lg x =$	-3	-4	8	7	-6

Таблица 5

Температура 99,9° С; $m_1 = 0,006845$; $m_2 = 0,95806$; $k' = 0,00430$ мин.⁻¹

$\Phi = 0$	5	15	40	70	100	130	160 мин.
$V = 6,15$	6,05	5,87	5,46	5,11	4,87	4,66	4,52 мл
$\lg x = 1,748$	1,726	1,684	1,570	1,441	1,23	1,185	1,060
$\lg x' = 1,746$	1,725	1,682	1,574	1,445	1,316	1,187	1,058
$10^3 \Delta \lg x = 2$	1	2	-4	-4	-7	-2	2

Таблица 6

Температура 99,9° С; $m_1 = 0,007405$; $m_2 = 0,05806$; $k' = 0,00438$ мин.⁻¹

$\Phi = 0$	10	30	60	90	120 мин.
$V = 6,04$	5,82	5,45	5,03	4,70	4,46 мл
$\lg x = 1,752$	1,707	1,619	1,492	1,356	1,221
$\lg x' = 1,751$	1,707	1,620	1,488	1,357	1,225
$10^3 \Delta \lg x = 1$	0	-1	4	-1	-4

Таблица 7

Температура 99,9° С; $m_1 = 0,007405$; $m_2 = 0,02903$; $k' = 0,00432$ мин.⁻¹

$\Phi = 0$	20	50	80	110 мин.
$V = 2,08$	1,76	1,26	0,93	0,66 мл
$\lg x = 1,737$	1,667	1,529	1,406	1,271
$\lg x' = (1,749)$	1,663	1,533	1,403	1,274
$10^3 \Delta \lg x =$	4	-4	3	-3

Таблица 8

Температура 99,9° С; $m_1 = 0,007674$; $m_2 = 0,02903$; $k' = 0,00425$ мин.⁻¹

$\Phi = 0$	10	20	30	40	60 мин.
$V = 1,56$	1,45	1,27	1,15	1,01	0,83 мл
$\lg x = 1,639$	1,610	1,562	1,526	1,479	1,411
$\lg x' = (1,654)$	1,612	1,569	1,527	1,484	1,399
$10^3 \Delta \lg x =$	-2	-7	-1	-5	12

Влияние их вычисляется из $\frac{\partial x}{\partial V} = 25 \frac{N}{wm_1} \approx \frac{0,2}{m_1}$. При ошибке титрования $\Delta V = 0,01$ мл $\Delta x \approx 0,07\%$ для наиболее разбавленных и $0,26\%$ для наиболее концентрированных.

ых (табл. 8) растворов. Ошибка в $\lg x$ увеличивается при возрастании степени ожения и может быть вычислена из $\frac{\partial \lg x}{\partial \Delta V} \Delta V = \frac{0.4343}{V + (4m_1 - m_2) \omega N}$ или из легко вы-
яемых по данным каждой таблицы величин $\Delta \lg x / \Delta V$.

Вторым источником случайных ошибок в значениях $\lg x$ являются колебания от-
емного объема ω , связанные не только с обычными погрешностями пипетирования,
с колебаниями температуры раствора в пипетке в момент отбора. Ошибка в ω на 1%
оценена такой же процентной ошибке в V — при $V = 2$ мл она равна ошибке в
вызываемой $\Delta V = 0,02$ мл.

Случайная ошибка в отсчете времени на 0,5 мин. вызывает смещение $\lg x$ на
1% $\approx 0,002$.

Колебания температуры в течение опыта на 0,1% могли вызвать * изменения в
на $\sim 1\%$. Влияние этой ошибки незначительно.

Неточности в оценке величин N и ω , m_1 и m_2 , вызывают систематические ошибки
делах каждой серии (таблицы) и отражаются на величине константы скорости,
исленной для нее. Вычисленная по двум точкам значение константы скорости

$$k' = \frac{\lg x_1/x_2}{\vartheta_1 - \vartheta_2} = \frac{1}{\vartheta_1 - \vartheta_2} \lg \left(1 + \frac{V_1 - V_2}{\frac{\omega}{N} (4m_1 - m_2) + V_2} \right).$$

большее влияние этих ошибок наблюдается при избытке щелочи ($4m_1 - m_2 < 0$) и
малых m_1 , в особенности при $\frac{\omega}{N} (m_1 - m_2)$, близких к $-V$. Так, в табл. 4 система-

ская ошибка в $\frac{\omega}{N}$ на 1% вызывает изменение вычисленной по точкам для $\vartheta_1 = 20$
= 120 k' скорости на $\sim 7\%$. (При усреднении точек эта ошибка должна умень-
ься.) Кривая $\lg x = ()$ при этом заметно искривляется в области малых ϑ .
оточная прямолинейность полученных нами кривых указывает на малое значение
ошибок. Наименьшее значение эти ошибки имеют для стехиометрического соотно-
ия реагентов ($4m_1 - m_2 = 0$).

Изменение концентрации $\text{ОН}'$ и образующегося при течении реакции F'
отражается на скорости реакции.

Значения x_0 указывают на то, что в растворах KBF_4 за время подго-
ки к опыту происходит значительный гидролиз BF_4' , приводящий
бразованию быстро реагирующих со щелочью продуктов. Начальная
пень гидролиза достигает 56% и не связана однозначно с начальной
центрацией**. Как показано ниже, в растворах — при условиях
та — гидролитическое равновесие не успевало установиться.

Правильность объяснения полученных значений x_0 подтверждена
тами 9 и 10, в которых в нагретый раствор NaOH вводились навески
рого KBF_4 . Первая проба раствора отбиралась через 2—3 мин. (рас-

Таблица 9

температура 99,9° С; твердый KBF_4 ; $m_1 = 0,01556$; $m_2 = 0,02903$; $k' = 0,00418 \text{ мин}^{-1}$

$\vartheta = 0$	10	20	30	40	50	60 мин.
$V = 3,80$	3,00	2,31	1,70	1,19	0,61	0,15 мл
$\lg x = 1,995$	1,951	1,909	1,868	1,830	1,783	1,741
$\lg x' = 1,993$	1,955	1,909	1,868	1,826	1,784	1,742
$\Delta \lg x = 2$	—4	0	0	4	—4	—1

Таблица 10

температура 99,9° С; твердый KBF_4 ; $m_1 = 0,01560$; $m_2 = 0,02903$; $k' = 0,00421 \text{ мин}^{-1}$

$\vartheta = 0$	5	10	15	20	25	30	35	40	60 мин
$V = 3,73$	3,42	3,00	2,61	2,32	2,00	1,76	1,35	1,10	0,12 мл
$\lg x = 1,992$	1,975	1,951	1,928	1,910	1,889	1,872	1,843	1,824	1,739 мл
$\lg x' = 1,993$	1,972	1,951	1,930	1,909	1,888	1,867	1,846	1,825	1,740
$\Delta \lg x = 1$	3	0	—2	1	1	5	—3	—1	1

* Учитывая найденную ниже температурную зависимость константы скорости.

** В ряде опытов (1, 2, 7 и 8) найдены на опыте значение x_0 оказывается суще-
ственно более низким, чем экстраполированное по другим точкам. Это объясняется
аждением раствора при смешении, в результате чего в начале опыта реакции про-
дет с меньшей скоростью, что повышает значения x при других ϑ .

творение KBF_4 продолжалось 1—1,5 мин.); x_0 в этих опытах оказалось близким в 100% (табл. 9 и 10).

Сводка результатов измерений, проведенных при 99,9°, приведена в табл. 11.

Таблица 11

Номера опытов (таблиц)	Начальная концентрация в молях/литр		$\lg x_0$	$10^3 k'$ ($\lg x_0$)
	KBF_4 $10^3 m_1$	NaOH $10^3 m_2$		

KBF_4 введен в виде раствора

1	2,770	29,03	1,663	4,24
2	3,837	29,03	1,648	4,23
3	5,540	29,03	1,682	4,23
4	6,845	29,03	1,728	4,27
5	6,845	58,06	1,748	4,30
6	7,405	58,06	1,752	4,38
7	7,405	29,03	1,737	4,32
8	7,674	29,03	1,639	4,25

KBF_4 введен в виде кристаллов

9	15,56	29,03	1,995	4,18
10	15,60	29,03	1,992	4,21

Среднее значение k' : $(4,26 \pm 0,01) \cdot 10^{-3} \text{ мин}^{-1}$.

Полученные результаты указывают, что при разложении BF_4' щелочью не образуется продуктов, разложение которых протекало бы медленнее, чем разложение KBF_4 . Постоянство вычисленных значений k' , при варьировании начальных концентраций BF_4' и OH' в широких пределах, подтверждает указанный выше порядок реакции.

Ошибки опыта наименее сказываются в сериях 9 и 10, где наименьшую роль играют ошибки титрования и где мало и влияние ошибок в оценке w , N , m_1 и m_2 . Несколько менее надежны опыты 8, 7 и 4, где еще меньше влияние второй группы ошибок, но замечательно больше влияние случайных ошибок титрования. Если придать опытам 1 и 2 вес 3,5 и 6 — вес 2, опыту 4 — вес 3, опытам 7 и 8 — вес 4 и опытам 9 и 10 — вес 5, то среднее значение k' почти не изменяется (равно $4,24 \cdot 10^{-3}$), что связано с хорошей сходимостью отдельных значений.

Для увеличения точности результатов применялись удлиненные сроки наблюдения и максимально возможные концентрации тетрафторобората калия. Систематические

Таблица 12

Температура 90,05° C. $m_1 = 0,009662$; $m_2 = 0,02821$; $w = 15,00$ мл; $k' = 0,00106 \text{ мин}^{-1}$

$\delta = 0$	15	30	45	60	75	90
$V = 2,57$	2,42	2,29	2,15	2,02	1,90	1,80
$\lg x = 1,885$	1,868	1,853	1,836	1,820	1,805	1,791
$\lg x' = 1,885$	1,869	1,853	1,837	1,821	1,806	1,790
$10^3 \Delta \lg x = 0$	-1	0	-1	-1	-1	1

Таблица 13

Температура 90,05° C. $m_1 = 0,09923$; $m_2 = 0,002821$; $k' = 0,00110 \text{ мин}^{-1}$

$\delta = 0$	15	30	45	60	75	90	105
$V = 2,00$	1,87	1,725	1,63	1,52	1,38	1,23	1,17
$\lg x = 1,824$	1,808	1,789	1,776	1,761	1,741	1,725	1,708
$\lg x' = 1,824$	1,808	1,791	1,774	1,758	1,741	1,725	1,709
$10^3 \Delta \lg x = 0$	0	-2	2	3	0	0	-1

Таблица 14

Температура 80,0°C. $m_1 = 0,03423$; $m_2 = 0,02900$; $\omega = 14,57$ мл; $k' = 0,000386$ мин⁻¹

$\theta = 0$	30	60	90	120	150	180	210	мин
$V = 2,95$	2,50	2,10	1,72	1,29	0,84	0,44	0,09	мл
$\lg x = 1,9795$	1,9678	1,9572	1,9468	1,9348	1,9218	1,9100	1,8993	
$\lg x' = 1,9803$	1,9686	1,9570	1,9455	1,9339	1,9223	1,9107	1,8991	
$10^4 \Delta \lg x = 8$	-8	2	13	9	5	-7	2	

Таблица 15

Температура 80,0°C. $m_1 = 0,03971$; $m_2 = 0,02900$;
 $\omega = 14,57$ мл; $k' = 0,000371$ мин⁻¹

$\theta = 30$	60	90	150
$V = 2,23$	1,75	1,26	0,37
$\lg x = 1,9663$	1,9553	1,9437	1,9218
$\lg x' = 1,9663$	1,9552	1,9440	1,9218
$10^4 \Delta \lg x = 0$	1	-3	0

Таблица 16

Температура 69,95°C. $m_1 = 0,03483$; $m_2 = 0,02839$; $\omega = 14,67$ мл; $k' = 0,000172$ мин⁻¹

$\theta = 90$	120	150	180	210	270	300	330	мин
$V = 2,92$	2,73	2,52	2,30	2,145	1,72	1,54	1,25	мл
$\lg x = 1,9806$	1,9758	1,9705	1,9649	1,9608	1,9496	1,9448	1,9349	
$\lg x' = 1,9807$	1,9756	1,9704	1,9653	1,9601	1,9448	1,9446	1,9394	
$\lg x = -1$	2	1	-4	7	-2	2	-5	

Таблица 17

Температура 69,95°C. $m_1 = 0,04024$; $m_2 = 0,02839$; $\omega = 14,67$; $k' = 0,000173$ мин⁻¹

$\theta = 90$	120	150	180	210	270	330	мин
$V = 2,87$	2,60	2,42	2,17	1,975	1,46	1,00	мл
$\lg x = 1,9821$	1,9764	1,9716	1,9669	1,9625	1,9508	1,9400	
$\lg x' = 1,9821$	1,9769	1,9717	1,9665	1,9613	1,9510	1,9406	
$\lg x = 0$	-5	-1	4	12	-2	-6	

Таблица 18

Температура 49,90°C. $m_1 = 0,04033$; $m_2 = 0,141$; $\omega = 14,72$ мл; $k' = 0,000038$ мин⁻¹

$\theta = 20$	50	80	110	140	200	260	320	380	440	мин
$V = 1,68$	1,59	1,50	1,50	1,41	1,28	1,20	1,13	1,01	0,90	мл
$-\lg x = 31$	50	70	70	88	116	133	148	175	197	
$-\lg x' = 39$	50	62	73	85	108	131	154	177	199	
$10^4 \Delta \lg x = 8$	0	-8	3	-3	-8	-2	6	2	2	

Таблица 19

Температура 49,90°C. $m_1 = 0,04029$; $m_2 = 0,02821$; $\omega = 14,72$ мл; $k' = 0,0000375$ мин⁻¹

$\theta = 20$	50	80	110	140	200	260	320	380	440	мин
$V = 3,49$	3,43	3,35	3,35	3,27	2,15	3,09	2,96	2,86	2,75	мл
$-\lg x = 36$	48	65	65	82	108	120	148	170	194	
$-\lg x' = 36$	47	58	63	81	104	126	148	171	194	
$10^4 \Delta \lg x = 0$	-1	-7	3	-1	-4	6	0	1	0	

е ошибки при этих измерениях играли сравнительно малую роль: процентная
на $\frac{\omega}{\Delta} (4m_1 - m_2)$ вывела такую же процентную ошибку в $\lg \frac{\omega}{V}$ и, следовательно,
в константе скорости. Относительно большую роль играли случайные ошибки
вания. Так, в табл. 19 $\Delta V = 0,01$ мл соответствует $\Delta \lg x = 2,2 \cdot 10^{-4}$ и в то же вре-
420 мин. $\lg x$ изменяется всего на $160 \cdot 10^{-4}$.
для изучения скорости реакции при 20 необходимо было увеличить длительность
дения и производить отбор проб с большими интервалами. По ряду причин мы
удны были применить термостат без мешалки, пределы колебания температуры

в нем определялись ежедневно по максимальному и минимальному термометрам в течение 16-суточного периода наблюдений температура колебалась в пределах 20,15–17,5° (падение температуры связано, по видимому, с выключением тока).

Зависимость $(2 - \lg x) = f(\vartheta \text{ часов})$ изображена на рис. 1. Разброс точек связан не только с колебаниями температуры, но и с случайным

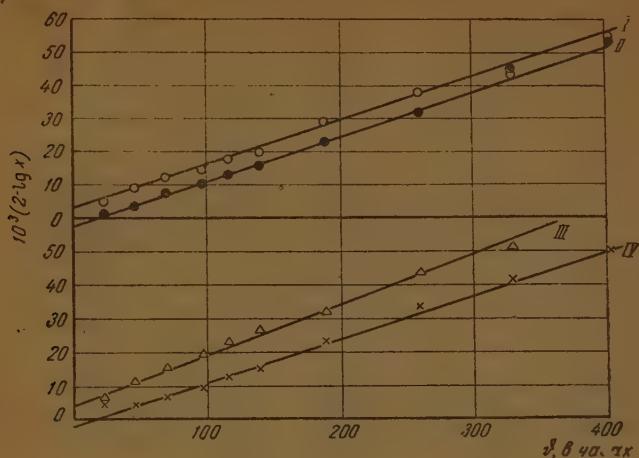


Рис. 1

ошибками титрования ($\Delta V = 0,01$ мл соответствует $\Delta \lg x =$ от $7,5 \cdot 10^{-4}$ до $4 \cdot 10^{-4}$). Основные данные для опытов следующие:

	m_1	m_2	k' (мин $^{-1}$)
1	0,02116	0,05169	$2,15 \cdot 10^{-6}$
2	0,01930	0,02018	$2,29 \cdot 10^{-6}$
3	0,01096	0,05287	$2,50 \cdot 10^{-6}$
4	0,01016	0,02062	$2,17 \cdot 10^{-6}$

Зависимость логарифма константы скорости от обратного значения температуры изображена на рис. 2. В интервале от 20 до 70° эта зависимость близка к прямолинейной и передается уравнением

$$\lg k'_{\text{мин}^{-1}} = -\frac{3730}{T} + 7,11,$$

но при дальнейшем повышении температуры $\lg k'$ возрастает чрезмерно быстро. Возможно, что при разложении BF_4 протекают две параллельные реакции первого порядка, обладающие резко различными энергиями активации. Тогда

$$k' = k_1 \exp \left[-\frac{E_1}{R} \left(\frac{1}{T} - \frac{1}{T_1} \right) \right] + k_2 \exp \left[-\frac{E_2}{R} \left(\frac{1}{T} - \frac{1}{T_1} \right) \right].$$

Изучение скорости разложения концентрированных растворов в щелочной среде. Влияние концентрации солей

Для проверки сохранения найденных выше закономерностей в концентрированных растворах был поставлен ряд опытов изучения взаимодействия со щелочью 1 М раствора NaBF_4 . Эти опыты могли дать и более точные данные о значении константы скорости реакции при низких температурах.

Отмеренное количество раствора NaOH известной концентрации выдерживалось в термостате в течение 60—80 мин., после чего в колбу вносилась навеска NaBF_4 , растворение которой (при встряхивании) длилось менее минуты. Методика отбора проб анализов была такова же, как описанная ранее, но в ряде случаев титрование велось

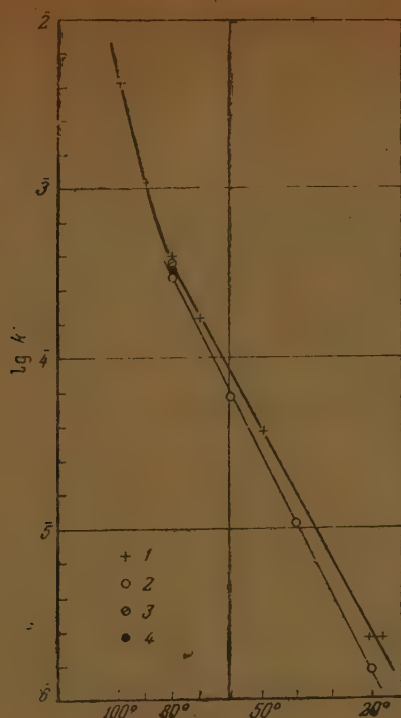


Рис. 2

обычной бюретки на 10 мл. Методика расчетов незначительно отличалась от прежней тем отношением, что для вычисления отобранной доли раствора определялся (в двух-трех пробах) вес отобранной пробы.

Результаты опытов приведены в табл. 20—23. В связи с большим значением $m_1 \frac{\partial \lg x}{\partial V}$ постоянна для каждого опыта. Сходимость найденных $\lg x$ и вычисленных $\lg x'$ очень хорошая.

Таблица 20

температура 20,0°C; $m_1 = 1,0000$; $m_2 = 0,01856$; $\frac{\partial \lg x}{\partial V} = 10^{-3}$; $\lg x_0 = 1,99993$;

$$k' = 1,48 \cdot 10^{-6} \text{ мин}^{-1}$$

$\vartheta = 10$	70	130	190	250	310	370	430	550	610	670	730 мин.
$\lg(2 - \lg x) = 6$	17	26	35	44	53	62	71	87	99	104	114
$\lg(2 - \lg x') = 8$	17	26	35	44	53	62	71	88	97	106	115

Таблица 21

температура 40,0°C; $m_1 = 0,9989$; $m_2 = 0,05108$; $\frac{\partial \lg x}{\partial V} = 0,7 \cdot 10^{-3}$; $\lg x_0 = 1,99994$;

$$k' = 1,08 \cdot 10^{-5} \text{ мин}^{-1}$$

$\vartheta = 40$	70	100	130	160	190	220	250	280	300 мин.
$\lg(2 - \lg x) = 51$	82	110	146	183	211	244	276	308	332
$\lg(2 - \lg x') = 49$	82	114	146	179	211	244	276	308	330

Таблица 22

Температура 60,0° C; $m_1 = 0,97885$; $m_2 = 0,0850$; $\frac{\partial \lg x}{\partial V} = 10^{-3}$; $\lg x_0 = 1,9998$
 $k' = 5,81 \cdot 10^{-5} \text{ мин}^{-1}$

$\theta = 15$	30	45	75	90	120	135 мин
$10^5 (2 - \lg x) = 108$	195	276	444	538	710	807
$10^5 (2 - \lg x') = 103$	190	277	452	539	714	801

Таблица 23

Температура 80,0° C; $m_1 = 0,99960$; $m_2 = 0,09324$; $\frac{\partial \lg x}{\partial V} = 1,1 \cdot 10^{-3}$; $\lg x_0 = 2,0002$
 $k' = 2,98 \cdot 10^{-4} \text{ мин}^{-1}$

$\theta = 5,2$	10,7	16,6	21,93	27,65 мин
$10^5 (2 - \lg x) = 139$	301	470	637	800
$10^5 (2 - \lg x') = 135$	299	474	633	804

Значения $\lg k' = f\left(\frac{1}{T}\right)$ изображены на рис. 2. Они хорошо передаются уравнением

$$\lg k' = -\frac{3921,5}{T} + 7,554.$$

Кажущаяся энергия активации равна $E = 17940 \text{ cal}$.

Найденные константы скорости отчетливо ниже определенных ранее в разбавленных растворах KBF_4 (в 1,6 раза при 20° и в 1,26 раза при 80° C). Повидимому, это снижение скорости вызвано солевым эффектом, хотя последний необычен для мономолекулярных реакций. Это подтвердилось тем, что k' скорости разложения разбавленных растворов NaBF_4 (табл. 24 и 25) совпадает с найденными для растворов KBF_4 , а введение в раствор KBF_4 значительных количеств NaNO_3 снижает скорость реакции (табл. 26).

Таблица 24

Температура 80,0° C; $m_1 = 0,03373$ (NaBF_4); $m_2 = 0,02534$; $\lg x_0 = 1,9997$;

$$\frac{\partial \lg x}{\partial V} = 2,1 \div 2,4 \cdot 10^{-2}; k' = 0,000393 \text{ мин}^{-1}$$

$\theta = 60$	90	120	150	180	195 мин
$10^4 (2 - \lg x) = 244$	357	467	588	707	776
$10^4 (2 - \lg x') = 239$	357	475	592	711	769

Таблица 25

Температура 80,0° C; $m_1 = 0,03483$ (NaBF_4); $m_2 = 0,02534$; $\lg x_0 = 2,0013$;
 $k' = 0,000393 \text{ мин}^{-1}$

$\theta = 90$	120	150	180	195	210 мин
$10^4 (2 - \lg x) = 344$	454	571	690	749	810
$10^4 (2 - \lg x') = 339$	450	573	691	749	808

Таблица 26

Температура 80,0° C; $m_1 = 0,03986$ (KBF_4); $m_2 = 0,02534$; $m_{\text{NaNO}_3} = 1,0$;
 $\lg x_0 = 1,9974$; $k' = 0,000337 \text{ мин}^{-1}$

$\theta = 30$	60	90	150	180	210 мин
$10^4 (2 - \lg x) = 124$	235	335	525	637	744
$10^4 (2 - \lg x') = 130$	231	334	525	635	737

Разложение KBf_4 в водных растворах

На рис. 3 представлен ход разложения первоначально нейтральных растворов KBf_4 при температуре, колебавшейся в пределах $17,5-20^\circ$. Начальные участки кривых соответствуют протеканию гидролиза по закону реакций первого порядка, причем константы скорости близки к найденным при изучении разложения их в щелочных растворах

для $0,02892 \text{ M KBf}_4$ $k' = 2,27 \cdot 10^{-6} \text{ мин}^{-1}$,
 для $0,00509 \text{ M KBf}_4$ $k' = 2,2 \cdot 10^{-6} \text{ мин}^{-1}$.

Это подтверждает, что лимитирующий скорость разложения BF_4' процесс протекает без участия OH' . По мере накопления в растворе продуктов гидролиза (при разложении $0,02892 \text{ M}$ раствора на $4,5-5\%$) скорость реакции заметно возрастает и кривая $x = f(t)$ имеет обычный для автокаталитических процессов характер. Дальнейшее замедление реакции связано с приближением к состоянию равновесия. В растворе с меньшей начальной концентрацией BF_4' автокатализ должен был бы стать замет-

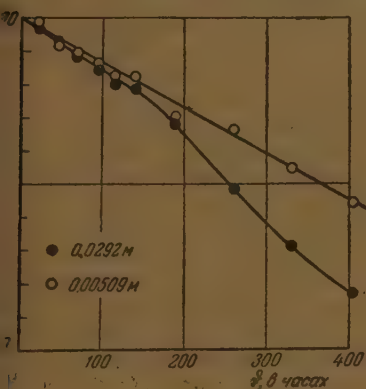


Рис. 3

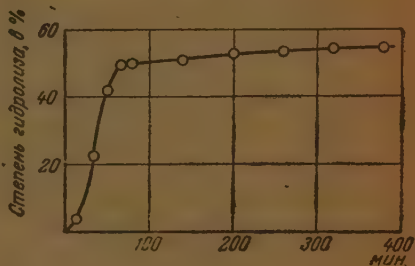


Рис. 4

и при соответственно большей степени гидролиза.

Весьма резко проявляется автокаталитический ход реакции разложения BF_4' при 100° (рис. 4).

При разложении BF_4' в щелочной среде автокаталитического участка разложения не наблюдается. В связи с этим можно предположить, что автокатализ связан с накоплением ионов водорода. Это предположение было подтверждено позднее [9].

Катализическое действие ионов водорода могло быть сопоставлено с каталитическим действием ионов водорода в присутствии метилоранжа **. Результаты испытаний, не ускоряет ли разложение BF_4' присутствие многовалентных катионов.

Для выяснения влияния присутствия ионов кальция к нагретым до смеси $10 \text{ мл } 3 \text{ M CaCl}_2 + 20 \text{ мл } 0,09837 \text{ N NaOH}$ прибавлялись навески F_4 и через определенные промежутки времени содержимое колбы оттитровывалось $0,1 \text{ N HCl}$ в присутствии метилоранжа **. Результаты титров и вычисленные единичные значения k' приведены в табл. 27.

Таким образом, в 1 M CaCl_2 константа скорости возрастает в 5—6 раз.

* В этом случае пробы вносились в охлажденный во льду избыток щелочи, чем вызвалась реакция. Избыток щелочи оттитровывался $0,1 \text{ N}$ кислотой.

** При этом 1 г-ион разложенного BF_4' эквивалентен 3 молям NaOH , F' связывается в осадок CaF_2 и не вредит титрованию.

Таблица 27

Температура 80,0°C; $m_{\text{CaCl}_2} = 1,0$; $k^2 = 19 \cdot 10^{-4} \text{ мин}^{-1}$

	$\vartheta = 30$ Нач. $m_{\text{BF}_4} = 0,03363$	60	90	420 мин.
		0,3316	0,03442	0,03349
$10^4 (2 - \lg x) = 544$		4198	4691	2372
$10^4 k^2 = 18,1$		20,0	18,8	19,8

Общая характеристика свойств растворов тетрафтороборатов

Исследование показало, что общеизвестная устойчивость водных растворов тетрафтороборатов связана не с условиями равновесия, а с чрезвычайно низким значением константы скорости разложения BF_4^- при низких температурах. Применение элементарной статистики мономерных растворов по Мильвину-Хьюзу приводит к выводу, что константа скорости разложения BF_4^- приблизительно в 10^4 раз ниже вычисленной. В связи с медленностью реакций свойства растворов тетрафтороборатов могут существенно зависеть от «истории» его. В особенности необходимо учитывать при измерении растворимости трудно растворимых тетрафтороборатов (K, Rb, Cs, нитрона) при низких температурах, так как в этих случаях велика равновесная степень гидролиза при слабом влиянии автокатализа. Следует различить метастабильное равновесие твердой соли с не подвергшимся заметному гидролизу раствором и стабильное равновесие растворимости в пришедшем в состояние гидролитического равновесия растворе.

В случае хорошо растворимых солей щелочноземельных и тяжелых металлов состояние равновесия наступает значительно быстрее как вследствие ускоряющего действия катиона (непосредственно доказанного для Ca^{++}), так и благодаря каталитическому действию ионов водорода. Высокая концентрация ионов водорода в этих случаях вызывается высокой общей концентрацией соли и смещением положения равновесия вследствие осаждения трудно растворимого фторида.

Несмотря на низкое значение константы скорости разложения BF_4^- выделение хорошо растворимых тетрафтороборатов выпариванием растворов, даже щелочных, обычными методами должно сопровождаться значительным разложением соли.

Так, при испарении при 20° в течение суток и константе скорости $k^2 \approx 2,2 \cdot 10^{-6}$ * степень разложения соли достигает 7% *. При выпаривании при 80° та же степень разложения достигается за 75 мин. Поэтому выпаривания щелочной раствор сравнительно быстро становится кислым после чего разложение более ускоряется.

Выпаривание растворов этих солей должно производиться при низкой температуре и весьма быстро, например, при тонком слое раствора в высоком вакууме. При невозможности осуществить быстрее низкотемпературное испарение целесообразно еще до выпаривания раствора иметь в нем избыток борной и фтороборной кислот, т. е. приблизить его к состоянию гидролитического равновесия.

Перекристаллизацию хорошо растворимых тетрафтороборатов можно вести и при возможно низких температурах.

Выводы

1. Разложение тетрафтороборатов в щелочных растворах протекает по уравнению первого порядка. Скорость гидролитического разложения

* Т. е. в отсутствие ускоряющих разложение катионов.

воначально та же, но затем проявляется каталитическое действие водорода.

2. В разбавленных растворах KBF_4 константа скорости $k' = 0,4343 k$ при температурах от 20 до 70—80° изменяется по уравнению $\lg k'_{\text{мин}} = -\frac{3730}{T} + 7,11$. При дальнейшем повышении температуры скорость реакции возрастает сильнее.

Исследованная реакция относится к разряду «медленных реакций».

3. С увеличением концентрации солей константа скорости незначительно снижается. В 1M растворе NaBF_4 при 20—80°

$$\lg k' = -\frac{3921,5}{T} + 7,554.$$

В присутствии Ca^{++} скорость разложения BF_3 возрастает.

Днепропетровский металлургический институт
им. Сталина
Лаборатория общей химии

Поступила
26.XI.1946

ЛИТЕРАТУРА

- Berzelius, Pogg. Ann. 2, 113, 1824.
F. Stolba, Chem. Zbl. (3) 3, 395, 1872.
R. Abegg, C. Fox, W. Herz, Z. anorg. allg. Chem. 35, 129, 1903.
E. Kern, T. Jones, Trans. Amer. Elektrochem. Soc. 57, 273, 1930.
И. Г. Рысс, Докл. АН СССР 52, 421, 1946.
E. Wilke-Dörfurt, G. Balz, Z. anorg. allg. Chem. 159, 197, 1927.
A. Travers, L. Malaprade, Bul. Soc. Chim. 47, 788, 1930.
A. Travers, C. R. 173, 836, 1921.
И. Г. Рысс, Журн. общ. химии 16, 531, 1946; Заводская лаборатория 12, № 7—8, 1946.
И. Г. Рысс и М. М. Слуцкая, Бюлл. ВХО им. Менделеева, № 9, 37, 1940.

ВЛИЯНИЕ КИСЛОРОДА НА ПРОЦЕССЫ ДИФфуЗИИ ПРИ ВОЗНИКНОВЕНИИ ЩЕЛОЧНО-ГАЛОИДНЫХ ФОСФОРОВ

Ф. Д. Клемент

Известно несколько работ, относящихся к действию газов на люминесценцию твердых тел.

Лилиенфельд [1] наблюдал изменение цвета свечения стекла (зеленого в красный) электрическом разряде в стеклянной трубке в присутствии кислорода. Брюннин [2] установил, что зеленое свечение, присущее солям закиси марганца, переходит в красное свечение солей окиси. Окисление идет в присутствии кислорода под действием ультрафиолетовых лучей. Бейтель и Кутцельниг [3] обнаружили, что окись цинка, дающая голубоватую флуоресценцию, после нахождения в течение 2 часов в атмосфере углекислоты начинает светиться светлорозовым цветом. Оказалось, что с цветом светит карбонат, в который в этих условиях может превращаться окись. Любопытное явление наблюдал Датт [4]. Некоторые органические вещества (хиантрацен, флуоресцеин, эозин), хорошо флуоресцирующие в растворах, теряют эту способность при длительной очистке (перегонка в вакууме, перекристаллизация). Если же после такой очистки эти вещества пробудут некоторое время на воздухе, они вновь обретают свою способность светиться. Явление не получило окончательного объяснения.

Вейль [5] обнаружил, что силикатное стекло с примесью AgCl окрашивается в розовый цвет и приобретает способность светиться после нагревания в водородной атмосфере при 120° . Он считает, что свечение вызывается атомарным серебром, которое возникает в результате восстановительной реакции с водородом. Аналогичные наблюдения сделаны и над системами $\text{NaCl} + \text{Ag}$ и $\text{KCl} + \text{Ag}$.

Гильш и Поль [6] пришли к заключению, что обнаруженные ими ранее U -центры в щелочно-галогенидных кристаллах представляют собой молекулы щелочного галогенида. Молекулы возникают в результате диффузии внутрь кристалла водорода, который прорекает со стехиометрическим избытком щелочным металлом. Гонрат [7] приписывает возникновение I -центров окиси углерода, так как при нагревании щелочно-галогенидных кристаллов в атмосфере этого газа он наблюдал возникновение такого же свечения. В той же работе Гонрат обнаружил новый случай флуоресценции щелочно-галогенидных кристаллов, возникающей при их нагревании в среде кислорода.

Интересное исследование выполнено Моргенштерн [8]. Ею обнаружено возникновение люминесцентной способности у щелочно-галогенидных солей при диффузии внутрь решетки (при высокой температуре) азота, кислорода, аргона. Свечение не связано ни с теми, ни с другими химическими реакциями, так как спектральная характеристика свечения не зависит от природы газа. Наблюдения над перемещением границы светящейся области со временем показали, что диффузия идет тем скорее, чем больше постоянная решетки кристалла. Автор относит свечение к переходам с участием дискретных уровней, возникающих из-за нарушения периодичности поля решетки в результате внедрения в газовых молекул.

В приведенных работах мы имеем примеры либо такого химического действия газа, которое изменяет уже имеющиеся люминесцентные свойства вещества, либо такого, при котором создается способность люминесценции. В последнем случае либо так происходит химическая реакция и способность свечения принадлежит ее продуктам, либо молекулы газа сами, как таковые, играют роль своеобразного активатора.

Другая группа работ относится к случаю, когда отмечается тушающее действие газа. Так, Каутский и Гирш [9], Кондратьев и Зискин [10], Хомзе [11] исследовали действие тушащего действия главным образом кислорода на различные «адсорбаторы». В лаборатории Теренина изучалось тушение свечения Al_2O_3 и некоторых органических веществ электроотрицательными газами и парами (O , Cl , J_2), а также парами органических соединений. Сюда относятся работы Гачковского и Теренина [12], Гачкова [13], Тибилова [14]. Во всех этих работах авторы приходят к заключению, что механизм тушения свечения сводится к перехвату энергии возбужденного центра свечения электронами тушающей молекулы.

Нового рода явление было обнаружено нами при изучении щелочно-галогенидных фосфоров, получающихся при возгонке в вакууме тонких слоев в основаниях (щелочно-галогенидные соли) с активатором (галлий и его

соли) [15]. При легком дополнительном прогреве такого двойного слоя он приобретает свойства фосфора. Температура необходимого прогрева варьирует в зависимости от соотношения величины частицы активатора и постоянной решетки основания. Например, при TiCl в качестве активатора для разных оснований требовался такой прогрев: NaCl 200—250°, KCl 100—110°, RbCl 80—90°, CsCl 50—60°. При KCl в качестве основания разные активаторы давали фосфор при прогреве: TiCl 100—110°, TiBr 150—200°, TiI 400°. Система $\text{CsJ} + \text{TiCl}$ давала фосфор без всякого дополнительного прогрева. Учет размеров соответствующих молекул активатора и постоянной решетки основания показывает, что температура необходимого прогрева тем больше, чем больше отношение этих двух величин. Нами было показано, что возникновение подобных фосфоров связано с диффузией активатора в решетку основания.

Обращаясь к роли кислорода в явлениях возникновения этих фосфоров, приведем сначала факт, отмеченный Терениным и автором еще в первой публикации по люминесценции таких систем [16]. Если после нанесения слоя щелочно-галогенидной соли впустить воздух в сосуд, где производится возгонка, то при последующем нанесении на слой основания слоя активатора фосфор не возникает, хотя бы система подвергалась дополнительной обработке, вызывающей способность свечения при отсутствии воздушной прослойки между основанием и активатором. Это наблюдалось и при разных солях в качестве основания (KCl , CsCl , CsJ), и при разных соединениях Ti в качестве активатора (Ti , TiCl , Ti_2S). При этом даже в тех случаях, когда перед нанесением активатора воздух вновь откачивался, фосфор возникал с затруднениями. Вместе с тем прогрев слоя KCl при температуре около 300° С и одновременной откачке восстанавливал условия для возникновения фосфора при последующем нанесении активатора. Способность свечения возникала также и без откачки при прогреве системы «основание + воздух + активатор» при температуре около 300° (вместо нормальных 100—150°).

Аналогичное воздушному действие оказывал и чистый кислород. Связи водорода между основанием и активатором лишь в слабой степени мешают возникновению фосфора.

Надо полагать, что слой кислорода, адсорбированный на поверхности соли или оклюдированный ее объемом, препятствует диффузии активатора в решетку основания.

Наиболее интересный факт заключается как раз в обратном действии кислорода. В ходе дальнейшего изучения фосфоров, полученных субlimацией в вакууме, было установлено следующее явление. Если напустить воздух в сосуд не между возгонкой основания и активатора, а уже после возгонки обеих компонент фосфора, то присутствие воздуха обращает систему в фосфор без всякого дополнительного прогрева.

Последовательными пробами было установлено, что это действие вызывает кислород воздуха: ни азот, ни углекислота, ни водяные пары его не вызывают; чистый же кислород дает этот эффект, так же как и воздух. Для возникновения эффекта достаточно давления воздуха в нескольких десятках мм Hg . При давлении порядка долей мм Hg эффект не наблюдается даже при длительном (порядка суток и более) пребывании системы в атмосфере воздуха. Напускание воздуха при атмосферном давлении превращает систему $\text{KCl} + \text{TiCl}$ в фосфор на протяжении секунды и даже в случае мешающих загрязнений более медленно. В частности, если вставить в сосуд сперва азот и затем, откачав его, впустить кислород, то способность к свечению возникает лишь через несколько десятков минут.

Была предпринята серия опытов для проверки разных возможных объяснений эффекта. Чисто химическое объяснение отпало, так как эффект наблюдался и с различными неокисляющимися соединениями активатора не только с металлическим таллием, на котором он был обнаружен. Попытки строить схемы, аналогичные многослойным системам в сложной

одах, в которых существенна электроотрицательная природа кислорода, также не дали результата, так как еще более электроотрицательный р не вызывал такого же эффекта, как не давал его и электроположительный водород, впущенный между основанием и активатором. Вместе с химические и электростатические картины должны были быть рошены еще и потому, что по своему спектру фосфóры, возникшие действием кислорода, ничем не отличались от фосфóров, образовавшихся в результате диффузии активатора под действием нагрева в вакууме спектры которых фотографировались также в вакууме. Это обстоятельство говорило вообще против какой-либо активной роли кислорода в самих «трах» свечения.

В параллелизме между действием кислорода и действием нагрева людалось и некоторое количественное соответствие. Нагрев мог быть ошен впусканьем воздуха во всех тех случаях, когда для обеспечения диффузии требовался нагрев приблизительно не более 150°C . В случаях, бовавших нагрева до $150\text{--}200^{\circ}\text{C}$ (например для $\text{KCl} + \text{TlBr}$), способность свечения под действием воздуха возникала лишь постепенно, до-гая полной силы через несколько часов. Что касается систем, требо-ших еще более высокого нагрева (например, $\text{KCl} + \text{TlI}$), то воздух бще не в состоянии был вызвать способность свечения (даже через яц пребывания на воздухе).

Эти факты привели к мысли, что действие кислорода, как и действие рева, сводится лишь к облегчению диффузии активатора в основани фосфа. Такое действие кислорода могло бы возникнуть за счет теплоты, действующей при диффузии самого кислорода и вызывающей локальный нагрев основания. Кислород известен своей диффузионной способностью. лекула кислорода — одна из самых маленьких по размеру активных текул. Если не считать электроположительного водорода, то из актив-х газов такого же, как у кислорода, порядка размер молекулы лишь ртора, опыты с которым не могли быть поставлены по техническим ичинам.

Наблюдаемое при предварительном (до нанесения активатора) и по-дующем впускании воздуха различие легко объясняется с этой точки зения. В первом случае можно думать, что теплота диффузии успевает сосаться и потому присутствие воздуха не содействует диффузии акти-гора. Более того, в этом случае присутствие воздуха может затруднять ффузию, которая должна была бы итти при дополнительном впускании здуха уже после нанесения активатора: места, на которые могла бы одиффундировать новая порция воздуха, уже заняты. Действительно, пающее действие воздуха, попавшего на слой основания до нанесения тиватора, наблюдается не только при термической обработке фосфóра, и при попытке получить фосфóр напусканьем воздуха. Так, для системы $\text{KCl} + \text{воздух} + \text{TlCl} + \text{воздух}$ полное свечение возникает лишь через сколько часов после вторичного напускания воздуха. Этим объясняется тот факт, что «диффузионные» фосфóры, возникающие при простом ешении на воздухе порошков основания и активатора, приобретают люю яркость лишь при длительном стоянии на воздухе, если не содей-вать их возникновению нагревом, хотя приготовленная в вакууме алогичная система дает фосфóр сразу же при впускании воздуха.

Подтверждением мысли о содействии кислорода диффузии активатора ужит такой факт. При нанесении на слой KCl в качестве активатора таллического таллия последний образовывал обычно заметный на-глаз таллический налет. Нагрев этого слоя до температуры, при которой он иобретает свойства фосфóра, всегда сопровождается своеобразным осветлением слоя. Так как при этих температурах летучести металла це не наблюдается, то естественно было объяснить это явление расса-ванием скопления частиц металла и диффузией их в слой KCl .

Аналогичное просветление таллического слоя, нанесенного на ще-

лочно-галлоидную соль, всегда вызывал и кислород. Объяснить это окислением металла нельзя, так как окислы таллия коричнево-черного цвета. С другой стороны, такое же рассасывающее действие оказывал кислород и по отношению к слою $TlCl$, который легко обнаруживался как по особому матовому оттенку, так и вследствие своей непрозрачности для лучей с длиной волны $\lambda < 3660 \text{ \AA}$.

Наконец, был поставлен решающий эксперимент, который должен был дать прямую демонстрацию диффузии активатора под действием кислорода. Так как толщина слоя основания очень мала, непосредственно наблюдать диффузию в глубину слоя очень трудно. Поэтому была сделана попытка обнаружить диффузию активатора вдоль слоя основания. При хорошем вакууме возгоняемые из отростков сосуда вещества летели молекулярным пучком. Вследствие этого с помощью соответствующей диафрагмы легко было покрыть слоем активатора лишь часть слоя основания; граница слоя активатора была резко видна. На окошке сосуда был нанесен слой $CsCl$; половина этого слоя была покрыта слоем металлического таллия. Половине границы слоя таллия было отмечено, и сосуд был оставлен стоять с сохранением вакуума. Проба свечения сразу после возгонки слоев никакого свечения не обнаружила.

Через неделю пребывания в вакууме граница металлического слоя активатора несколько не сместилась. Проба свечения вновь никакого свечения не обнаружила. Тогда в сосуд был впущен воздух. Слой сразу просветлел и появилась способность свечения. После этого сосуд вновь был оставлен стоять, но уже с воздухом. Проба свечения через еще одну неделю показала, что граница светящейся зоны переместилась в сторону неактивированного таллием слоя $CsCl$ на 5 мм.

В фосфорах этого типа отсутствие или наличие послесвечения зависит от концентрации активатора (наблюдается лишь при малых концентрациях активатора). В связи с этим в более тонких опытах удавалось проследить не только за фактом появления активатора (в результате диффузии в таком месте, где его раньше не было, но и за постепенным нарастанием количества активатора. При возгонке слоев на стенку сосуда мы имели непосредственно на стенке слой щелочно-галлоидной соли, а на нем слой соли таллия. При использовании веществ, с которыми диффузия шла постепенно даже в присутствии воздуха (например $KCl + TlBr$), и при возгонке слоев подходящей толщины в случае наблюдения системы с стороны KCl мы могли последовательно видеть такие этапы процесса. Вначале слой вообще не светится. Затем возникает свечение с заметным послесвечением. Наконец, при достаточно тонком слое KCl и достаточно количестве активатора послесвечение подавляется и остается только мгновенное свечение, наблюдаемое лишь во время облучения.

При наблюдении картины со стороны активатора последовательность явлений была иной. Вначале свечения нет. После начала диффузии наблюдается свечение без послесвечения. Наконец, при достаточно тонком слое активатора и толстом слое KCl возникает послесвечение.

Интересно отметить, что напускание воздуха в сосуд со слоем $KCl + Tl$ находящимся при температуре жидкого воздуха, не вызывает свечения. Если, оставив воздух в сосуде, дать сосуду нагреться до комнатной температуры, то возникает нормальное свечение. Повидимому, при температуре жидкого воздуха в кристалл основания не диффундирует не только активатор, но и воздух. В противном случае воздух, уже продиффундировавший в основание при низкой температуре, при которой активатор сразу за воздухом последовать не мог (свечение не возникло!), должен был бы затруднить последующую диффузию активатора, как и в случае воздушной прослойки между основанием и активатором (так как теплопроводности диффузии была «растрачена» преждевременно). Такое представление подтверждается и следующим опытом. Впущенный при низкой температуре в сосуд со слоем $KCl + Tl$ воздух после пребывания в сосуде в течение

0—15 мин. был откачан при низкой температуре, после чего сосуд нагрелся до комнатной температуры. Свечения не было. Напускание новой порции воздуха при комнатной температуре сразу же, как обычно, вызвало свечение. При напускании же воздуха на слой KCl при комнатной температуре до нанесения активатора откачка способна устранить мешающее действие воздуха лишь в том случае, если она ведется при прогреве слоя KCl при температуре не ниже $300^{\circ}C$. Ввиду того что в данном случае после откачки даже при пониженной температуре никакой помехи для возникновения фосфора при последующем напускании воздуха не наблюдается, естественно думать, что при низкой температуре воздух в кристалл диффундировал.

Родственным нашему явлению, повидимому, нужно считать факт, выводимый Внуковой [17]. Давно известный эффект Гершеля (ослабление и уничтожение скрытого изображения при освещении фотолампы красным или инфракрасным светом) наблюдается, по Внуковой, лишь в том случае, если пластинка находится в среде воздуха или кислорода, что свидетельствует о способности именно кислорода содействовать ссаживанию коллоидальных частиц металлов, из которых состоит скрытое изображение. В вакууме, в среде N_2 и CO_2 эффект Гершеля, согласно Внуковой, не наблюдается. Возможно, что некоторое отношение рассматриваемому явлению имеют наблюдения, описываемые Де Буром [8]. При нагревании сублимированного в вакууме мелкокристаллического слоя соли происходит уменьшение ее поверхности из-за уплотнения. Однако силы, связывающие отдельные кристаллики после уплотнения, могут быть преодолены молекулами или атомами, способными сильно сорбироваться. Адсорбированные частицы вновь отталкивают друг друга кристаллики слоя, и общая поверхность слоя снова увеличивается. При удалении адсорбата при низкой температуре слой остается в таком взбухшем состоянии. Это явление наблюдалось при адсорбции цезия слое CaF_2 .

Де Бур приводит и другие факты. Так, щелочные металлы (K , Rb , Cs) в состоянии проникать внутрь решетки графита, вызывая разбухание решетки; иод способен диффундировать в слой $NaBr$, вызывая его разбухание.

Однако в настоящее время еще трудно настаивать на каком-нибудь определенном механизме явления. Не подлежит сомнению лишь самый факт способности кислорода содействовать диффузии молекул таллиевых соединений в решетку щелочно-галлоидных солей. Явления люминесценции могут рассматриваться с методической точки зрения, как эффективный индикатор подобных процессов. С другой стороны, нам хочется отметить методические возможности, которые открываются для изучения влияния газов на процессы образования фосфоров разработанной нами методикой приготовления фосфоров путем возгонки в вакууме. Данная работа иллюстрирует эти возможности.

Ленинградский гос. университет
Физический институт
Ленинград

Поступила
27.XI.1946

ЛИТЕРАТУРА

1. I. Lilienfeld, Ber. Deutsch. Phys. Ges. 631, 1906.
2. L. Brunninghaus, J. de phys. 2, 398, 1931.
3. E. Beutel u. A. Kutzelnigg, Wien., Ber. 141, 437, 1932.
4. S. Dutt, J. Ind. Chem. Soc. 7, 505, 1930.
5. W. Weyl, Sprechsaal, 70, 578, 1937.
6. R. Hilschu. R. Pohl, Gött. Nachr. 322, 1933.
7. W. Honrath, Ann. d. Phys. 29, 421, 1937.
8. З. Моргенштерн, Диссертация, ГОИ, 1941.
9. H. Kautsky u. A. Hirsch, Zeitschr. anorg. Chem. 222, 126, 1935.
10. В. Кондратьев и М. Зискин, Sow. Phys. 6, 293, 1934.
11. H. Chomse, Zeitschr. anorg. Chem. 233, 145, 1937.
12. В. Гачковский и А. Теренин, Изв. АН СССР, сер. хим. 5, 805, 1936.
13. К. Каспаров, Докл. АН СССР 23, 515, 1940.
14. С. Тибилов, Журн. физ. хим. 14, 953, 1940.
15. Ф. Клемент, Докл. АН СССР 46, 295, 1945.
16. А. Теренин и Ф. Клемент, Acta Physicochimica URSS 1, 941, 1935; Учен. зап. ЛГУ, сер. физ., 1, 73, 1935.
17. Ф. Внукова, Журн. физ. хим. 9, 593, 1937.
18. Ж. Де Бур, Электронная эмиссия и явления адсорбции, стр. 155, 1936.

К ТЕОРИИ РЕКРИСТАЛЛИЗАЦИОННЫХ ПРОЦЕССОВ

1. О ВЛИЯНИИ ГАЗОВОЙ ФАЗЫ НА СТРУКТУРНЫЕ ПРЕВРАЩЕНИЯ В ТВЕРДЫХ ФАЗАХ

Б. Ф. Ормонт

Введение

В химии известна большая группа теоретически и практически важных реакций, относящихся к системам, состоящим из твердой и газообразной фаз и отличающихся тем, что по общепринятому мнению процесс протекает либо в газовой фазе (а вещество твердой фазы в реакцию вступает и в крайнем случае участвует в ней в качестве катализатора, изменяясь в процессе катализа), либо в твердой фазе (вещество же газовой фазы присутствует, не влияя на ход реакции в твердой фазе).

В литературе опубликованы сотни работ, авторы коих изучали превращения в твердых телах, например процесс перехода мелкодисперсных окислов в кристаллические типа $[\text{Cr}_2\text{O}_3] \rightarrow [\text{Cr}_2\text{O}_3]^*$.

При этом тщательно описывались многие детали реакции, кроме одной — става газовой фазы, каковой был «обычный» лабораторный воздух. В лабораторном воздухе можно ожидать присутствия следов многих газов и пренебрежение вопросом о составе этого воздуха было бы допустимо лишь в том случае, если бы последний не влиял на ход многих из этих процессов. Как будет рассмотрено ниже, подобное мнение ни в какой мере не соответствует истинному положению дела и глубоко ошибочно.

В теориях гетерогенного катализа поверхность катализатора принимается более или менее неоднородной, но обычно — статистически изменной в процессе катализа. Тем самым, по существу, оставляется без внимания тот факт, что если состав газовой фазы может влиять на структуру поверхности-активного вещества, то это означает, что в процессе реакции активная поверхность катализатора может резко меняться.

В петрографии всегда допускалось влияние «летучих» — «минерализаторов» на процесс образования минералов, и прежде всего из расплавов. В всяком случае Левинсон-Лессинг, рассматривая влияние «летучих» компонентов на процесс кристаллизации магмы, указывал [1], что их влияние в основном двояко — оно понижает вязкость и точку плавления расплава. Кроме того, он допускал, что «летучие» могут изменить порядок деления минералов из расплава. «Не лишено также вероятия», — указал Левинсон-Лессинг, что часть этих газов оказывает каталитическое действие, вызывает некоторые реакции, которые без них не совершались или шли бы иначе.

Таким образом, каталитическое влияние минерализаторов на ход некоторых, определенно не указанных, процессов в расплавах рассматривается как «не лишено вероятия». Между тем, влияние «летучих» на процесс образования минералов и пород более многообразно и несомненно является настолько часто, что рассмотрение его должно было бы стать предметом специального раздела соответствующих дисциплин.

Так или иначе, затронутая нами проблема имеет непосредственное значение, во всяком случае для теоретической неорганической химии, теории катализа и петрографии.

* [] кристаллическое, | аморфное состояние.

О несуществовании точек перехода T_n для систем: $[A] \rightarrow [A]_a$

Реакции, подобные $[A] \rightarrow [A]_a$, монотропны по существу, то есть протекают во всех интервалах температур (до температуры сублимации) с уменьшением свободной энергии. Непонимание этого факта приводит к многим курьезным формулировкам. Так, даже в столь фундаментальном справочнике, как *Strukturbericht* (SB), воспроизводятся без каких-либо комментариев данные многих авторов, пытавшихся рентгенографически установить точку превращения для $[A] \rightarrow [A]_a$. В качестве примера приведем подробно прореферированную в SB (1937) работу Танака [3], в которой указанный автор нашел (для $p = 1$ атм), что температура перехода $[Se] \rightarrow [Se]_{мет}$ лежит между 74 и 74,5° C (1).

В действительности переход таких систем происходит при температуре, при которой это становится возможным по кинетическим соображениям, хотя в строго определенных условиях температура перехода и может воспроизводиться — в иных условиях она имеет все основания оказаться совершенно иной и при том размытой в довольно широкий интервал. В результате реальная твердая или даже жидкая фаза может представлять по причинам кинетического характера набор структур, изменяющихся быстро или медленно (в зависимости от давления, от наличия примесей и др.) в сторону, отвечающую уменьшению свободной энергии системы. Некоторые факторы, влияющие на эти процессы, должны быть здесь названы.

В работе [2] мы подчеркивали, что громадные потенциальные барьеры препятствуют миграции атомов в кристаллах и способствуют сохранению термодинамически неустойчивых структурных модификаций.

По этой причине даже наличие зародышей (блоков) стабильной формы, значит, наличие в системе силового поля стабильной кристаллической решетки не в состоянии бывает обеспечить быстрый переход при данной температуре метастабильной формы в стабильную. Естественно, что исправление дефектов за счет миграции атомов легче всего может достигаться в фольмеровском двумерном поверхностном слое, где высота потенциального барьера минимальна. Известно, что и в случае стекольной рекристаллизация (соответственно расстекловывание) часто оказывается облегченной не только на границе зародышей (включений), т. е. новой термодинамически более устойчивой фазы, но и на границе пузырей (каверн), в оболочках пустот капилляров, трещин.

Поэтому для процессов глубокой рекристаллизации с образованием стабильных структурных форм весьма важна степень чистоты поверхностных слоев. Наличие в последних загрязнений может затруднить миграционные процессы*; в других случаях, например при наличии гидратов (сольватов)** , снижение энергии отрыва облегчает протекание последнего [2].

Многочисленные экспериментальные данные разных авторов указывают на то, что присутствие растворителя часто способствует переходу метастабильных форм в более стабильные.

Как было высказано Когеном [4], совместное выделение α - и β -форм солей, например CdJ_2 , из их растворов может быть вызвано тем, что первоначально выделяющиеся зародыши α -формы оказываются неактивными вследствие осаждения на их поверхности адсорбируемых примесей (в случае CdJ_2 следов гидроокиси кадмия).

При дальнейшем выпаривании раствора CdJ_2 достигается произведение растворимости и становится возможным образование зародышей β -форм. После этого имеет место возникновение обеих форм. Из рассмотренного описанного выше механизма вытекает, что при отсутствии загрязнений образование метастабильной формы должно затрудняться. В современ-

* Например, оксидные пленки на металлах.

** Например, в случае солевых решеток.

температуре особенно часто подчеркивается стабилизирующее влияние примесей на метастабильные модификации. Так, например, следам SbCl_3 приписывается стабилизация метастабильной взрывчатой сурьмы.

Примеси могут замедлять переход метастабильной формы в стабильную (если энергия отрыва атомов или молекул, образующих решетку, в присутствии примеси увеличивается), могут и ускорять этот переход (ли энергия отрыва атомов или молекул в присутствии примесей уменьшается). В качестве примера второго случая можно привести влияние углерода на переход $S_{\text{монокл.}} \rightarrow S_{\text{ромб.}}$.

Из изложенного видно, что вопрос о влиянии примесей на образование модификаций веществ — это кардинальный вопрос учения о структуре твердых тел.

Однако роль примесей вовсе не сводится лишь к ускорению или замедлению процесса перехода метастабильной формы в стабильную. Такое толкование должно иметь место главным образом при неравномерном распределении примесей, скажем, на поверхности сетки кристалла. При равномерном же распределении примесей, с образованием микрообъектов первого рода *, меняются распределение электронной плотности и различных направлений поля кристаллической решетки и энергия элементарной ячейки и создаются условия, при которых стабильной может оказаться метастабильная форма. С этой точки зрения особенно интересны случаи, когда, например, константа Маделунга для двух возможных структур солей лишь близка и изменение свободной энергии перехода в данных условиях ничтожно. Именно в этих случаях легко может оказаться, что в присутствии примесей меняется знак ΔF для $[A]_{\alpha} \rightarrow [A]_{\beta}$. С этой целью автором был проведен анализ многочисленных данных о химическом составе сфалерита и вюрцита, приведенных в минералогической литературе.

Бросается в глаза устойчивость структуры вюрцита и меньшая устойчивость сфалерита в отношении наличия CdS . Напротив, сфалерит, содержащий лишь небольшие концентрации CdS , может иметь значительное содержание железа. Таким образом, следует ожидать влияния примесей не только на кинетику образования новых структур, так и на тип последних, т. е. вопрос о влиянии примесей также и на структуру возникающих фаз представляет проблему первостепенной важности.

Конечно, такие системы, как металлы плюс активный по отношению к ним газ (например, $[\text{Fe}] + \text{O}_2$) или соль плюс пар растворителя (например, $[\text{NaCl}] + \text{H}_2\text{O}$), должны быть особенно яркими примерами соответствующего влияния. Однако автору казалось, что такое влияние может быть обнаружено даже в системах, в которых присутствующий газ не считается особо активным по отношению к фазе, являющейся объектом глубокой рекристаллизации, например $[\text{Cr}_2\text{O}_3] + \text{SO}_2$ или даже $[\text{Cr}_2\text{O}_3] + \text{N}_2$. Естественно, что такого рода исследования должны производиться тем сравнением с системами, где исходная скелетная структура подвергается рекристаллизации в высоком вакууме (HV) с непрерывной отжкой выделяющихся газов.

Исходя из изложенного, автор поставил в 1934 г. исследования процессов глубокой рекристаллизации Cr_2O_3 в зависимости от состава сосуществующей газовой фазы.

Полученные результаты приводятся в следующей статье. Здесь мы хотели бы остановиться на некоторых наблюдениях, имеющих принципиальный характер:

а) Эффект влияния газовой фазы на кинетику рекристаллизации сказывается чрезвычайно сильно, смещая температуру перехода в интервале $600-630^\circ \text{C}$ при среднем, хорошо воспроизводимом переходе в HV в температуру $570-590^\circ \text{C}$. Подчеркиваем, что эта температура не является T_n , т. е. для нее $\Delta F \neq 0$.

* Микродефекты внутри элементарной ячейки (термин наш).

б) Влияние примесей оказалось, как и следовало ожидать, двояким: SO_2 тормозил переход, HCl и O_2 сильно ускоряли. Интересно, что даже в N_2 наблюдалось заметное понижение температуры перехода по сравнению с HV (до $500\text{--}530^\circ\text{C}$).

Можно было бы высказать предположение, что даже ничтожные следы более активных газов, например кислорода, могли оказаться достаточно большими для ускорения реакции перехода в присутствии азота. Однако не кажется, что для объяснения влияния N_2 привлечение версии о примесях N_2 не является единственно возможным (см. ниже).

с) Влияние газов сказывалось и на высоте температурного скачка в момент перехода, причем сильно снижающие температуру переходные газы, особенно O_2 , одновременно сильно снижали и температурный скачок процесса перехода.

По поводу специфического влияния газов на ход процесса саморазогрева окиси хрома можно высказать следующие предположения: в начальной стадии имеет значение характер взаимодействия газов с поверхностью скелетной структуры. В отсутствии газа (HV) процесс исчезновения скелетной структуры сначала идет довольно медленно. Повидимому, необходима предварительная потеря воды (эндотермическая реакция) и постепенность этого процесса задерживает начало саморазогрева. Хотя температурный скачок, регистрируемый термопарой, опущенной в препарат Cr_2O_3 , не превышает $80\text{--}100^\circ\text{C}$ (при малых навесках вещества весьма вероятно, что на кратчайший период времени в отдельных точках возникают локальные состояния, которые условно могли бы сравниваться с флуктуациями, отвечающими гораздо более высоким температурам). В результате резко усилившийся за счет излучения, пропорционально T^4 , тепловой поток способствует началу реакции в других слоях порошка и быстрому самораскаливанию всей массы. При введении газов, адсорбирующихся на порошок, например SO_2 , обнаруживается заметное торможение реакции. Это тормозящее влияние SO_2 , наблюдаемое не только в чистом SO_2 , но и при добавлении следов его к азоту, должно быть сопоставлено с установленным Л. Велером фактом, что если восстановление Cr_2O_3 до Cr_2O велось в растворах с помощью SO_2 , то полученный продукт не показывает явления саморазогрева. Однако в нашем случае эффект гораздо более тонкий, поскольку SO_2 вводится на поверхность препарата Cr_2O_3 , предварительно подвергнутого трехчасовой глубокой рекристаллизации в высоком вакууме, т. е. с откачкой летучих при температуре 250°C .

Напротив, введение кислорода или HCl , повидимому, влечет за собой химическое взаимодействие на поверхности структуры при гораздо более низких температурах и с некоторым выделением тепла. Естественно, что возникающий в результате при гораздо более низкой температуре переход протекает медленнее и регистрируемые скачки температур более низки (особенно для кислорода).

В случае инертных газов типа азота влияние на T_p (в сторону снижения) может быть объяснено прежде всего тем, что газ способствует переносу тепла не только за счет излучения, но и за счет конвекции и теплопроводности, что для температур $400\text{--}600^\circ\text{C}$ имеет еще существенно значение.

Так как в большинстве исследований процесса рекристаллизации доступ лабораторного воздуха к препаратам не устранялся, то результаты этих исследований могут содержать ошибки, связанные с влиянием газовой фазы на процесс и структуру образующихся твердых фаз.

Большой интерес представляют данные, относящиеся к потере препаратом Cr_2O_3 воды. Существенно, что если потеря летучих (H_2O) до перехода в плотное состояние, т. е. при низких температурах, происходила весьма легко, то повышение температуры, вызывая глубокую рекристаллизацию, идущую во всей массе вещества, ведет в закрыванию пор и своеобразному «замуровыванию» влаги, т. е. посторонних атомов и

молекул в решетке, удаляемых лишь после очень долгого прокаливании (2 часов) при температуре 1200°C , причем удельный вес препарата медно приближается к определенному рентгенографически — 5,23.

Эти данные подтверждают тот вывод, что в гетерогенных процессах, связанных с глубокой рекристаллизацией, общепринятая теория химической кинетики, в частности, в вопросах температурной зависимости скорости реакции, не применима.

Повышение температуры, вызывая замуровывание посторонних атомов в решетке в результате закрытия пор и т. д., не только не ускоряет, в ряде случаев затормаживает протекание реакции термической диссоциации, обменного разложения и др., несмотря на наличие благоприятных термодинамических условий. Поэтому многие из таких процессов целесообразно вести не при высоких температурах, а при низких (см. особенно [1]).

Исходные предпосылки автора и сделанные им общие выводы были подтверждены в ряде работ нашей лаборатории, причем доказана возможность получения различных твердых и тугоплавких соединений и при гораздо более низких температурах, чем это было описано в литературе.

Выводы

1. Рассмотрен вопрос о влиянии газовой фазы на структурные превращения в твердых фазах. Отмечена неправильная интерпретация даже в фундаментальных трудах результатов работ по установлению точки перехода явно метастабильных форм в более стабильные и роль газов в такого рода переходах.

2. Подчеркнуто влияние равномерно распределенных примесей на поле кристаллической решетки и возможность обращения знака изменения свободной энергии в реакции $[A]_{\alpha} \rightleftharpoons [A]_{\beta}$ в присутствии примесей, а также возможность влияния примесей на возникновение новых модификаций.

3. Отмечено, что в гетерогенных процессах, связанных с глубокой кристаллизацией, общепринятая теория химической кинетики неприменима, и, в частности, повышение температуры в ряде случаев должно медлить протекание реакций термической диссоциации, обменного разложения и др.

Физико-химический институт им. Карпова
Лаборатория комплексных и твердых соединений
Москва

Поступила
17.XII.1945

ЛИТЕРАТУРА

- Левинсон-Лессинг, Петрография, 5 изд., стр. 178, М., 1940.
Б. Ф. Ормонт, Кристалл и его константы, Усп. физ. наук 16, 1001, 1936.
Strukturbericht, Bd. III, 215—217, 1937.
Cohen, Z. phys. Chem. 94, 450, 465, 482, 1920.
М. А. Хачванкян и Б. Ф. Ормонт, Журн. физ. хим. (печат.).
В. А. Эпельбаум и Б. Ф. Ормонт, Acta physicochimica URSS (печат.).
ЖФХ, XXI, 3, 1947.

Примечание при корректуре.

Недавно мы нашли в литературе экспериментальные данные, ярко иллюстрирующие влияние газовой фазы на возникновение стабильных форм (см. выше стр. 570 Б. Ф. Ормонт [1], 1936).

Вопрос о характере гексагональной модификации никеля (αNi тип A3) долгое время был объектом дискуссии (1927—1939) [2]. Как известно, «компактный» Ni в температурах от 0 до 1200°C существует в виде βNi (кубическая, гранцентрированная типа A1), не переходящего в αNi . Распыление металла по Бредигу [3] являлось основным способом получения «низкотемпературного» αNi .

В SBVII помещен, как известно [4], реферат работы [5] Леклерк и Мишел (1939), в котором говорится, что в результате хранения компактного βNi в атмосфере CO_2 при 170°C он перешел в αNi . Механизм такого процесса нам показан не совсем очевидным, поскольку в других инертных газах кинетика перехода $\beta\text{Ni} \rightarrow \alpha\text{Ni}$ при всех температурах оказывалась ничтожной. Разыскав оригинал статьи мы убедились, что речь идет в действительности о CO , причем сами авторы роз. СО не интерпретируют, вероятно рассматривая его просто как инертный газ. Редакция SBVII, несомненно, рассуждая так же, превратила CO в CO_2 .

Нам кажется возможной следующая интерпретация механизма процесса.

В присутствии CO никель образует карбонил, но при температуре 170°C угость разложения $\text{Ni}(\text{CO})_4$ как раз приближается к одной атмосфере, причем парциальное давление $\text{Ni}(\text{CO})_4$ практически еще отлично от нуля (Б. Ормонт [6], 1946). В этих условиях кинетика достаточна, а термодинамические условия благоприятствуют протеканию слева направо реакции



(аналогично переходу неустойчивых модификаций в устойчивые в присутствии реактвора, см. выше).

Нагреванием же αNi до 300° осуществляется обратный переход в βNi , уже без особого труда вследствие лучшей кинетики при 300°C (точка перехода $\alpha\text{Ni} \rightleftharpoons \beta\text{Ni}$ — около 250°C). Рассмотренное выше представляет интерес и с точки зрения теории катализа.

ЛИТЕРАТУРА

1. Б. Ормонт У. Ф. Н. XVI, 1034 и след. (1936).
2. Strukturbericht, Bd. 1, § 68, 763, 764, II, 193, 194, 197, III, 223, 224.
3. Bredig u. a. Z. phys. Chem. 126, 41 (1927); 172 (1931).
4. Strukturbericht, VII, 48.
5. Leclerc et Michel, C. R., 208, 1583 (1939).
6. B. Ormont, Acta physicoch., XXI, 413 (1946).

К ТЕОРИИ РЕКРИСТАЛЛИЗАЦИОННЫХ ПРОЦЕССОВ

II. О ВЛИЯНИИ ГАЗОВОЙ ФАЗЫ НА СТРУКТУРНЫЕ ПРЕВРАЩЕНИЯ ОКИСИ ХРОМА

*М. А. Хачванкян и Б. Ормонт**

В связи с исследованием влияния газовой фазы на процессы превращения в твердых фазах ** нами был изучен (в 1934—1936 гг.) ход реакций $\text{r(OH)}_3 \rightarrow [\text{Cr}_2\text{O}_3] \rightarrow [\text{Cr}_2\text{O}_3]$ *** в присутствии газовой фазы различного состава и в высоком вакууме.

Как было установлено в этом исследовании, в зависимости от состава газовой фазы процесс перехода аморфной окиси хрома в кристаллическую происходит в основном при температурах, которые отличались друг от друга (для одного и того же исходного препарата окиси хрома) в предельных случаях на 250°C (380—630°C).

Ниже излагаются результаты этой работы.

Некоторые литературные данные о процессе $[\text{Cr}_2\text{O}_3] \rightarrow [\text{Cr}_2\text{O}_3]$ приводятся в работах [1—9].

Экспериментальная часть

Гидрат окиси хрома получался из нитрата двукратным осаждением раствором аммиака, осадок тщательно промывался горячей водой, к которой добавлялось небольшое количество аммиака. Хорошо промытый осадок подвергался электродиализу,历时 2 дня при 80° С и затем обезвоживался в высоком вакууме. Анализ полученного обезвоженного препарата (после почти полной потери влаги) показал 99,9% Cr_2O_3 . Ту же цифру сообщил нам Институт чистых реактивов (анализ № 162 от 7.V. 1936), куда был послан контрольный образец.

Исследование процесса саморазогрева

Исследование велось в кварцевом приборе (рис. 1).

Кварцевая колба А, снабженная шлифованной пробкой В, через которую проходит Pt-Pt-Rh термопара № 1, была помещена в электрическую печь сопротивления С и соединена посредством шлифа с установкой высокого вакуума ИВ. С помощью четырехходового крана и отростков D, E и F система соединялась с приборами для получения различных газов, влияние которых на эффект самораскалывания было предметом исследования.

Температура печи измерялась Pt-Pt-Rh термопарой № 2, горячий спай которой помещался на уровне горячего спая термопары № 1, погруженной в окись хрома. Навеска исследуемого препарата окиси хрома, обезгаженного предварительно при 250° С (весом ~ 1 г), сначала подвергалась повторному обезгаживанию при комнатной температуре в высоком вакууме, после чего прибор, при постоянном откачивании, подвергался нагреванию со скоростью 3—4° в минуту, с одновременным контролем обеих термопар. Обе полученные кривые $T = f(\tau)$, где T — температура и τ — время, идут параллельно друг другу, причем кривая температуры печи выше кривой температуры окиси хрома на 5—25° С.

В момент превращения окиси хрома и после него, вследствие выделения больших количеств тепла, нижняя кривая пересекает верхнюю в двух точках, образуя крутой четко выраженный максимум высотой до 100 и выше. Характер максимума показан на графике рис. 2.

* При участии А. М. Якубович.

** Рентгенограммы наших препаратов окиси хрома были в течение 1934—1936 гг. сняты по нашей просьбе В. И. Касаточкиным, за что приносим ему нашу искреннюю благодарность.

*** [] кристаллическое, || аморфное состояние.

Температура превращения окиси хрома в высоком вакууме для наших образцов окиси хрома колебалась в пределах 570—590° С, чаще около 590° С.

Для исследования влияния газовой фазы нами применялись следующие газы и смеси: кислород, воздух, азот, хлористый водород, сернистый газ и др. Чистый азот мы получали из NaNO_2 и NH_4Cl . Для удаления окислов азота, NH_3 и следов кислорода газ пропускался через ряд промывных колонок с водой и серной кислотой и через нагретую до 450° С электролитическую медь.

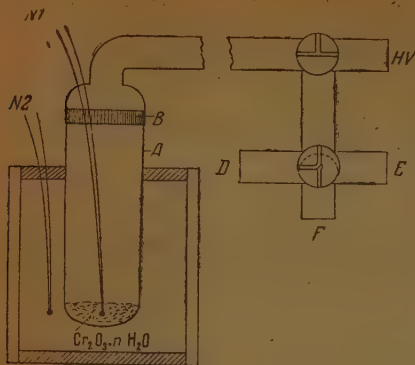


Рис. 1

вакууме. При этом пики на кривых, относящихся к разным газам, отличались и по высоте.

Результаты сведены в табл. 1.

Как мы видим, SO_2 при $p = 1$ атм сильно тормозил превращение окиси хрома, отодвигая T_p до 610—630° С. В атмосфере азота наблюдалось напротив, некоторое понижение T_p до 500—530° С и, наконец, наиминиш

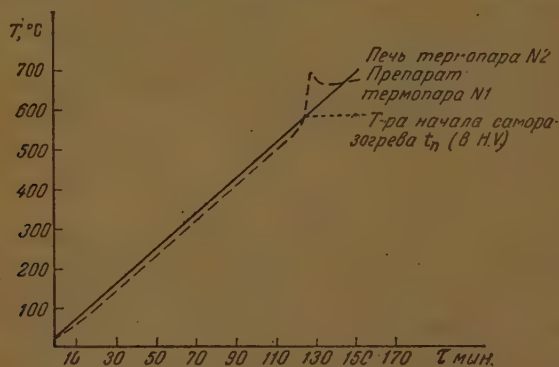


Рис. 2

температуры превращения наблюдались в кислороде: 380—415° С, причем кривая $T = f(\tau)$ и по небольшой высоте своего пика резко отличается от кривой превращения в вакууме.

Интересно, что присутствие следов SO_2 в HCl вело к значительному повышению T_p по сравнению с наблюдаемым в HCl . Следов же SO_2 в азоте было достаточно для того, чтобы повысить T_p до наблюдавшейся в чистом SO_2 .

Содержание влаги в препаратах окиси хрома было объектом специальных определений. Определение влаги, отдаваемой окисью хрома в момент превращения, до и после него, производилось: а) методом элементарного органического анализа, б) поглощением водяных паров прокаленной окисью кальция.

Таблица 1

№ образца	SO ₂	N ₂ + сл. SO ₂	В вакууме	HCl+ сл. SO ₂	N ₂	HCl	4/5N ₂ + 1/5 O ₂	O ₂
I	—	—	800 (690) 580 (665)	—	—	530 (580) —	—	—
II	622 (665)	—	590 (730) 590 (682) 575 (730) 580 (665) 578 (690)	—	— 550 (630) — —	— 530 (670) 525 (690) —	—	—
III	— 612 (668) 632 (825)	—	590 (665) 585 (655) 590 (755)	— 580 (640) —	— 557 (660) 550 (590)	500 (550) 500 (560) 500 (610) 520 (670) 525 (690)	—	—
IV	630 (680) 635 (700) 628 (740) 630 (825)	— 625 (714) — —	590 (680) 570 (645)* 550 (680)** 500 (790) 595 (790) 550***	—	— 556 (620) 560 (730) 550 (575) — —	— 528 (635) 560 (610) — — —	— 412 (435) 440 412 (430) — —	— — 395 (480) — — —
V	625 (720)	580 (695) 585 (610)	570 (655) —	—	—	530 (600) 528 (635)	—	378 (404) 417 (424)

* Первая цифра — начало саморазогрева, цифра в скобках — конец. Образец IV после двукратного нагревания и охлаждения показал температуру превращения 570° С.

** Образец IV после трехкратного нагревания и охлаждения понизил температуру превращения до 550° С.

*** Образец IV через 28 дней.

В последнем случае окись кальция помещалась в кварцевый стаканчик, прокаливается до постоянного веса, и затем стаканчик устанавливался в прибор (рис. 1) рядом с точной навеской окиси хрома. При постоянном откачивании и нагревании температура доводилась, например, до 580° С, т. е. на 10° С ниже температуры превращения окиси хрома в высоком вакууме. Затем откачивание прекращалось, а температура снижалась далее. После саморазогрева печь выключалась и прибор охлаждался. Через 2 дня определялся привес окиси кальция. Кроме этих методов, в отдельных случаях производились контрольные прокаливания навески в тигле и в воздухе. При этом было установлено, что наибольшее количество влаги (до 30% от веса препарата) последний отдает значительно ниже температуры превращения (главным образом, 400° С), в момент же саморазогрева отдает 1—2% воды. При прокаливании препарата до 1200° С он отдает еще до 2% воды (от веса препарата).

Структура препаратов окиси хрома

Захариассен [10], изучая дебаграммы препаратов, полученных прокаливанием зеленого гидрата окиси хрома при различных температурах, установил, что они имеют структуру корунда (ромбоэдрическую $a = 5,35 \text{ \AA}$, $c = 550' \text{ пр. гр. } D_{3d}^6$).

Снятые рентгенограммы наших препаратов до и после саморазогрева, естественно, сильно отличаются между собой: полное отсутствие интерференционных линий — в первом случае и четкая рентгенограмма, соответствующая решетке Cr_2O_3 типа корунда, — во втором.

Результат определения структуры наших препаратов таков:

$$a = 5,375 \text{ \AA}, \alpha = 54^\circ 36',$$

причем колебания во второй цифре после запятой мы считаем возможными вследствие неточности промера, но вследствие физической неоднород-

ности препарата в смысле распределения дефектов 1-го и 2-го ро-
[11, 12].

Удельный вес препаратов окиси хрома

Вычисляя из приведенных данных теоретическое значение удельно-
го веса, получаем $\sigma = 5,223 \sim 5,22$.

Для характеристики количества микродефектов в различных пре-
паратах путем сопоставления $\sigma_{\text{теор}}$ и $\sigma_{\text{эксп}}$ нами были определены удельные
веса при помощи пикнометра.

В связи с тем, что обычная пикнометрическая методика определения удельных
весов порошков часто бывает источником погрешностей, особенно вследствие неполного
удаления воздуха из пор кристаллов, нашу методику работы мы опишем более подро-
бно.

Мы применяли пикнометры обычного типа с широким горлом ($d = 10$ мм), с хоро-
шо пришлифованной пробкой (длина шлифа 30 мм), с капилляром, диаметр которого
 $d = 1,5$ мм. Объем пикнометров был равен 10—12 мл. В качестве жидкости применялся
этиловый спирт.

Во избежание застревания газа в порах порошка пикнометр наполнялся спиртом
в высоком вакууме в специально собранной установке (рис. 3).

Колба A ($d = 4$ см, $h = 6$ см), где помещается пикнометр, соединена с трубкой
посредством шлифа S . Трубка B ($d = 2,5-3$ см), заостренная на одном конце, входящая
в колбу A , снабжена стеклянным фильтром D и переходит на противоположном кон-

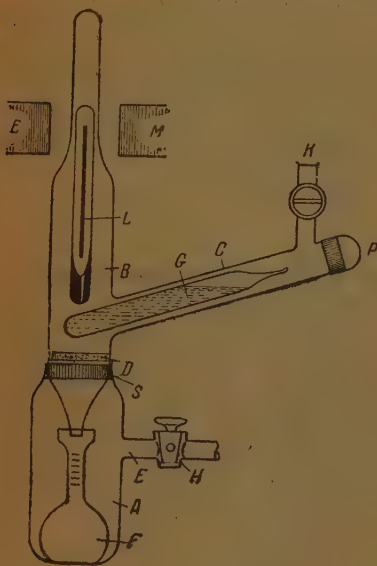


Рис. 3

достаточном охлаждении возможно вскипание спирта и разбрасывание навески.
Спирт, медленно протекая через стеклянный фильтр и заострение трубки B , наполнял
пикнометр. Затем очень медленным и осторожным открыванием крана K выпускали
в систему воздух, удаляли печь, снимали колбу A , вынимали пикнометр и
закрывали его пробкой и переносили в двойной термостат.

Для наполнения пикнометров мы применяли этиловый спирт, хорошо смачива-
ющий порошок окиси хрома.

Употребляемый для наполнения пикнометров этиловый спирт предварительно об-
рабатывался над безводным медным купоросом, затем, после 6-часового кипячения
водяной бани с обратным холодильником со щелочью или негашеной известью, пере-
нался над металлическим кальцием.

Ампулки наши были наполнены тщательно обезгаженным спиртом.

Наполненные спиртом пикнометры ставились в двойной термостат с постоянной
температурой в 20°C ($\pm 0,02$). Температура измерялась проверенным термометром

итыми делениями. Спирт в пикнометре доводился до метки в термостате, после чего пикнометр сейчас же переносился на весы, где взвешивание производилось по методу орда. Каждое определение повторялось два раза. После взвешивания спирт из пикнометра удалялся медленным выпариванием, и вновь определялся вес окиси хрома, для проверки.

Как известно из литературных данных, удельный вес Cr_2O_3 весьма значительно падает с температурой нагревания.

Полученные нами значения удельных весов и содержание воды в дегидрированном препарате после двухчасового прокаливания при указанных температурах приводятся в табл. 2.

Таблица 2

Темп-ра прогрева, °C	Уд. вес	Содержа- ние влаги, %	Примечание
250	2,69	34,85	Продолжительность прокаливания при каждой температуре — 2 часа. После прокаливания определялись уд. вес и содержание влаги в % от первоначального веса всей навески
600	4,88	1,07	
800	4,93	0,36	
1000	5,10	0,22	
1050	5,11	следы	Продолжительность прокаливания — 12 час.
1200	5,21	следы	

В специальных опытах выяснилось количество влаги, отдаваемое окисью хрома в точке перехода. Как было указано, основная масса воды дается значительно ниже точки перехода, например при 400° C, при делении в высоком вакууме, тогда как в процессе перехода около 00° C теряется 1—1,5% влаги. Так, в одном из подобных опытов получены следующие характерные данные:

При нагреве	Отдано влаги
от комнатной до 588°	24,04%
от 588 до 595°	1,04%
от 595 (начало) до 680° (конец пер- хода)	0,98%

Очень важно, что удаление следов влаги и особенно достижение удельного веса, близкого к теоретическому, происходит с большим трудом. И лишь после 2-часового прокаливания при 1000° C был получен препарат удельным весом 5,10, содержащий все же 0,22% влаги, а для получения препарата с удельным весом 5,21 потребовалось 12-часовое прокаливание при 1200° C. Более или менее полное устранение дефектов кристалла окиси хрома достигается, таким образом, при абсолютной температуре $T_f \approx 1600^\circ \text{K}$, тогда как абсолютная температура плавления окиси хрома $T_{\text{пл}} = 2263^\circ \text{K}$. Отсюда $I_T = \frac{T_{\text{пл}}}{T_f} = 1,41$.

Выводы

1. Реакция образования гидрата окиси хрома путем осаждения аммиком из раствора $\text{Cr}(\text{NO}_3)_3$ в воде принадлежит (см. [1; 11]) к типу G III 1. В этих процессах образуется препарат с большим количеством микродефектов. Процесс глубокой рекристаллизации с потерей влаги принадлежит к типу G IV 1 и, как правило, может протекать при весьма низких температурах. Практически, окись хрома образуется уже при 200—250° C $\approx 500^\circ \text{K}$. Между 500 и 700° K происходит отдача основной массы воды таким образом при абсолютной температуре 20—30% от $T_{\text{пл}}$ происходит образование почти всего вещества Cr_2O_3 , собранного, как это следует из дебаеграмм, в кристаллы размером 10^{-6} см и притом, судя по удельным весам и методу получения, с большим количеством микродефектов, де-

лающих «размеры» кристаллов весьма условными. Дальнейший прогрев до $850-900^\circ \text{K}$, т. е. 40% от $T_{\text{пл}}$, ведет к спонтанному переходу в более плотное состояние с увеличением удельного веса от $\sigma_{\text{пикн}} = 3,5-4,0$ до $\sigma = 4,8-4,9$.

2. Исследован процесс перехода $[\text{Cr}_2\text{O}_3] \rightarrow [\text{Cr}_2\text{O}_3]$ в высоком вакууме и в разных газах. Показано, что состав газовой фазы может весьма значительно смещать начало температуры саморазогрева (активного перехода) в пределах $380-630^\circ \text{C}$.

3. Показано, что в условиях эксперимента потеря влаги происходит в основном до точки перехода. Во время же саморазогрева и перестройки структуры препарат теряет всего $1-1,5\%$ влаги.

Таким образом, наблюденный Микстером [8] факт, что саморазогрев может не иметь места, если препарат предварительно длительно выдерживался при температуре, не достаточной для наступления саморазогрева (например, 400°C), повидимому, зависит не столько от наличия влаги, как предполагал Микстер, сколько от того, что, как мы указывали уже, при $250-300^\circ \text{C}$ становится возможной глубокая рекристаллизация окиси хрома и после 72-часового проведения этой реакции наиболее активные центры как раз прореагируют, а оставшиеся будут лишь медленно участвовать в этом же процессе.

Последние следы влаги удаляются из препарата Cr_2O_3 лишь после многочасового прокаливания при температурах около 1200°C , причем удельный вес препарата (5,22) приближается к определенному рентгенографически (5,23).

Физико-химический институт
им. Карпова
Москва

Поступила
17.XII.1945

ЛИТЕРАТУРА

1. Б. Ф. Ормонт, Усп. физ. наук **16**, 1001, 1936.
2. См. [7] и приведенную там литературу.
3. Le Chatelier, Bull. Soc. Ch. Fr. **47**, 303, 1887.
4. Endella. Ricke, Zbl. f. Miner., 246, 1914.
5. Chaudron et Forestier, C. R. **179**, 763, 1924.
6. L. Blanc, Bull. Soc. Ch. Fr. (4) **39**, 718; Zbl. **11**, 551, 1926.
7. L. Wöhler, Koll. Z., **38**, 97, 1926 (см. особенно стр. 103 и 110).
8. Mixter, Z. anorg. Ch. **92**, 363, 1915.
9. L. Wöhler u. M. Rabinowitsch, Koll. Z. **38**, 97, 111, 1926.
10. Zachariasen, SB., Bd. II, S. 310.
11. Б. Ормонт, Журн. физ. хим. (печат.).
12. Б. Ормонт, Журн. физ. хим. (печат.).

ПЕРЕНАПРЯЖЕНИЕ ВОДОРОДА НА СВИНЦОВОМ ЭЛЕКТРОДЕ И СТАЦИОНАРНЫЙ ПОТЕНЦИАЛ РАСТВОРЕНИЯ СВИНЦА В СЕРНОЙ КИСЛОТЕ

Я. Колотыркин и Н. Бунэ

Изучению перенапряжения водорода на свинцовых электродах в последние годы уделялось значительное внимание. Работами Э. Иофа и А. Кабанова [1, 2] было установлено, что на очень чистом свинце перенапряжение имеет более высокое значение, чем на других металлах, в частности, на ртути. Величина перенапряжения существенно зависит от чистоты свинца, из которого готовятся электроды. Наличие в свинце посторонних примесей заметно снижает величину перенапряжения. Те же авторы, работая с гладкими свинцовыми электродами, установили, что перенапряжение в значительном интервале плотностей тока (от 10^{-2} до $5 \cdot 10^{-7}$ А/см²) подчиняется зависимости, установленной Тафелем. Наклон полученных при этом прямых $\eta - \lg i$ равен 0,120. Минимальное значение перенапряжения, до которого им удалось довести свои измерения, равнялось $\sim 0,75$ В. Ниже этого значения измерения на гладком свинцовом электроде не были проведены.

Колотыркин и Фрумкин [3], работая с губчатым свинцовым электродом, произвели измерения для более низких плотностей тока (от 10^{-6} до $7 \cdot 10^{-10}$ А/см² в пересчете на истинную поверхность). В этой работе перенапряжение было измерено в интервале от 0,8 до 0,36 В, т. е. до стационарного потенциала свинца в серной кислоте. Соответствующая сила тока измерялась не обычным способом, а измерением объема выделявшегося водорода. Установлено, что и в этом интервале плотностей тока и перенапряжений соблюдается уравнение Тафеля.

Данные, полученные на гладком и губчатом свинцовых электродах, несколько отличаются друг от друга: кривая перенапряжения, полученная Кабановым и Иофа и экстраполированная на более низкие плотности тока, не совсем совпадала с кривой, полученной Колотыркиным и Фрумкиным; последняя на ~ 80 мВ лежала ниже первой.

До последнего времени предполагалось, что это несовпадение кривых связано только различием в чистоте свинца. Несовпадение интервалов плотностей тока, в которых производились измерения с губчатым и гладким свинцовыми электродами, затрудняло сравнение полученных данных. Сделались попытки произвести измерения на одном из этих электродов во всем интервале плотностей поляризующего тока. Однако возможность измерения перенапряжения на губчатом свинцовом электроде при более высоких плотностях тока ограничивалась трудностью пропускания токов большей силы и возможностью омических падений в порах губчатого электрода при высоких плотностях тока. Попытки измерить перенапряжение на гладком свинцовом электроде при плотностях тока $< 5 \cdot 10^{-7}$ также неизменно кончались неудачей. Ниже этой плотности тока кривая перенапряжения имела ненормально крутой спад. Наличие последнего объясняли деполяризующим действием следов кислорода в растворе электролита. Однако принципиальная возможность таких измерений не ставилась под сомнение.

С другой стороны, примененная в работе Колотыркина и Фрумкина методика определения той части плотности тока, которая идет на непо-

средственное выделение водорода, измерением объема выделившегося газа показала значительное расхождение между кривой, снятой таким образом, и кривой, снятой по току. В то время как кривая, снятая методом этих авторов, имела прямолинейный ход почти до стационарного потенциала свинца в изучаемом растворе H_2SO_4 , кривая, снятая по току, как и в случае гладкого свинца, быстро спадала в области малых плотностей тока. Варьируя количество кислорода в измерительной ячейке, авторы показали, что этот спад объясняется деполяризующим действием последнего. До настоящего времени природа этих спадов на гладком и губчатом электродах считалась идентичной.

Экспериментальные результаты и их обсуждение

Мы поставили перед собой экспериментальную задачу, максимально исключив действие деполяризатора, снять кривую перенапряжения на гладком свинцовом электроде во всем указанном выше интервале плотностей тока. Методика измерений потенциалов была такой же, как и в предыдущей работе [4, 5]: для каждой данной плотности тока регистрировался только устойчивый, стационарный потенциал. В этой части методика наших измерений отличалась от соответствующих измерений Кабанова и Иофа, работавших с гладким свинцом.

Считая, что единственным эффективным путем попадания кислорода (единственный возможный деполяризатор) в измерительную ячейку является присутствие его в водороде, который барботировался через

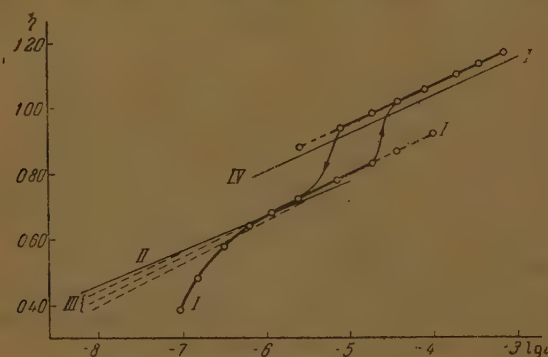


Рис. 1

I — кривая, полученная автором (стрелки показывают направление измерений); *II* — стационарная кривая перенапряжения, полученная на губчатом электроде и рассчитанная на истинную поверхность; *III* — кривые перенапряжения на том же губчатом электроде, полученные быстрыми измерениями; *IV* — перенапряжение на гладком свинцовом электроде по данным Кабанова и Иофа

раствор, мы, дополнительно к принятой ранее системе очистки, поставили еще одну печь по пути прохождения водорода, наполненную платиной и имеющую температуру $\sim 400^\circ C$.

Полученные результаты приведены на рис. 1 (кривая *I*). Там же для сравнения приведены данные, полученные ранее для губчатого свинцового электрода (кривые *II* и *III*), а также данные для гладкого свинца, полученные Кабановым и Иофа (кривая *IV*). Необходимо, однако, иметь в виду, что приведенная здесь кривая *II* (перенапряжение на губчатом свинце) лежит несколько ниже кривой, полученной в таких же условиях Колотыркиным и Фрумкиным [3].

Как видно из приведенных данных, основная сущность полученных нами результатов сводится к тому, что в таком широком интервале плотностей поляризующего тока, в котором были проведены наши измерения

зисимость между перенапряжением и плотностью поляризующего тока оказалась более сложной, чем ее представляли до сих пор. Эта зависимость может быть во всем интервале плотностей тока описана уравнением Фелья с одним значением коэффициентов. Имеются две различные части перенапряжений и плотностей тока, для каждой из которых справедлива зависимость, установленная Тафельем, однако с различным значением коэффициентов. Для высоких поляризаций ($>10^{-5}$ А/см²) поднимается уравнение

$$\eta = 1,560 + 0,12 \lg i, \quad (1)$$

а низких поляризаций имеет место уравнение

$$\eta = 1,400 + 0,12 \lg i. \quad (2)$$

Разница между верхней и нижней кривыми, отвечающими, соответственно, приведенным уравнениям, составляет около 160 мВ. Переход от верхней кривой к нижней происходит при плотности тока $\sim 4 \cdot 10^{-6}$ см², что соответствует перенапряжению $\sim 0,9$ В; обратный переход происходит при плотности тока $\sim 2 \cdot 10^{-6}$ А/см² или $\sim 0,85$ В.

Как видно из чертежа, кривая перенапряжения, соответствующая высоким поляризациям, лежит выше кривой, полученной Иофа и Кабановым, но имеет тот же ход и наклон, как и в работе указанных авторов. Разница в величине перенапряжения + 30 мВ должна быть, вероятно, внесена за счет условий эксперимента (чистота свинца, очистка раствора пр.).

Из сравнения этих данных с результатами, полученными в свое время губчатых электродах и приведенными на чертеже в виде кривых II, III, получаются интересные выводы. Из этого сравнения следует, что данные по перенапряжению, полученные на губчатом свинце, соответствуют нижней ветви нашей кривой, описываемой уравнением (1). Некоторое расхождение в наклонах нижней ветви и кривой II может быть внесено за счет недостаточной стационарности измерений на гладком электроде. Имевшиеся до сих пор сравнения данных, полученных на губчатом свинце, с данными Кабанова и Иофа для гладкого электрода оправданы, так как они относятся к различным областям плотностей тока. Из этого следует, что быстрое спадание перенапряжения, наблюдаемое на нижней ветви при очень малых плотностях тока, имеет, вероятно, ту же самую природу, что и на губчатом свинце, и, как показано одной из первых работ, объясняется деполяризующим действием кислорода. Спад, который наблюдали в своих работах Иофа и Кабанов и который они относили за счет деполяризующего действия кислорода, имеет иную природу; он соответствует наблюдаемому нами переходу от одной ветви кривой к другой.

Тот факт, что Кабанов и Иофа удалось проследить верхнюю кривую вплоть до плотностей тока $5 \cdot 10^{-7}$ А/см², в то время как в наших исследованиях переход с верхней кривой на нижнюю осуществляется при токе 10^{-6} А/см², объясняется особенностью применявшейся ими методики.

Кинетика происходящих в системе изменений, обуславливающих переход от одной кривой на другую, довольно медленная. Согласно опытам, требуется около 10 часов, чтобы этот переход совершился.

Нами показано, что при сравнительно больших скоростях измерения верхняя кривая может быть прослежена до плотностей тока, значительно меньших, а нижняя до плотностей тока, значительно больших тех, при которых совершаются переходы при длительном выдерживании при каждом значении плотности тока. Эти результаты показаны в виде пунктирных продолжений обеих кривых. Вероятно, в опытах Кабанова и Иофа быстрота измерений была достаточной, чтобы в некотором интервале плотностей тока не замечать этих изменений в системе.

Несомненно, наличие двух существенно различных областей пере-

напряжения, выраженных различными кривыми Тафеля, — это результат наличия двух физически различных состояний поверхности электродов.

Наличие двух областей перенапряжения и плотностей тока, для каждого из которых справедлива зависимость Тафеля, с отличными константами в соответствующем уравнении, наблюдалась и ранее. Впервые подобное явление было описано Боуденом [6]. Этот автор наблюдал на ртути катоде в кислых растворах резкий изгиб $\eta - \lg i$ -кривой при 0,7—0,8 перенапряжения. При перенапряжениях, лежащих ниже этого значения кривая имела наклон 0,12 и выше этого значения — 0,24. Позднее Сэнд [7] попытался теоретически обосновать этот результат Боудена.

Левина и Заринский [8], детально исследовавшие перенапряжение водорода на ртути в кислых растворах, показали, что изменение в ходе $\eta - \lg i$ -кривой, наблюдаемое Боуденом, обязано присутствию в электролите загрязнений, которые, адсорбируясь на поверхности электродов, меняют ход кривой перенапряжения. При недостаточной очистке растворов или заведомом введении следов некоторых органических веществ авторы воспроизвели данные Боудена, а также получили кривые, похожие на полученные нами на свинце: как и в нашем случае, были наблюдаемы две области, в которых перенапряжение различалось не величиной наклона (b), а абсолютным значением (a).

В дальнейшем это явление наблюдали Иофа и Кабанов с сотр. [9] при изучении перенапряжения на ртути в присутствии поверхностно-активных электролитов. Эти авторы установили наличие значительной гистерезисной петли между прямым и обратным измерением при потенциале перехода между одной областью и другой. Ширина петли существенно зависела от скорости измерения. Было замечено, что изменение, происходящее в области гистерезисной петли, довольно медленное. Особенно заметные эффекты наблюдались в растворе KJ и совершенно не обнаружены в растворе Na_2SO_4 .

Авторы объяснили это явление адсорбцией анионов на электроде, которая происходит в области гистерезисной петли при уменьшении катодной поляризации, и десорбцией их при измерении в обратном направлении.

Полученные нами результаты не могут быть объяснены адсорбцией посторонних веществ на поверхности электрода: тщательность, с которой велись наши опыты, исключала попадание их в измерительную ячейку.

Кроме того эффекты, вызываемые следами посторонних веществ на губчатом и гладком свинцовых электродах, из-за разницы в величине их поверхности должны существенно различаться. Совпадение нижних ветви нашей кривой с кривой перенапряжения на губчатом свинце исключает наличие этой адсорбции.

Обнаруженные нами эффекты вряд ли могут быть также объяснены специфической адсорбцией иона SO_4^{2-} , принимая во внимание малую капиллярную активность этого аниона.

Наиболее рациональным объяснением физической сущности происходящих на электроде изменений является, по нашему мнению, появление на поверхности электрода адсорбированного кислорода в области потенциалов, где совершается переход от верхней кривой к нижней и удалению его при обратном переходе.

К такому допущению один из нас пришел ранее на основании наблюдений над наклоном кривых $\eta - \lg i$, снятых в различных условиях на губчатом свинцовом электроде. Однако в этом случае переход от более высоких к менее высоким плотностям тока приводит в первый момент к снижению перенапряжения, которое лишь течением времени поднималось до стационарного значения. Иначе говоря, изменение перенапряжения происходило в направлении, противоположном тому, которое мы наблюдали при более высоких плотностях тока в этой работе. Таким образом, если обе группы явлений определяются влиянием адсорбированного

водорода на перенапряжение в медленностью установления его стационарной концентрации, зависящей от величин перенапряжения, то зависимость перенапряжения от количества кислорода на поверхности должна иметь сложный характер; малые количества его должны снижать, а большие повышать перенапряжение.

О характере изменения адсорбированного кислородного слоя с потенциалом нельзя сказать что-либо достаточно определенное на основании имеющегося экспериментального материала. Заметим только, что изменения, которыми сопровождается переход от одной плотности тока к другой вдоль нижней кривой, в отличие от изменений, обуславливающих переход между кривыми, не являются скачкообразными.

Особый интерес представляет поведение свинцового электрода в серной кислоте вблизи стационарного потенциала. Этот вопрос уже разбирался подробно в работе Фрумкина [10] и в цитированной работе Колотыркина и Фрумкина [3]. Мы поставили своей целью в более совершенных экспериментальных условиях еще раз проверить, в какой мере процессы, происходящие непосредственно к свинцу (растворение и осаждение его ионов), сказываются на кинетике выделения водорода. Улучшение нашей методики в сравнении с предыдущей работой сводилось к тому, что все измерения велись в атмосфере водорода. Таким образом, деполяризующее действие кислорода было исключено. При этих условиях несовпадение двух кривыми, снятыми по току и по газу, могло вызываться лишь растворением электрода или осаждением ионов свинца. Измерения велись в губчатом электроде, выбранном из-за меньшей его чувствительности действию деполяризаторов.

Полученные результаты отражены графически на рис. 2. Пунктиром значена величина стационарного потенциала. Катодные процессы изображены в виде кривых $\eta - \lg i$ выше этой линии, анодные — ниже.

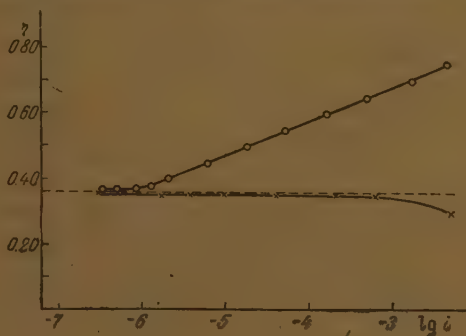


Рис. 2

ные, полученные нами, показывают, что в катодной области зависимость Тафеля между потенциалом и током сохраняется вплоть до достижения стационарного потенциала. Кривые, снятые в прямом и обратном направлении, как и кривые, снятые по току и по газу, практически совпадают между собой. После того как был достигнут стационарный потенциал, дальнейшее изменение тока не вызывало сдвига потенциала. В анодной части в значительном интервале плотностей тока потенциал практически не зависит от поляризации. Как видно из чертежа, увеличение поляризующего тока приблизительно в 1000 раз не сдвигает потенциал от его стационарного значения. Сдвиг при плотностях тока $> 2 \cdot 10^{-3}$ А/см² может иметь своей причиной омическое падение в порах свинцовой губки.

В общем случае, на неблагородном металле в кислоте, вблизи от стационарного потенциала и при условии, что последний лежит достаточно

отрицательнее обратимого водородного, возможны три электрохимических процесса: ионизация атомов металла (F_1), разряд ионов металла (F_2) и разряд ионов водорода (F_3). Ток, проходящий через систему, будет выражать суммарную скорость процесса

$$i = F_3 - (F_1 - F_2), \quad (3)$$

где $(F_1 - F_2)$ — эффективная скорость растворения металла.

Из этих трех величин F_1 и F_3 зависят от потенциала, а F_2 зависит также и от концентрации ионов металла в растворе. Эффективная скорость растворения металла также будет функцией этих двух величин. Из уравнения (3) следует, что ход кривой $\eta - \lg i$ зависит от значения величины $F_1 - F_2$. Если скорость растворения металла сравнима со скоростью разряда ионов водорода, то кривая $\eta - \lg i$ теряет свою прямолинейность, асимптотически приближаясь к горизонтальной прямой, соответствующей стационарному потенциалу. Этого, однако, не будет происходить, пока скорость растворения мала по сравнению со скоростью разряда ионов водорода.

Для свинцового электрода известно, что истинные скорости ионизации его атомов (F_1) и осаждение ионов (F_2) велики по сравнению со скоростью разряда ионов водорода (F_3). Благодаря последнему обстоятельству у поверхности электрода всегда устанавливается равновесная концентрация ионов металла, соответствующая заданному потенциалу. В этих условиях эффективная скорость растворения или осаждения электродного металла определяется скоростью диффузии его ионов и, следовательно, градиентом их концентрации между поверхностью электрода и объемом электролита. Знак последней зависит от направления изменения поляризации электрода.

Особенность исследованной нами системы (свинцовый электрод в серной кислоте) состоит в том, что ее стационарный потенциал определяется появлением твердого осадка $PbSO_4$ на самой поверхности электрода. Из-за малой растворимости $PbSO_4$ количество его ионов в растворе при потенциалах, близких к стационарному, будет незначительным. При изменении поляризации во всем объеме быстро устанавливаются новые равновесные значения концентрации ионов, и ток диффузии, определяющий величину $(F_1 - F_2)$, сходит к нулю или, во всяком случае, делается очень малым по сравнению с величиной F_3 . Таким образом, ход кривой $\eta - \lg i$ практически почти вплоть до самого стационарного потенциала оказывается ненарушенным. Это в одинаковой степени относится как к прямому, так и к обратному ходу этой кривой.

Если разница концентраций между объемом и поверхностью будет значительна, как это может быть осуществлено на свинцовом электроде в кислоте, дающей хорошо растворимую свинцовую соль, то эффективные скорости растворения и осаждения электродного металла будут сравнимы с величиной пропускаемого тока. Прямой и обратный ход кривой $\eta - \lg i$ дадут гистерезисную петлю, исчезающую при опытах с ограниченным объемом электролита при настолько длительной поляризации, заданной плотностью тока, чтобы новая равновесная концентрация успела установиться во всем объеме. Эти рассуждения остаются правильными до тех пор, пока в растворе нет твердого осадка $PbSO_4$. При наличии твердой фазы сернокислого свинца эффективные скорости растворения и осаждения свинца уже не будут ограничиваться общим запасом ионов свинца в растворе. Процесс растворения может идти неопределенно долго, а процесс осаждения — до исчезновения запаса $PbSO_4$. Максимальная скорость их определяется скоростью кристаллизации или растворения $PbSO_4$, так как самый процесс диффузии при малости расстояния между кристаллами $PbSO_4$ и поверхностью электрода должен быть достаточным.

Наши исследования показали, что до тех пор, пока на поверхность

электрода имеется твердая фаза сернистого свинца, применение даже значительных поляризующих токов не может очень заметно сдвинуть потенциал в катодную или анодную сторону от его стационарной величины. Это обстоятельство указывает на то, что скорости кристаллизации и растворения $PbSO_4$ очень велики.

Однако, как видно из графика рис. 2, анодная кривая и катодная, в той же части, где она делается параллельной оси абсцисс, не совпадают ни со значением стационарного потенциала, асимптотически приближаться к нему с уменьшением плотности поляризующего тока. Последнее обстоятельство указывает на то, что эти скорости не бесконечно велики. Той же причине значение стационарного потенциала растворения свинца не соответствует точно обратимому потенциалу растворения свинца в растворе, находящемуся в равновесии с твердым $PbSO_4$, а несколько смещено в анодную сторону, как это было разобрано Б. Кабановым [11].

В заключение авторы выражают благодарность акад. А. Н. Фрумкину за ценные советы, способствовавшие успешному выполнению данной работы.

Выводы

1. Показано, что на свинцовом электроде в серной кислоте в широком интервале поляризаций имеются две различных области перенапряжений плотностей тока, для каждой из которых справедлива тафелевская зависимость. Переход от одной области к другой совершается при напряжении 0,85—0,90 V. Разница между ними составляет 0,160 V. Для объяснения этого явления сделано допущение о наличии на поверхности свинца при низших поляризациях адсорбированного слоя кислорода, который удаляется при потенциале указанного перехода.

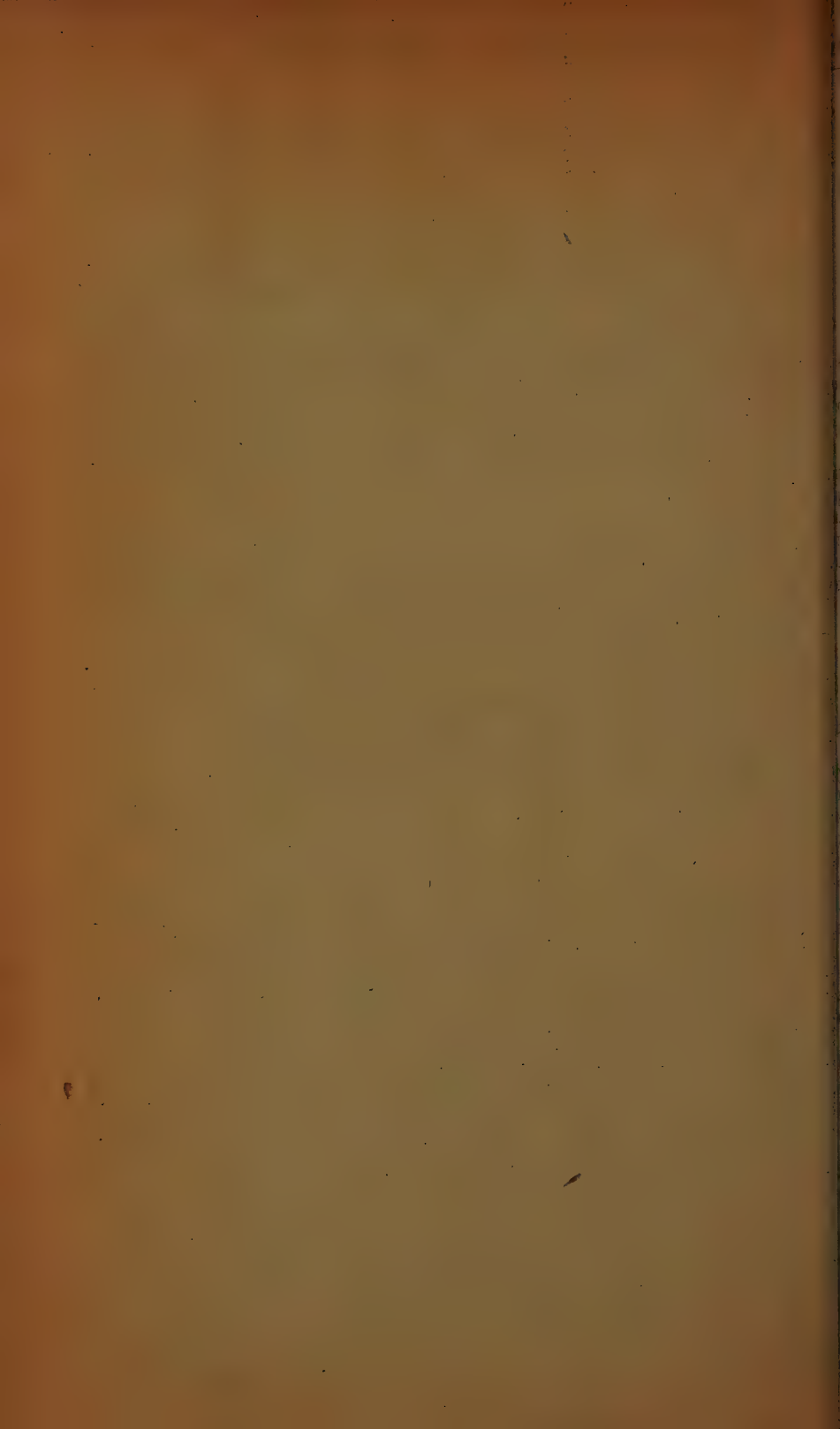
2. Благодаря незначительной концентрации ионов свинца в растворе вплоть до достижения стационарного потенциала, процессы растворения и осаждения свинца не сказываются на ходе кривой $\eta - \lg i$.

Физико-химический институт
им. Карпова
Москва

Поступила
23.V.1946

ЛИТЕРАТУРА

- Б. Кабанов, С. Филиппов, Л. Ванюкова, З. Иофан А. Прокофьева, Журн. физ. хим. **13**, 341, 1939.
В. Кабанов и S. Joffa, Acta physicochimica URSS **10**, 617, 1939.
Я. Колотыркин и А. Фрумкин, Журн. физ. хим. **15**, 346, 1941.
Я. Колотыркин и А. Фрумкин, Докл. АН СССР **33**, 446, 1941; **33**, 561, 1941.
Я. Колотыркин, Журн. физ. хим. **20**, 667, 1946.
F. Bowden, Trans. Farad. Soc. **24**, 473, 1928.
G. Sand, Trans. Farad. Soc. **26**, 19, 1930.
Заринский и Левина, Труды II Всесоюзной конференции по коррозии металлов **1**, стр. 5, АН СССР, 1937.
З. Иофа, Б. Кабанов, Е. Кучинский и Ф. Чистяков, Журн. физ. хим. **18**, 1105, 1939.
А. Фрумкин, Труды II Всесоюзной конференции по коррозии металлов **1**, стр. 5, АН СССР, 1937.
Б. Кабанов, Докл. АН СССР **31**, 582, 1941.

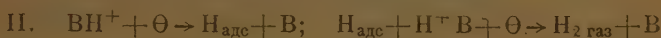


К ТЕОРИИ ВОДОРОДНОГО ПЕРЕНАПРЯЖЕНИЯ

П. Д. Луковцев

В современных теориях перенапряжения принимается, что реакция электролитического выделения и растворения водорода в своем течении проходит в основном два этапа. Первый этап — разряд брэнстедтовской кислоты [1], второй этап — десорбция образовавшегося на первом этапе адсорбированного водорода.

Адсорбированный на электроде водород может перейти в газовую фазу двумя путями: или вследствие рекомбинации двух соседних адсорбированных атомов (каталитическая десорбция) или вследствие разряда кислоты на адсорбированном атоме с образованием молекулы водорода (электрохимическая десорбция). В соответствии с этим были сформулированы два пути протекания процесса электрохимического выделения водорода, которые можно изобразить следующими схемами:



Первый путь был назван каталитическим, второй — электрохимическим.

Если не разбирать подробно механизм протекания отдельных реакций, идущих по этим путям, то можно следующим образом охарактеризовать существующие теории перенапряжения. В этих теориях обычно принимается, что процесс протекает по какому-либо одному из путей I или II, но многих теориях считалось, что скорость одной из стадий на данном электроде значительно меньше, чем скорость другой. Например, простейшие теории Тафеля [2], Гейровского [3], Боудена [4] и Фольмера [5] считали, что только одна, самая медленная стадия определяет скорость всего процесса.

Однако ни одна из этих простейших теорий не могла объяснить всей совокупности экспериментальных данных по перенапряжению. Так, теория Тафеля не может объяснить такого важного экспериментального факта, как зависимость перенапряжения от состава раствора.

Теория Фольмера, развитая в дальнейшем Фрумкин [6], получила подтверждение для таких металлов, как ртуть [7] и свинец [8]. Но эта теория встречает затруднение в объяснении такого факта, как накопление адсорбированного водорода на некоторых металлах (Fe, Ni, Pt, Pd и др.) при электролизе.

Объединение теорий Фольмера и Тафеля дало возможность Гаммету [9] объяснить поведение платинового электрода при потенциалах, мало отличающихся от потенциала обратимого водородного электрода.

Фрумкин [10], приняв для металлов, хорошо адсорбирующих водород, электрохимический путь, показал, что поверхностная концентрация водорода на катоде при достаточно высоких катодных поляризациях такова, что и разряд и электрохимическая десорбция идут со сравнимыми скоростями.

Как показали Долли и Эршлер [11], схема Фрумкина объясняет поведение Pt-электрода в кислых растворах, если учесть неоднородность поверхности платины.

В настоящей работе делается попытка вывода более общего уравнения для перенапряжения, причем не отдается предпочтение тому или иному пути протекания процесса и не предполагается заранее большое различие в скоростях течения реакции на отдельных стадиях.

Подобное предположение, вероятнее всего, будет справедливо для металлов со сложной структурой поверхности, на которых может быть осуществлен обратимый водородный электрод. А если учесть неоднородность поверхности, то это предположение окажется еще более правдоподобным, так как будет большая вероятность протекания реакции по двум путям на различных участках поверхности. На участках с большой теплотой адсорбции, согласно Поляни и Гориуги [12], разряд должен идти быстро, а десорбция медленно, а на участках с малой теплотой адсорбции — разряд медленно, а десорбция быстро. В этом случае течение реакции по двум путям со сравнимыми скоростями можно представить следующим образом. Ион водорода разряжается на участках благоприятных для разряда; образовавшийся адсорбированный атом движется на поверхности со скоростью, большей скорости всего процесса и достигает участка, благоприятного для десорбции. В зависимости от рода участка произойдет или электрохимическая, или каталитическая десорбция. Таким образом, мысленно передвигаясь по неоднородной поверхности и рассматривая отдельно каждый ее участок, будем встречать участки поверхности, на которых осуществляется тот или иной простой механизм течения реакции, в котором только одна стадия определяет скорость процесса.

Совершенно очевидно, что подобный механизм не может осуществляться во всем интервале изменения параметров, влияющих на скорость реакции (природа металла, плотность тока, состав электролита и т. п.). Для неоднородной поверхности этот интервал будет очень узок; что же касается неоднородной поверхности, то область применения подобного механизма будет зависеть от характера неоднородности поверхности.

Рассмотрим сначала в самом общем виде соотношения, существующие между током и скоростями реакций на отдельных стадиях.

Окамото, Гориуги и Хирота [13] показали, что

$$i_k = F(\vec{V} - \vec{V}), \quad i_a = F(\vec{V} - \vec{V}), \quad (1)$$

где i_k — катодный ток; i_a — анодный ток; \vec{V} и \vec{V} — скорости обмена водорода между раствором и газовой фазой, соответственно, в прямом и обратном направлении.

Скорости обмена могут быть экспериментально измерены с помощью изотопов водорода. Введем обозначения: $\vec{i} = F \cdot \vec{V}$ и $\overleftarrow{i} = F \cdot \vec{V}$, и будем называть \vec{i} и \overleftarrow{i} токами обмена.

При равновесии

$$i_k = 0, \quad i_a = 0, \quad \vec{i} = \overleftarrow{i} = i_0.$$

Уравнение (1) можно написать следующим образом

$$i_k = \overleftarrow{i} \left(\frac{\vec{i}}{\overleftarrow{i}} - 1 \right), \quad i_a = \overleftarrow{i} \left(1 - \frac{\vec{i}}{\overleftarrow{i}} \right). \quad (2)$$

Гориуги и Юкасиа [14] на основании соображений общего характера показали, что

$$\frac{\vec{i}}{\overleftarrow{i}} = e^{\frac{\lambda \eta F}{RT}}, \quad (3)$$

где λ — число протонов, принимающих участие в образовании активного комплекса, причем

$$1 \leq \lambda \leq 2.$$

Из уравнений (2) и (3) следует

$$i_k = \overleftarrow{i} \left(e^{\frac{\lambda \eta F}{RT}} - 1 \right), \quad i_a = \overleftarrow{i} \left(1 - e^{\frac{\lambda \eta F}{RT}} \right) \quad (4)$$

при малых поляризациях $e^{\frac{\lambda \eta F}{RT}}$ можно разложить в ряд и ограничиться только первыми двумя членами разложения. Принимая, что \overleftarrow{i} мало отличается от i_0 , получим из уравнения (4) для малых поляризаций

$$i_k = \frac{\lambda F}{RT} \cdot i_0 \cdot \eta, \quad i_a = -\frac{\lambda F}{RT} \cdot i_0 \cdot \eta. \quad (5)$$

при достаточно больших катодных и анодных поляризациях вследствие того, что $\frac{\overrightarrow{i}}{\overleftarrow{i}} \gg 1$, уравнение (1) примет вид

$$i_k = \overrightarrow{i}, \quad i_a = \overleftarrow{i}, \quad (6)$$

т. е. катодный и анодный токи, в первом приближении, будут равны токам обмена.

Уравнения (1), (2), (4), (5), (6) — самые общие и справедливые для любого механизма перенапряжения.

Пусть A — скорость разряда брэнстедтовской кислоты с образованием адсорбированного атома водорода, C — скорость обратной реакции, — скорость электрохимической десорбции, D — скорость обратной реакции, E — скорость каталитической десорбции, F — скорость обратной реакции. Принимаем, что скорости протекания таких процессов, как диффузия ионов к электроду, поверхностная диффузия атомов, десорбция молекулярного водорода и т. п., значительно больше скоростей указанных выше реакций. Для процесса электролитического выделения растворения водорода, протекающего по двум путям, со сравнимыми скоростями на всех стадиях, скорость перехода водорода из раствора газовую фазу равна

$$\overrightarrow{V} = A \frac{B + 2E}{B + C + 2E} + B, \quad (7)$$

где величина $\frac{B + 2E}{B + C + 2E}$ дает вероятность того, что адсорбированный водород, полученный в результате реакции A , попадает в газовую фазу, а не обратно в раствор.

Скорость перехода водорода из газовой фазы в раствор

$$\overleftarrow{V} = (2F + D) \frac{C}{B + C + 2E} + D, \quad (8)$$

где $\frac{C}{B + C + 2E}$ — вероятность того, что адсорбированный водород, участвующий в результате реакций F и D , попадает в раствор, а не обратно газовую фазу.*

При равновесии

$$A = C, \quad B = D \text{ и } E = F \quad (9)$$

* В уравнениях (7) и (8) перед скоростями E и F потому стоит 2, что в течение каждого акта реакции переносится 2 атома водорода.

и в стационарном состоянии, когда количество водорода, адсорбированного на поверхности электрода, постоянно,

$$A - B - C + D - 2E + 2F = 0. \quad (10)$$

Так как величины скоростей реакций зависят от природы и потенциала электрода, состава электролита и газовой фазы, температуры и других параметров, то, подставляя в уравнения (7), (8) и (10) соответствующие значения для скоростей реакций из уравнений (4) и (5), получим уравнения для перенапряжения, определяющие величины катодного и анодного токов в зависимости от потенциала, состава электролита и т. п.

Прежде чем перейти к конкретному вычислению этой зависимости рассмотрим, какой вид примут уравнения (7), (8) и (10) в отдельных частных случаях, а также при больших катодных и анодных поляризациях. Легко показать, что все частные случаи могут быть сведены в принципе к шести схемам, причем последние охватывают все до сих пор предложенные теории перенапряжения.

В табл. 1 даны выражения для скоростей обмена между раствором и газовой фазой в прямом (\vec{V}) и в обратном (\bar{V}) направлениях, а также условия стационарности количества водорода на поверхности для различных механизмов перенапряжения.

Таблица 1

Схема	Соотношение скоростей	Скорость \vec{V} обмена	Скорость \bar{V} обмена	Условия стационарности	Автор
I	$AC \gg BDEF$	$2(B + E)$	$2(D + F)$	$A - C = 0$	Кобозев и Некрасов [15]
II	$BD \ll ACEF$	$A \frac{2E}{C+2E}$	$2F \frac{C}{C+2E}$	$A - C - 2E + 2F = 0$	Гаммет [9], Лошкарев и Есин [16]
III	$BD \ll EF \ll AC$	$2E$	$2F$	$A - C = 0$	Тафель [2]
IV	$AC \ll EFB D$	A	C	$(a) D - B - 2E + 2F = 0$ $(b) D - B = 0$ $(c) E - F = 0$	Эрдей-Груз и Фольмер [5]
V	$EF \ll ABCD$	$\frac{AB}{B+C} + B$	$\frac{CD}{B+C} + D$	$A - C - B + D = 0$	Фрумкин [10]
VI	$AC \gg BD \gg EF$	B	D	$A - C = 0$	Гейровский [3]

В схеме I принимается, что процесс электролитического выделения водорода идет двумя путями, причем разряд протекает быстро, а десорбция, как каталитическая, так и электрохимическая, медленно. Подобный механизм выделения водорода предложили Кобозев и Некрасов [15], а позднее Хиклинг и Сольт [17].

В схеме II принимается, что процесс идет только по каталитическому пути, причем как разряд, так и каталитическая десорбция идут со сравнимыми скоростями. Из подобных представлений исходили Гаммет [9], а также Лошкарев и Есин [16].

В схеме III процесс протекает также по каталитическому пути, но скорость разряда значительно больше скорости десорбции. Эта схема соответствует простейшей теории Тафеля [2].

Схема IV соответствует теории замедленного разряда ионов H^+ Эрдей-Груз и Фольмера [5]. Фольмер принимал, что десорбция водорода происходит электрохимическим путем. Однако, принимая тот или иной способ удаления адсорбированного водорода, получим разные выражения для условий стационарности (a), (b), (c), что в свою очередь не может не отразиться на величинах катодного и анодного токов.

В схеме V принимается, что реакция идет по электрохимическому, причем скорости разряда и электрохимической десорбции сравнимы. В схеме была подробно разобрана Фрумкинским [10, 14], как для однородной поверхности, так и для неоднородной.

В схеме VI принимается, что процесс идет по электрохимическому типу, с замедленной электрохимической десорбцией. Из подобных предположений исходили Боуден [4], Гейровский [3], а также Гориути и Ока-то [18].

При достаточно больших катодных и анодных поляризациях выражения для токов обмена и условия стационарности для схем II и V, а также в общем случае, примут более простой вид. Независимо от природы поверхности и вида ее неоднородности при увеличении катодной поляризации скорости реакций A, B и E будут увеличиваться, а скорости реакций C, D и F уменьшаться; следовательно, при достаточных катодных поляризациях величинами C, D и F можно пренебречь по сравнению с величинами A, B и E.

При достаточных анодных поляризациях, наоборот, можно пренебречь обратными A, B и E по сравнению с величинами скоростей C, D и F. Учитывая сказанное, получим упрощенные выражения для скоростей обмена и условий стационарности (табл. 2).

Таблица 2

Схема	Катодные поляризации		Анодные поляризации	
	\xrightarrow{V}	условия стационарности	\xleftarrow{V}	условия стационарности
общий слу- чай	$A + B$	$A - B + 2E = 0$	$2(F + D)$	$D - C + 2F = 0$
.	A	$A - 2E = 0$	$2F$	$C - 2F = 0$
.	$A + B$	$A - B = 0$	$2D$	$D - C = 0$

Из табл. 1 и 2 следует, что при больших катодных поляризациях в общем случае и в схеме V одни и те же реакции будут определять скорость всего процесса. Различие здесь проявляется лишь в условиях стационарности количества адсорбированного водорода. Точно так же и в больших катодных поляризациях схема II станет идентичной схеме IV. И в больших анодных поляризациях схема II перейдет в схему III, а схема V в схему VI, а общий случай станет идентичным схеме I.

Уравнения, выведенные для схем I, III, IV и VI, будут справедливы независимо от того, имеется ли быстрая поверхностная диффузия атомов водорода или нет, так как наличие быстрой стадии, протекающей в двух противоположных направлениях, приводит к тому, что различные участки поверхности будут находиться в равновесии друг с другом.

Перейдем теперь к вычислению зависимости, существующей между перенапряжением, плотностью тока, составом электролита и другими параметрами. Для этого необходимо сделать те или иные предположения о характере неоднородности поверхности и о кинетических законах для реакций, происходящих на этой поверхности.

Как было указано, механизм, соответствующий общему случаю, будет наиболее правдоподобным для неоднородной поверхности. Поэтому проведем наши расчеты для поверхности с логарифмической изотермой сорбции.

Логарифмическая изотерма адсорбции, найденная экспериментально Митиним и Фрумкинским [19] для Pt-электрода, была теоретически выведена Темкиным [20] двумя путями. Первый путь опирается на представ-

ление о неоднородности поверхности, причем неоднородность поверхности характеризуется линейной зависимостью дифференциальной теплоты адсорбции от заполнения; второй — на предположение о существовании значительных сил отталкивания между адсорбированными атомами.

Рассматривая катодно-поляризованный металл как «основание» в понимании Брэнстедта [41] (см. Фрумкин [21]) и принимая, что кинетический закон перехода протона тот же, как для случая образования недиссоциированной молекулы АН, так и для образования связи Ме—Н между атомом водорода и металлом, для поверхности с логарифмической изотермой адсорбции получим следующие выражения для скоростей соответствующих реакций в щелочных * растворах

$$\left. \begin{aligned} A &= k_1 p^{-1/2} e^{-\frac{\varphi_0}{2}} e^{\frac{\eta'}{2}}, & B &= k_2 p^{1/2} e^{-\frac{\varphi_0}{2}} e^{\frac{\eta'}{2}}, \\ C &= k_3 [OH'] p^{1/2} e^{\frac{\varphi_0}{2}} e^{-\frac{\eta'}{2}}, & D &= k_4 [OH'] p^{-1/2} [H_2] e^{\frac{\varphi_0}{2}} e^{\frac{\eta'}{2}}, \\ E &= k_5 p, & F &= k_6 [H_2] p^{-1} \end{aligned} \right\} \quad (14)$$

здесь $\varphi_0 = \frac{F\varphi_n}{RT}$ (φ_0 — равновесный потенциал); $\eta' = \frac{F\eta}{RT}$ (η — перенапряжение, определяемое из уравнения $\eta = \varphi_0 - \varphi$; φ — потенциал электрода $[OH']$ — активность иона OH' ; $[H_2]$ — летучесть газообразного водорода; $k_1, k_2, k_3, k_4, k_5, k_6$ — константы; p — летучесть адсорбированного водорода, определяемая из уравнения:

$$\mu = \mu_0 + \frac{RT}{F} \ln p,$$

где μ — химический потенциал грамм-атома адсорбированного водорода.

Как показали Шлыгин и Фрумкин [19] для Pt-электрода, химический потенциал в первом приближении линейно изменяется со степенью заполнения поверхности водородом.

Активности H_2O включены в константы. Константа, обычно обозначаемая в теории замедленного разряда через α , принята в первом приближении равной $1/2$.

Так как при равновесии $\eta' = 0$, $p = p_0$, $\vec{i} = \overleftarrow{i} = i_0$, то, подставляя значения скоростей из уравнения (14) в уравнение (9), получим

$$p_0 = \frac{k_1}{k_3 [OH']} e^{-\frac{\varphi_0}{2}} = \frac{k_4 [OH'] [H_2]}{k_2} e^{\frac{\varphi_0}{2}} = \frac{k_6^{1/2} [H_2]^{1/2}}{k_5^{1/2}}. \quad (12)$$

Аналогично подставляя в уравнение (7) или (8) величины скоростей и исключая e^{φ_0} с помощью уравнения (12), получим для тока обмена при равновесии

$$i_0 = F [OH']^{1/2} \left(\frac{MR + N [OH']^{1/2}}{R + L [OH']^{1/2}} \right), \quad (13)$$

* Заметим, что если делать вывод уравнений для кислых растворов, то их окончательный вид останется таким же, как и для щелочных растворов, только вместо концентрации $[OH']$ нужно поставить концентрацию $[H^+]$ (см. Луковцев, Левина и Фрумкин [22]).

** Вывод уравнений для скоростей реакций A, B, C, D см. Долин, Эршлер и Фрумкин [11]; для скоростей реакций E и F см. [20] а также Темкин и Пыжев [23].

где L , M , N и R — константы, равные

$$L = k_2^{1/2} k_4^{1/2} [H_2]^{1/2} + k_1^{1/2} k_3^{1/2}, \quad M = \frac{k_2^{1/2} k_4^{1/2} [H_2]^{1/2}}{p_0^{1/2}} + k_1^{1/2} k_3^{1/2}, \\ N = 2p_0 k_2 k_3 + k_2 k_4 [H_2], \quad R = 2k_5 p_0.$$

Уравнение (13) вместе с уравнением (5) дает зависимость перенапряжения от плотности тока при малых катодных и анодных поляризациях.

Для вычисления величин катодного и анодного токов при больших поляризациях необходимо знать значение p — летучести адсорбированного водорода при стационарном течении процесса. Решение уравнения (10), после подстановки в него соответствующих значений для скоростей, дает величину p . Однако уравнение (10) нельзя решить алгебраически относительно p ; поэтому найдем приближенное значение для p при достаточно больших катодных поляризациях (p_k). Для этого воспользуемся условием стационарности при катодных поляризациях, которое дано в табл. 2 (общий случай). Подставляя значения для скоростей и решая относительно p , получим

$$p_k = \frac{k_2 e^{-\frac{\varphi_0}{2}} e^{\frac{\eta'}{2}}}{k_2 e^{-\frac{\varphi_0}{2}} e^{\frac{\eta'}{2}} + 2k_3 p_k^{1/2}}. \quad (14)$$

Из термодинамики известно, что $p = p_0 \cdot e^{-\frac{\Delta\varphi_n F}{RT}}$, где $\Delta\varphi_n$ — сдвиг равновесного потенциала водородной обкладки. Для нашего случая — $\Delta\varphi_n$ можно сравнить с перенапряжением, причем $-\Delta\varphi_n$ будет равно η в том случае, когда перенапряжение обусловлено только неравновесной концентрацией адсорбированного водорода. В общем случае приближенно можно принять, что

$$p = p_0 e^{\gamma\eta'}, \quad \text{где } -1 < \gamma \leq 1. \quad (15)$$

Подставляя в правую часть уравнения (14) вместо p_k значение p , как оно дается уравнением (15), и исключая с помощью уравнения (12) e^{φ_0} , получим

$$p_k = \frac{k_1 k_3^{1/2} [OH]^{1/2} e^{\eta'/2}}{k_2 k_3^{1/2} [OH]^{1/2} e^{\eta'} + 2k_1^{1/2} k_3 e^{\gamma\eta'/2}}. \quad (14a)$$

ассуждая аналогично, получим для достаточно больших анодных поляризаций

$$p_a = \frac{k_4 [H_2]}{k_3} + \frac{2k_5 [H_2]}{k_1^{1/2} k_3^{1/2} [OH]^{1/2}} \cdot e^{\frac{(1-\gamma)\eta}{2}}. \quad (16)$$

Из уравнений (14a) и (16) следует

1. При увеличении катодной поляризации заполнение поверхности адсорбированным водородом возрастает* и достигает предельного значения. Величина этого предельного значения не зависит от состава электролита. Однако при прочих равных условиях заполнение достигает предельного значения в более концентрированных растворах щелочи при меньшем перенапряжении, чем в случае разбавленных растворов.

* При иных соотношениях между скоростями (например при электрохимическом механизме удаления) с увеличением катодной поляризации заполнение поверхности водородом может также и убывать.

2. Увеличение анодной поляризации ведет к уменьшению степени заполнения поверхности водородом. Предельное значение заполнения, которое достигается при этом, не зависит от состава раствора. Однако в более крепких растворах щелочи это предельное значение достигается при меньших анодных поляризациях.

Выше было показано, что при больших катодных и анодных поляризациях (см. табл. 2, «общий случай»)

$$i_k = F \cdot \vec{V} = F(A + B), \quad i_a = F \cdot \overleftarrow{V} = 2 \cdot F(F + D). \quad (17)$$

Подставив соответствующие значения для скоростей и исключив $e^{\eta'}$, получим

$$i_k = F \cdot \frac{k_3^{1/2} p_0^{1/2}}{k_1^{1/2}} (k_1 p_k^{-1/2} + k_2 p_k^{1/2}) [OH]^{1/2} e^{\eta'/2}, \quad (18)$$

$$i_a = 2F \cdot (k_2^{1/2} k_4^{1/2} p_0^{1/2} [H_2]^{1/2} p_a^{-1/2} [OH]^{1/2} e^{-\eta'/2} + k_6 [H_2] p_a^{-1}). \quad (19)$$

Уравнения (18) и (19) дают зависимость катодного и анодного токов от параметров, определяющих их при больших поляризациях. Если изложенным выше методом произвести вычисление и для других схем (см. табл. 1 и 2), то получающиеся при этом закономерности можно суммировать следующим образом.

При больших катодных и анодных поляризациях справедливо уравнение

$$\eta = \pm \frac{RT}{\alpha F} \ln i_{k,a} \mp \frac{RT}{\beta F} \ln [OH] + \text{const}. \quad (20)$$

Для малых поляризаций

$$i_{k,a} = \pm \frac{\lambda F}{RT} \cdot \text{const} \cdot [OH]^{\beta} \cdot \eta^{\alpha}. \quad (21)$$

Значения α , β , ϑ , λ , а также p , полученные для различных схем, приведены в табл. 3.

Таблица 3

Схема	β	λ	α	ϑ	$p_{k,a}$
I	$0 - 1/2$	2	1	2	$p_0 e^{\eta'}$
II	$1/2 - 0$	$1 < \lambda < 2$	$1/2$	1	$k[OH]^{\pm 1/2} e^{\eta'}$
III	0	2	1	∞	$p_0 e^{\eta'}$
IV**	$1/2$	1	$1/2$	1	p_0
V	$1/2$	$1 < \lambda < 2$	$1/2$	1	const
VI	$1/2$	2	1	1	$p_0 e^{\eta'}$

* В уравнениях (20) и (21) верхний знак (+ или —) относится к катодным поляризациям, нижний — к анодным.

** В схеме IV $p = p_0$, если принять каталитический механизм удаления адсорбированного водорода. Для электрохимического пути с быстрой десорбцией $p = p_0 e^{-\eta'}$, т. е. заполнение поверхности уменьшается с увеличением катодной поляризации. Это приводит к тому, что с увеличением катодной поляризации скорость разряда сильно возрастает, скорость же электрохимической десорбции остается постоянной. При определенном значении катодного потенциала скорость разряда будет сравнима со скоростью электрохимической десорбции; в этом случае, как указал Фрумкин [10], заполнение становится постоянным. Таким образом, схема IV перейдет в схему V. К этому же результату придем, если примем, что удаление адсорбированного водорода происходит по двум путям.

Рассмотрим те следствия, которые получаются в результате приведенных выше вычислений.

Для всех предложенных схем и в «общем случае», кроме схемы IV, увеличение поверхности водородом сильно возрастает при катодных поляризациях и уменьшается при анодных.

Как показано выше на примере «общего случая», а также для схемы V Фрумкина [10]), это увеличение и уменьшение не идет бесконечно, а достигает некоторого предела. Это означает, что заполнение поверхности меняется, а следовательно, не изменяются кинетические законы течения акций.

В этом случае уравнения для катодного перенапряжения для «общего случая», а также схем I, II, V и VI, становятся идентичными уравнениям для схемы IV.

Что касается анодных поляризаций, то здесь схема II становится идентичной схеме III, а схемы I, V, VI и «общий случай» — схеме IV. Следовательно, поведение электрода при больших катодных и анодных поляризациях для всех рассмотренных выше схем должно удовлетворять или уравнениям для схемы III или для схемы IV.

Независимость заполнения поверхности от потенциала приводит к тому, что для схемы III при катодных поляризациях, а для схем II и I при анодных поляризациях, должно наблюдаться явление «предельного тока».

В отличие от схемы III, где величина предельного тока не зависит от концентрации щелочи, в схеме II предельный ток будет увеличиваться с увеличением концентрации щелочи.

Предположение, что схема III сохраняет свое значение при больших анодных поляризациях, неправдоподобно. На это указывает по крайней мере тот факт, что в катодной области не наблюдается явления «предельного тока»*.

При больших катодных поляризациях, как указал еще Гаммет [9], схема III перейдет в схему II, а последняя в свою очередь станет идентичной схеме IV.

В области заполнения поверхности водородом, где справедлива логарифмическая изотерма, разные теории дают различные значения для коэффициента α . Однако это различие сглаживается при переходе к большим заполнениям поверхности. Действительно, для схемы III, при малых заполнениях $x = 2$ (Табель [2]), при средних $\alpha = 1$ (см. табл. 3) и при больших заполнениях поверхности $0 < \alpha < 1$ (Гориути и Окамото [18]).

Таким образом, если можно доказать, что при электролизе не происходит большого накопления водорода на поверхности электрода, то соотношение $0 < \alpha < 1$, обычно наблюдаемое на опыте, говорит в пользу теории Фольмера—Фрумкина (схема IV). В ряде работ [7, 8] было показано, что это условие выполнено для ртутного и свинцового катодов, а для поверхностей, которые сильно заполнены водородом, при электролизе величина $\alpha < 1$ не дает однозначного ответа о механизме перенапряжения.

Надежные данные о зависимости перенапряжения от состава электрода были получены в последнее время. Рассмотрение табл. 3 показывает, что при средних заполнениях поверхности зависимость перенапряжения от состава электролита имеет существенное значение для установления механизма перенапряжения; что касается поверхностей, сильно заполненных водородом, то исследование зависимости перенапряжения от со-

* Кнобель, Каплан и Эйзенман [24] нашли, что кривая η — $\lg i$ отклоняется от уравнения Тафеля при больших катодных поляризациях. Гориути, Окамото и Хирота [9] считают, что этот факт подтверждает вывод о появлении «предельного тока» при больших поляризациях. Это утверждение неверно, так как в опытах Кнобеля и соотр. была устранена концентрационная поляризация.

става раствора может только ответить на вопрос: справедлива ли схема III или нет.

В связи с этим необходимо указать, что огромное значение для установления механизма перенапряжения имеет исследование этого явления как при больших, так и при малых—катодных и анодных—поляризациях в электролитах различного состава.

Определение количества водорода, имеющегося на электроде во время электролиза, и зависимость этого количества от перенапряжения и состава раствора также дает ценные данные для установления механизма перенапряжения.

В заключение считаю приятным долгом выразить глубокую благодарность акад. А. Н. Фрумкину и С. Д. Левиной за ценные указания, способствовавшие выполнению данной работы, и Б. В. Эршлеру за замечания, высказанные при обсуждении результатов.

Выводы

1. Выведено уравнение для перенапряжения водорода, когда реакция идет по двум путям со сравнимыми скоростями.
2. Разобраны частные случаи этого уравнения и следствия, которые получаются при этом.

Физико-химический институт
им. Карпова
Москва

Поступила
31. X. 1946

ЛИТЕРАТУРА

1. Brönstedt, Rec. Trav. Chim. 42, 718, 1923.
2. J. Tafel, Z. Physik. Chem. 35, 200, 1900; 50, 641, 1905.
3. Heyrovsky, Rec. Trav. Chim. 46, 582, 1927.
4. F. P. Bowden, Proc. Roy. Soc. (A) 126, 107, 1929.
5. Erdey-Gruz u. M. Volmer, Z. Physik. Chem. (A) 150, 203, 1930.
6. A. Frumkin, Z. Physik. Chem. (A) 164, 121, 1933.
7. С. Левиной и В. Заринский, Журн. физ. хим. 9, 621, 1937; 10, 556, 1937; З. Иофа, Б. Кабанов, Е. Кучинский и Ф. Чистяков, Журн. физ. хим. 13, 1105, 1939; Б. Кабанов, С. Филиппов, Л. Валукова, З. Иофа и А. Прокофьева, Журн. физ. хим. 13, 341, 1939; А. Frumkin, Acta physicochimica URSS 18, 23, 1943; З. Иофа и А. Фрумкин, Журн. физ. хим. 18, 268, 1944; З. Иофа и К. Микулин, Журн. физ. хим. 18, 137, 1944.
8. З. Иофа, Журн. физ. хим. 13, 1435, 1939; 19, 117, 1945.
9. L. Hammett, Trans. Farad. Soc. 29, 770, 1933.
10. А. Фрумкин, Журн. физ. хим. 10, 568, 1937.
11. П. Долин и Б. Эршлер, Журн. физ. хим. 14, 886, 1940; П. Долин, Б. Эршлер и А. Фрумкин, Журн. физ. хим. 14, 907, 1940.
12. I. Horiuti a. M. Polanyi, Acta physicochimica URSS 2, 505, 1935.
13. Okamoto, Horiuti, Hirota, Sc. pap. Inst. Phys. Chem. Res., Tokyo 29, 223, 1936.
14. I. Horiuti a. M. Ikusima, Proc. Imp. Acad., Tokyo 15, 39, 1939.
15. N. Kobosew u. N. Nekrassow, Z. Elektrochem. 36, 529, 1930.
16. М. Лошкарев и О. Есин, Журн. физ. хим. 11, 410, 1938.
17. Niculunga. Solt, Trans. Farad. Soc. 38, 474, 1942.
18. I. Horiuti a. Okamoto, Sc. Pap. Inst. Phys. Chem. Res., Tokyo 28, 231, 1936.
19. A. Slygin u. A. Frumkin, Acta physicochimica URSS 3, 791, 1935.
20. М. Темкин, Журн. физ. хим. 15, 296, 1941.
21. A. Frumkin, Z. physik. Chem. (A) 160, 116, 1932.
22. П. Луковцев, С. Левиной и А. Фрумкин, Журн. физ. хим. 13, 916, 1939.
23. М. Темкини В. Пыжев, Журн. физ. хим. 13, 851, 1939.
24. K. Nobel, Kaplan u. Eiseman, Trans. Amer. Elektrochem. Soc. 18, 55, 1923.

ПЕРЕНАПРЯЖЕНИЕ ВОДОРОДА НА НИКЕЛЕ В ЩЕЛОЧНЫХ РАСТВОРАХ

П. Луковцев и С. Левина

В предыдущих сообщениях [1, 2] были приведены результаты исследования перенапряжения водорода на никеле в кислых и щелочных растворах при сравнительно высоких катодных и анодных (в щелочных растворах) поляризациях. Было показано, что в не слишком разбавленных растворах кислот и щелочей перенапряжение водорода на никеле уменьшается с уменьшением концентрации как кислоты, так и щелочи. Это, а также и ряд других фактов (влияние нейтральных солей, изменение наклона кривой $\eta - \lg i$ при увеличении концентрации электролитов, зависимость перенапряжения от природы растворителя [2, 3 и др.] не согласуются с рекомбинационной теорией и могут отвечать лишь такой теории, которая принимает, что в кинетике процесса существенную роль играет ионная реакция, на которую влияет электрическое поле двойного слоя.

Однако Горнпути [4] иначе истолковал полученную в наших опытах зависимость перенапряжения от концентрации раствора. Именно, в опубликованных нами работах [1, 2] перенапряжение водорода измерялось на никелевой пластинке со сторонами $1,5 \times 4,5$ см, вертикально вращаемой в стеклянном цилиндре с узким боковым отверстием, ведущим в анодное пространство. При таком устройстве плотность тока больше на той стороне пластинки, которая обращена к боковой стенке, постепенно уменьшаясь с увеличением расстояния от последней, по закону, зависящему от плотности тока и электропроводности растворов.

При высоких плотностях тока и низких концентрациях истинная плотность тока в точке измерения потенциала будет значительно больше, а при малых плотностях и больших концентрациях приблизительно равна средней плотности тока. Вследствие этого в разбавленных растворах перенапряжение, измеряемое таким образом, при одной той же плотности тока будет больше, чем в концентрированных.

Однако Фрумкин [5] уже было указано, что для нашего прибора отношение $r_{\max} : r_{\min}$ не превышало 4 (r — сопротивление по пути тока, ведущего к некоторому элементу поверхности электрода), а отношение между максимальной и средней плотностью тока, даже в случае слабо проводящих растворов, равнялось 2—2,5. Отсюда следует, что верхний предел ошибок измерения, связанных с неодинаковым распределением плотности тока, для измерений при указанном выше устройстве равен приблизительно $b \cdot \lg 2$ или 30 mV. На самом же деле понижение перенапряжения, наблюдаемое в наших опытах при увеличении концентрации, равно примерно 120 mV и в кислых и в щелочных растворах.

В настоящей работе было обращено особое внимание на устранение возможного влияния омического падения напряжения в растворе на форму кривых. Так как результаты измерений перенапряжения в щелочных растворах воспроизводятся хуже (5—10 mV для разных опытов), чем в разбавленных кислых растворах*, то для того, чтобы получить

* Это, вероятно, связано как с трудностью приготовления чистых щелочных растворов, так и с воспроизводимостью состояния поверхности никеля.

более точные данные о влиянии концентрации щелочи на перенапряжение, метод работы, описанный в предыдущих сообщениях [1, 2], был изменен таким образом, что можно было измерять перенапряжение водорода в растворах щелочи трех концентраций, не приводя никелевый электрод в соприкосновение с воздухом. В остальном методика работы оставалась прежней.

Прежде всего было изучено влияние формы электрода на характер кривых перенапряжения. Легко видеть, что если бы имела место бо́льшая неравномерность в распределении плотности тока, то изменение формы электрода должно было бы изменить наклон кривых $\eta - \lg$. На рис. 1 показано влияние формы электрода на перенапряжение. Кривые *Ia*, *IIa* и *IIIa* получены на стержне никеля Хильгер диаметром 0,5 см и длиной 5 см, кривые *I*, *II* и *III* — на пластинке никеля Кальбаума размерами $1,4 \times 1,4$ см. Расположение электродов в обоих случаях изображено на рис. 2.

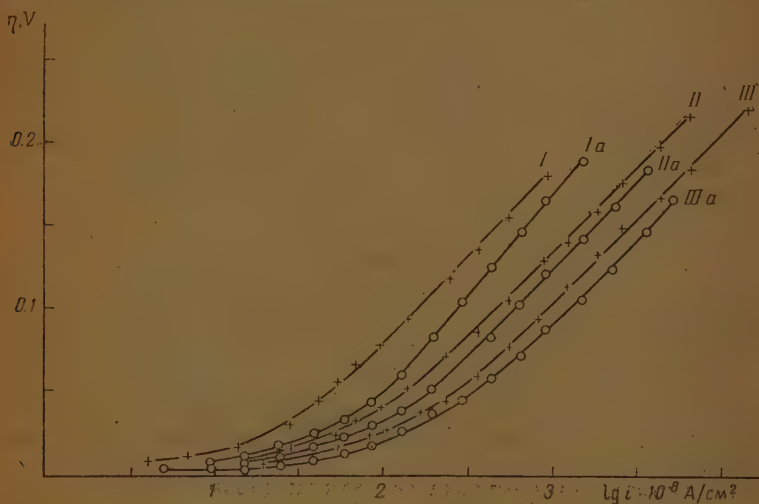


Рис. 1. Влияние формы электрода на перенапряжение в растворах щелочей различных концентраций:

I — $0,83 \cdot 10^{-3}$ N NaOH; *Ia* — $3,9 \cdot 10^{-3}$ N NaOH; *II* — $4,10 \cdot 10^{-2}$ N NaOH; *IIa* — $0,9 \cdot 10^{-1}$ N NaOH;
III — $2,80 \cdot 10^{-1}$ N NaOH; *IIIa* — $4,3 \cdot 10^{-1}$ N NaOH

В случае опытов с пластинкой никеля Кальбаума ошибки, связанные с неравномерным распределением плотности тока, должны быть сравнительно малы, как это следует из геометрических условий. Это было доказано тем, что, во-первых, при повороте пластинки на 90° величина перенапряжения не изменялась при всех плотностях тока; во-вторых, наклон кривых $\eta - \lg i$, измеренных в растворах, содержащих 0,2N KCl, был тот же, что и в разбавленных растворах щелочи без KCl.

Как видно из рис. 1, только в случае стержня, для которого условия были менее благоприятны, и растворов с самой низкой концентрацией имеется изменение наклона кривой, которое может быть отнесено за счет влияния омического падения потенциала. Остальные кривые практически между собой параллельны. Дальнейшие опыты производились с пластинкой размером $1,4 \times 1,4$ см.

В настоящей работе приведен ряд результатов, показывающих влияние концентрации щелочи и полученных с очень малыми плотностями тока или в присутствии избытка нейтральной соли, т. е.

овиях, при которых влиянием омического падения потенциала можно пренебречь. Как будет видно, они полностью подтверждают результаты предыдущей работы.

На рис. 3 дана зависимость перенапряжения от концентрации ионы при плотности тока $1 \cdot 10^{-5}$ А/см², полученная на пластинке сторонами $1,4 \times 1,4$ см в присутствии 0,2N KCl. Одинаковые значки относятся к одной серии опытов.

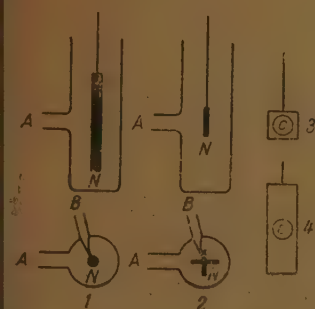


Рис. 2. Положение никелевого электрода N при измерении перенапряжения: 1 — стержень Ni Хильгера; 2 — пластинка Ni Кальбаума; 3 и 4 — проекция подного отверстия на электрод в случаях 1 и 2

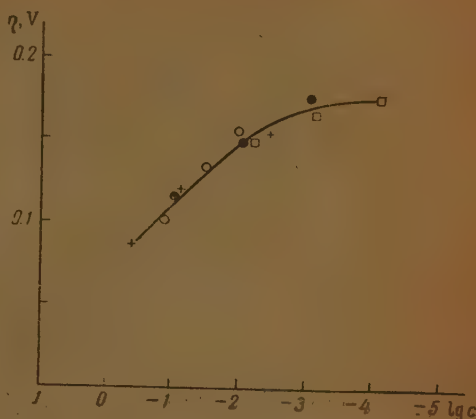


Рис. 3. Зависимость перенапряжения от логарифма концентрации NaOH в присутствии KCl при плотности тока $1 \cdot 10^{-5}$ А/см²

Таким образом, серии измерений перенапряжения на никеле, которые не приходил в соприкосновение с воздухом, при изменении концентрации щелочи, показывают, что в интервале концентраций от $1 \cdot 10^{-2}N$, при увеличении концентрации в 10 раз, перенапряжение уменьшается на 44—46 мВ *. Это справедливо и для концентраций до 1N. В интервале концентраций от $1 \cdot 10^{-2}$ до $1 \cdot 10^{-3}N$ перенапряжение увеличивается на 22 мВ, а в интервале от $1 \cdot 10^{-3}$ до $0 \cdot 1N$ на 6—8 мВ.

Гориюти и Окамото [6] впервые указали на связь между перенапряжением и скоростями реакций обмена. Если экстраполировать кривую $\eta - \lg i$, полученную при высоких плотностях тока, на ось $\lg i$, получается величина плотности тока, которую мы обозначим через I_0 . Чем называть эту величину «экстраполированным током обмена». И скорость суммарного процесса определяется одной какой-либо стадией (например, разрядом иона, десорбцией водорода и т. п.), как легко показать, экстраполированный ток обмена равен истинному току обмена, который может быть определен с помощью изотопа. При более сложном механизме такое совпадение не обязательно. Однако, как показывают опыты С. Левиной [8], для никелевого электрода в щелочных растворах экстраполированный и истинный ток обмена близки между собой ** и сходным образом зависят от концентрации.

* Таким образом, здесь уточняются результаты, опубликованные ранее [1].

** По неопубликованным данным.

На рис. 4 показана зависимость экстраполированного тока обмена от концентрации щелочи. Как видно из рисунка, экстраполированный ток обмена увеличивается с увеличением концентрации щелочи. При $\lg c$ в растворах NaOH с концентрацией выше $10^{-2} N$ экстраполированный ток приблизительно пропорционален корню квадратному из концентрации, а в более разбавленных растворах — корню более высокой степени.

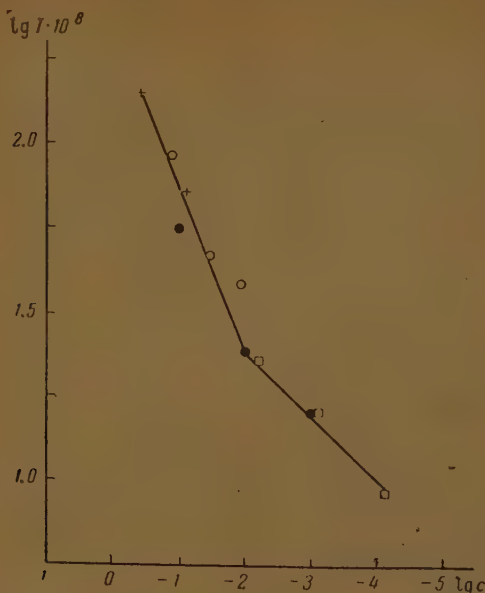


Рис. 4. Зависимость экстраполированного тока обмена от концентрации NaOH

Приведенные выше экспериментальные данные согласуются с полученными ранее [4] для зависимости перенапряжения от концентрации щелочи и опровергают возражение Гориути [4], связанное с неравномерным распределением плотности тока.

Измерения перенапряжения вблизи потенциала обратимого водородного электрода лучше всего подтверждают этот вывод, так как в этом случае ошибки, связанные с неравномерным распределением плотности тока, ничтожны.

На рис. 5 показана зависимость перенапряжения водорода на никеле от плотности тока вблизи равновесного потенциала в растворах NaOH различных концентраций *. Как видно из рис. 5, при плотностях катодного тока ниже $5 \cdot 10^{-7} \div 1 \cdot 10^{-6} \text{ A/cm}^2$ (в зависимости от концентрации щелочи) и $2 \cdot 10^{-7} \div 4 \cdot 10^{-7} \text{ A/cm}^2$ анодного тока перенапряжение линейно зависит от плотности тока. При более высоких плотностях тока эта зависимость постепенно переходит в экспоненциальную.

Наклон кривых $\eta - i$, $\left(\frac{\partial \eta}{\partial i}\right)_{\eta=0}$ («сопротивление») увеличивается с уменьшением концентрации щелочи.

На рис. 6 дана зависимость $\left(\frac{\partial \eta}{\partial i}\right)_{\eta=0}$ от концентрации щелочи.

* Кривые с одинаковыми значками получены в одном опыте.

в растворах «сопротивление» обратно пропорционально корню квадратному из концентрации щелочи, начиная с концентрации $10^{-2} N$ NaOH $\left(\frac{\partial \eta}{\partial i}\right)_{\eta=0}$ (а следовательно, и перенапряжение) меньше и не зависит от концентрации.

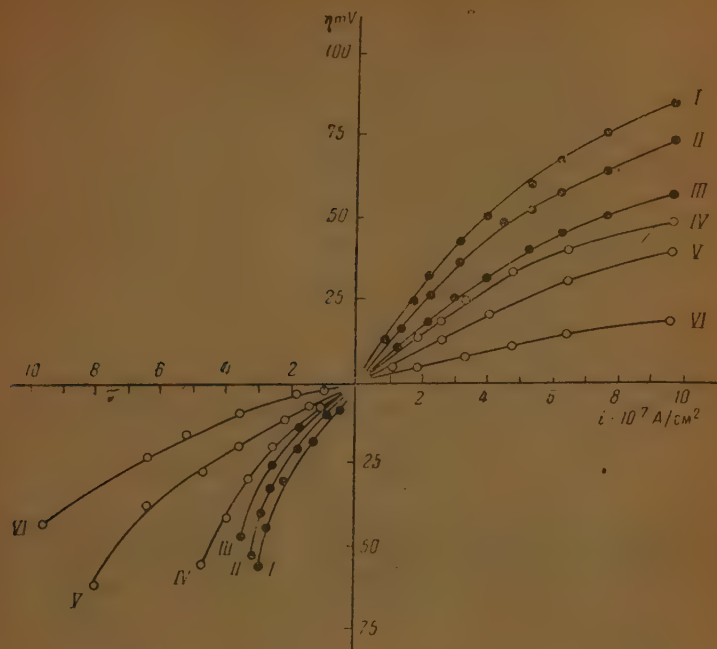


Рис. 5. Зависимость перенапряжения от плотности тока вблизи равновесного потенциала

I — $0,83 \cdot 10^{-2} N$ NaOH; II — $0,82 \cdot 10^{-2} N$ NaOH; III — $0,65 \cdot 10^{-2} N$ NaOH;
IV — $1,10 \cdot 10^{-2} N$ NaOH; V — $3,60 \cdot 10^{-2} N$ NaOH, VI — $1,41 \cdot 10^{-1} N$ NaOH

Из экспоненциальной зависимости перенапряжения от плотности тока следует, что вблизи потенциала обратимого водородного электрода плотность тока пропорциональна перенапряжению и изменяется согласно уравнению (5)

$$i_{k, a} = \pm \frac{\lambda F}{RT} \cdot i_0 \cdot \eta, \quad (1)$$

где $1 < \lambda < 2$; i_0 — истинный ток обмена при $\eta=0$, измеренный с поправкой на изотопы.

Легко видеть, что произведение $I_0 \cdot \left(\frac{\partial \eta}{\partial i}\right)_{\eta=0} = \frac{I_0}{i_0} \cdot \frac{RT}{\lambda F}$ будет различным в разных теориях. Оно, например, равно $\frac{RT}{F}$ для теории, в которой определяющей стадией является разряд, и $\frac{RT}{2F}$ для рекомбинационной теории*.

* В диссертации Луковцева приведены значения этого выражения для всех возможных механизмов течения реакции.

На рис. 7 дана зависимость произведения экстраполированного тока обмена на сопротивление от концентрации щелочи. Как видно из рис. 7, эта величина сильно меняется от опыта к опыту*.

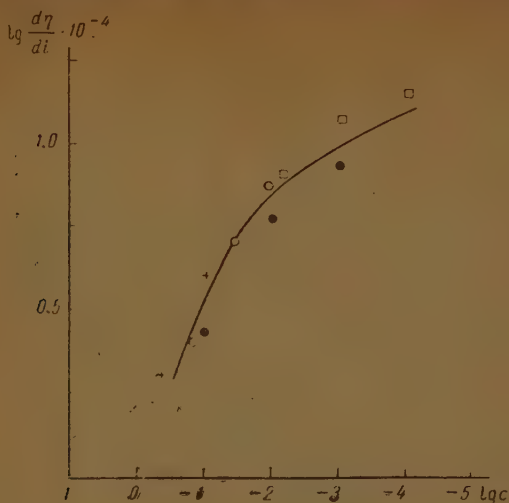


Рис. 6. Зависимость „сопротивления“ электрода от концентрации NaOH

Но совокупность данных, полученных из разных опытов, указывает, что это произведение уменьшается с уменьшением концентрации щелочи. Для высоких концентраций оно близко к величине 25 mV, а

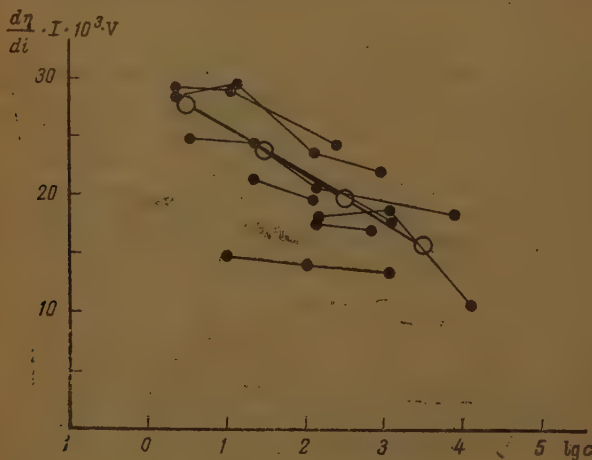


Рис. 7. Зависимость произведения $I_0 \cdot \left(\frac{\partial \eta}{\partial i}\right)_{\eta=0}$ от концентрации NaOH
точки (·) относятся к одному опыту; ○ — среднее значение для данного интервала концентраций

* Это связано как с неточностью определения I_0 , так и $\left(\frac{\partial \eta}{\partial i}\right)_{\eta=0}$; в этом случае ошибки перемножаются.

я низких 12,5 мВ. Этот факт вместе с другими будет обсужден ниже.

Большое значение для установления механизма перенапряжения гут иметь данные о количестве водорода, находящегося на поверхности электрода при прохождении тока. Некоторые сведения в этом отношении может дать изучение изменения потенциала во времени после выключения стационарного тока (кривые спада).

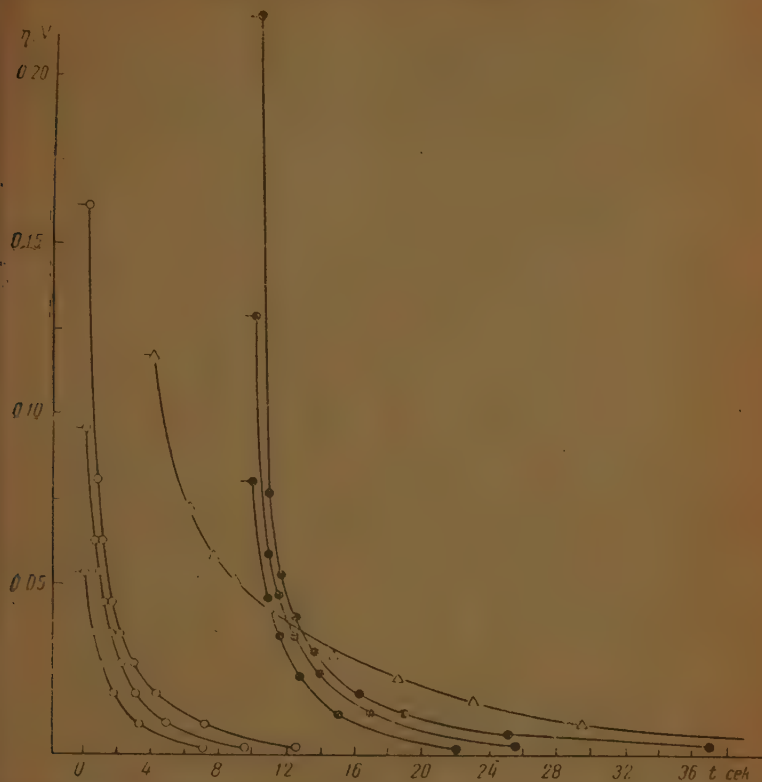


Рис. 8. Кривые спада перенапряжения после выключения стационарного тока в растворах щелочей различных концентраций

○ — $1,3 \cdot 10^{-4} N$; ● — $0,72 \cdot 10^{-2} N$; Δ — $0,32 \cdot 10^{-1} N$ NaOH;
●, — ○, — Δ — моменты выключения тока

Вопрос о вычислении емкости из «кривых спада» разобран в работе Фрумкина и Аладжаловой [9]. Однако выведенное ими уравнение (11) громоздко для расчетов. Более удобно вычисление емкости производить отдельно для малых и больших перенапряжений. Типные данные по перенапряжению укладываются в уравнения

$$\left. \begin{aligned} i &= I_0 \cdot \exp\left(\frac{2,3\eta}{b}\right) & (\text{для больших перенапряжений}), \\ i &= \frac{\eta}{\omega} & (\text{для малых перенапряжений}), \end{aligned} \right\} \quad (2)$$

— сопротивление.

Подставляя эти значения в уравнение $\frac{d\eta}{dt} = \frac{i}{c}$ и интегрируя, получим.

$$c = \frac{2,3 \cdot I_0 (t_1 - t_2) \exp \left[\frac{2,3}{b} (\eta_1 + \eta_2) \right]}{b \cdot \left[\exp \left(\frac{2,3}{b} \eta_1 \right) - \exp \left(\frac{2,3}{b} \eta_2 \right) \right]} \quad (\text{для больших перенапряжений}),$$

$$c = \frac{t_1 - t_2}{\omega \ln \frac{\eta_2}{\eta_1}} \quad (\text{для малых перенапряжений}). \quad (3)$$

Величины I_0 , b , ω получаются из кривых перенапряжения, а значения η_1 , η_2 , t_1 и t_2 из кривых спада.

На рис. 8 даны кривые спада, полученные с помощью струнного электрометра, а на рис. 9 — емкости на различных отрезках этих кривых, вычисленные способом, описанным выше. Из чертежей видно, что

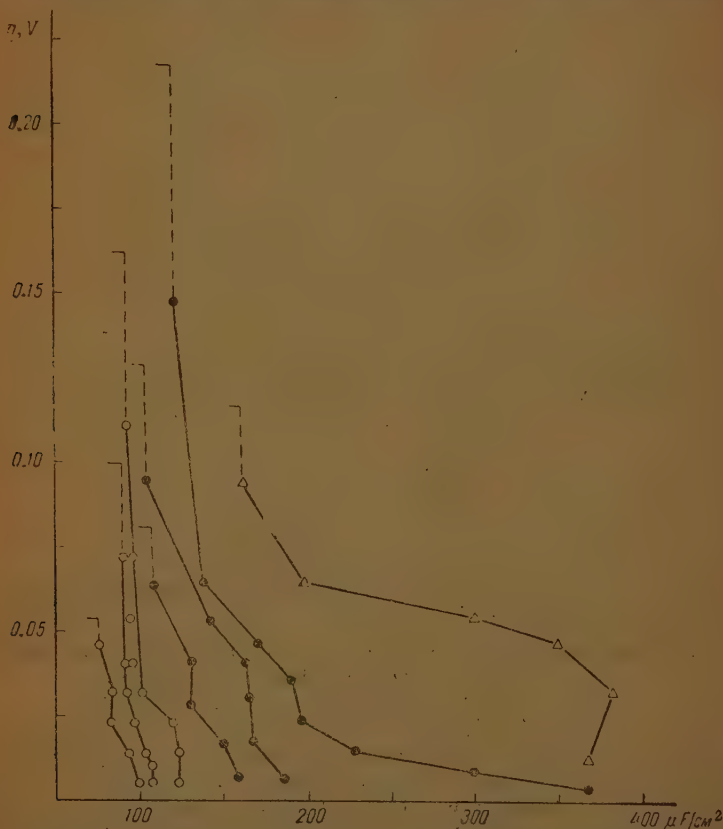


Рис. 9. Емкость никелевого электрода на различных участках кривых спада перенапряжения (см. рис. 8)

на всех кривых спада емкость меньше в начале кривых и больше в конце. Это различие тем больше, чем больше начальное перенапряжение. И в начале кривых спада и в конце их емкость увеличивается с увеличением концентрации щелочи и первоначального стационарного перенапряжения.

Разные значения емкостей в начале и в конце кривых спада указывают на то, что перенапряжение водорода на никеле обусловлено как неравновесной концентрацией ионов в двойном слое, так и неравно-

ной концентрацией атомов на поверхности. Как было показано в ряде работ, так называемая «двойнослойная» емкость имеет величину порядка $20-30 \mu\text{F}/\text{cm}^2$; емкость же, обусловленная адсорбированными молекулами водорода (емкость «водородной обкладки»), имеет значительно большую величину. Поэтому быстрое падение перенапряжения в начале кривых спада связано преимущественно с изменением концентрации ионов в двойном слое, а более медленное падение в конце кривых — изменением концентрации атомов водорода на поверхности.

Зная емкость на отдельных отрезках кривых спада от η_1 до η_2 , суммируя произведения $c(\eta_1 - \eta_2)$ для всех отрезков, получим количество электродвижуще-активного вещества, находящегося на электроде, при том, что находится при равновесии.

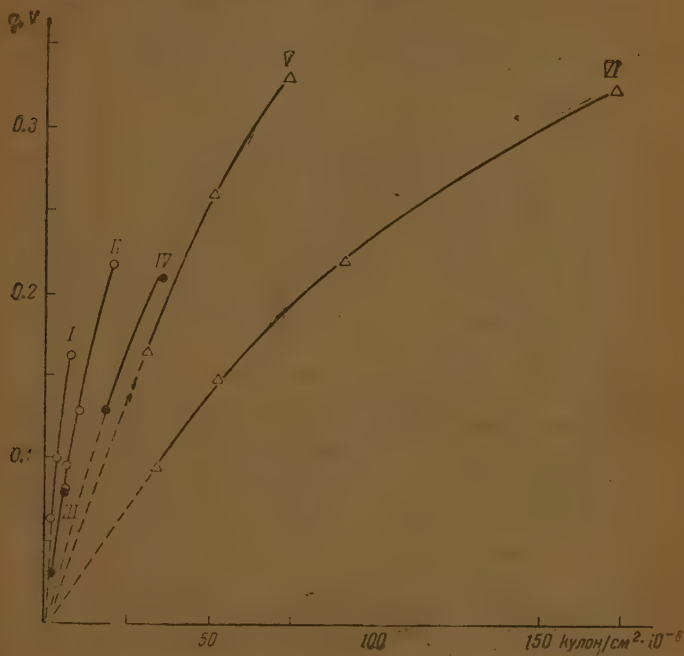


Рис. 10. Зависимость количества электродвижуще-активного вещества от перенапряжения

I— $3 \cdot 10^{-4} N$ NaOH; II— $0,72 \cdot 10^{-3} N$ NaOH; III— $1,47 \cdot 10^{-3} N$ NaOH; IV— $0,71 \cdot 10^{-3} N$ NaOH; V— $0,24 N$ NaOH; VI— $0,50 N$ NaOH

На рис. 10 дана зависимость количества электродвижуще-активного вещества от перенапряжения. Из чертежа следует, что количество водорода, находящегося на поверхности электрода, растет как с увеличением катодной поляризации, так и с увеличением концентрации щелочи.

Изменение анодного потенциала со временем после выключения стационарного тока детально не изучалось. Было, однако, установлено, что ионный потенциал после выключения стационарного тока приходит к равновесному значению медленнее, чем катодное перенапряжение. С увеличением концентрации щелочи время, в течение которого анодный потенциал изменяется до равновесного значения, увеличивается. Чем больше анодный потенциал, тем больше время его спада до потенциала обратимого водородного электрода. Ряд явлений [1] заставляет считать, что кривые спада анодного потенциала сильно искажены вследствие окисления никеля.

Обсуждение результатов

Изложим вкратце основные результаты, полученные в настоящей работе. Для не слишком разбавленных растворов с увеличением концентрации щелочи в 10 раз перенапряжение падает примерно на 45 mV. В миллинормальном и более разбавленных растворах перенапряжение практически не зависит от концентрации. Вблизи равновесного потенциала перенапряжение линейно зависит от плотности тока. Наклон кривых $\eta - i$, $\left(\frac{\partial \eta}{\partial i}\right)_{\eta=0}$ увеличивается с уменьшением концентрации щелочи. В крепких растворах $\left(\frac{\partial \eta}{\partial i}\right)_{\eta=0}$ («сопротивление») обратно пропорционально корню квадратному из концентрации щелочи. Начиная с $1 \cdot 10^{-2} N \text{ NaOH}$, «сопротивление» меньше зависит от концентрации. Произведение $I_0 \cdot \left(\frac{\partial \eta}{\partial i}\right)_{\eta=0}$ уменьшается с уменьшением концентрации щелочи.

Емкость электрода по водороду (полученная из кривых спада перенапряжения) меньше в начале кривой и больше в конце.

С увеличением концентрации щелочи и исходного перенапряжения емкость увеличивается.

Изложенными результатами, вместе с ранее опубликованными данными [1, 2], можно воспользоваться для установления механизма перенапряжения водорода на никеле.

Легко показать, что ни одна из существующих простейших теорий перенапряжения не может объяснить всей совокупности экспериментальных данных по никелевому электроду.

Так теория, базирующаяся на замедленной десорбции водорода (обозначенная III в работе Луковцева [7]), не объясняет такого важного экспериментального факта, как зависимость перенапряжения от природы и состава раствора. В этой связи необходимо указать на работы Плескова [3], Леграна и Левиной [2], которые показали, что перенапряжение водорода на никеле в водных растворах меньше, чем в жидком аммиаке, и больше, чем в спиртовых растворах. Что касается независимости скорости обмена водорода от состава раствора, найденной Гориути и сотр. [6], то, во-первых, она наблюдалась в том интервале концентрации щелочи, где согласно нашим измерениям зависимость перенапряжения от концентрации мала, во-вторых, опыты Левиной [8] по обмену дейтерия и водорода показывают, что зависимость скорости обмена на никеле от состава раствора примерно такая же, как и у перенапряжения.

Эта теория не может объяснить также характера зависимости произведения $I_0 \cdot \left(\frac{\partial \eta}{\partial i}\right)_{\eta=0}$, а также заполнения поверхности электрода от концентрации щелочи. Теория замедленного разряда (IV в [7]), а также теория (V в [7]), принимающая электрохимический путь со сравнимыми скоростями разряда и десорбции, хорошо объясняют поведение никелевого электрода в неслишком разбавленных растворах кислот и щелочей [4], но встречают затруднения в объяснении таких опытных фактов, как:

1) малая зависимость перенапряжения от концентрации в разбавленных растворах кислот и щелочей;

2) зависимость заполнения поверхности водородом от потенциала и концентрации раствора;

3) зависимость произведения $I_0 \cdot \left(\frac{\partial \eta}{\partial i}\right)_{\eta=0}$ от состава раствора.

Теория, принимающая электрохимический путь — с замедленной десорбцией (VI в [7]), также не может истолковать зависимости

олнения от концентрации щелочи. Коэффициент b уравнения Тафеля в средних заполнениях в 2 раза меньше найденного на опыте.

Теория I [7], если даже считать, что поверхность достаточно заполнена водородом (что дает правильное значение коэффициента b), может объяснить зависимости заполнения поверхности водородом произведения $I_0 \cdot \left(\frac{\partial \eta}{\partial i}\right)_{\eta=0}$ от концентрации щелочи.

Теория II [7] (каталитический путь — скорости разряда и десорбции ионы) хорошо объясняет зависимость заполнения поверхности водородом как от потенциала, так и от концентрации щелочи, но дает иную зависимость произведения $I_0 \cdot \left(\frac{\partial \eta}{\partial i}\right)_{\eta=0}$, а также перенапряжения от равновесного потенциала, от концентрации щелочи, чем это получается на опыте. Согласно этой теории в более концентрированных растворах перенапряжение не зависит от концентрации щелочи $\left(\frac{\partial \eta}{\partial i}\right)_{\eta=0} = \frac{RT}{2F}$, а в разбавленных растворах перенапряжение уменьшается с увеличением концентрации щелочи и $I_0 \cdot \left(\frac{\partial \eta}{\partial i}\right)_{\eta=0} = \frac{RT}{F}$.

Предположим теперь, что на никелевом электроде реакция электрохимического выделения и ионизации водорода идет по двум путям — каталитическому и электрохимическому, причем и разряд, и десорбция текут со сравнимыми скоростями.

Это соответствует предположениям, при которых Луковцев [7] вывел общее уравнение. Легко показать, что уравнение, выведенное на основании этих предположений, находится в согласии с опытными данными.

Уравнение (18) (см. [7]) при больших катодных поляризациях, в согласии с опытом, дает для коэффициента b уравнения Тафеля значение $\frac{RT}{\alpha F} \ln 10$, где $0 < \alpha < 1$. Для растворов со сравнительно большими концентрациями получается уравнение *

$$\eta = \frac{2RT}{F} \ln i_k - \frac{RT}{F} \ln [OH'] + \text{const.} \quad (4)$$

Найденное на опыте увеличение перенапряжения на 46 мВ при уменьшении концентрации щелочи в 10 раз, в несомненно разбавленных растворах, согласуется с этим уравнением. Для достаточно разбавленных щелочных растворов, где согласно уравнению (14а) p_k пропорционально $[OH']^{1/2}$, перенапряжение дается уравнением:

$$\eta = \frac{2RT}{F} \ln i_k - \frac{RT}{2F} \ln [OH'] + \text{const.} \quad (5)$$

Это уравнение в некоторой степени объясняет малую зависимость перенапряжения от концентрации щелочи в слабощелочных растворах. Поведение никелевого электрода вблизи равновесного потенциала также объясняется этой теорией. Так, в растворах с достаточно большими концентрациями щелочи (см. уравнение (13) [7])

$$i_{k, \text{н}} = \pm F \cdot [OH']^{1/2} \cdot \frac{N}{L} \cdot \eta \quad (6a)$$

* Как указано в работе Луковцева [7], величина p_k достигает предельного значения в концентрированных растворах щелочи при меньших перенапряжениях, в слабощелочных растворах.

В слабощелочных растворах

$$I_{\text{акт}} = -F \cdot [\text{OH}]^0 \cdot \frac{MR}{R - [\text{OH}]^0} \cdot \gamma.$$

Согласно уравнениям (4а) и (4б) [7], с увеличением концентрации щелочи замедление разряда водородом увеличивается, тем больше различия между экстренноспированным и истинным токами обмена.

Согласно этой теории, произведение $I_0 \cdot \left(\frac{\partial \eta}{\partial i} \right)_{i=0}$ уменьшается

уменьшением концентрации щелочи, что подтверждается опытом. Однако эта теория встречает некоторое затруднение в объяснении малой разницы между экстренноспированным и истинным токами обмена.

Для объяснения этой несогласности должны по перенапряжению и пикам Фрумкинским был предложен следующий возможный сложный механизм. На поверхности никеля существует два рода участков. На участках первого рода реакция протекает так, что замедленной стадией является разряд иона. На участках второго рода осуществляется реакция бинационного механизма, причем скорость диффузии атомарного водорода с участков первого рода на участки второго рода сравнима со скоростью разряда и десорбции. Если принять, что участки второго рода имеют такую же величину площади поверхности реакции как и участки первого рода.

В этом случае будут справедливы все уравнения, выведенные для теории замедленного разряда (схема IV) [7]: $\frac{I_1}{I_2} = 1$, а $I_0 \cdot \left(\frac{\partial \eta}{\partial i} \right)_{i=0} = 25 \text{ mV}$.

В слабо щелочных растворах увеличивается роль участков второго рода и, следовательно, перенапряжение начинает менее зависеть от концентрации щелочи.

В этом случае также $\frac{I_1}{I_2} = 1$, а $I_0 \cdot \left(\frac{\partial \eta}{\partial i} \right)_{i=0} = 12,5 \text{ mV}$. Таким образом, здесь объясняется, с одной стороны, зависимость произведения

$I_0 \cdot \left(\frac{\partial \eta}{\partial i} \right)_{i=0}$ от концентрации щелочи, с другой стороны — тот факт,

что экстренноспированный ток обмена равен истинному току обмена, так как если это соотношение осуществляется в двух крайних случаях, то нет оснований полагать, что оно будет существенно нарушаться в промежуточном случае*. Наименшее замедленное водородом не замедляется с повышением перенапряжения в рамках схемы Фрумкина и не может быть объяснено тем, что на участках первого рода, где медленнее протекает реакция, последующий процесс удаления водорода (десорбция) идет со скоростью, сравнимой со скоростью разряда. Предположение о том, что реакция бинационности превращается в реакцию по утверждению в работе Эллена и Гусмана [10]. Эллен и Гусман нашли, что приблизительно на 80° , участки поверхности никеля имеют активацию десорбции равна $15 \div 22 \text{ kcal}$, а на 14° , участков равна $9 \div 10 \text{ kcal}$.

Наличие на никеле неоднородных участков подтверждается также опытами Леборина [11]. Последний измерял перманентным током различные частоты емкости и омическую проводимость гладкого никелевого электрода. Полученные результаты свидетельствуют о наличии участков на поверхности никеля с весьма различной скоростью разряда водородом.

* Эта кинетическая картина, предложенная Фрумкинским для объяснения равенства экстренноспированного и истинного токов обмена, объясняет свое согласие для механизмов, в которых предполагается, что скорости разряда каталитическими центрами одной десорбции сравнимы между собой.

и рывных емкости и омического проводимости, с одной стороны, и наличие омического компонента с потенциалом — с другой, свидетельствует о том, что наблюдаемая неоднородность поверхности не соответствует представлению, согласно которому теплота адсорбции меняется линейно при переходе от одного участка к другому. Деборным также показано, что полученные им данные говорят в пользу того, что выход водорода с одних участков на другие затруднен.

Таким образом, согласно данным Деборна [11], никелем не оправдываются предположения о быстрой поверхностной диффузии атомов водорода и о характере неоднородности поверхности, сделанные Фрумкиным [7] при выводе уравнения (48). Анализ экспериментальных данных для никелевого электрода указывает, что ни одна из теорий, предложенных на предположении о медленности какой-либо одной или двух из процессов, не может удовлетворительно объяснить все опытные данные, полученные в широком интервале изменения плотности тока и состава электролита. Для объяснения всех фактов приходится считать,

в состоянии равновесия перенапряжения при малых токах по крайней мере три процесса, каждый из которых, естественно, осуществляется в том или ином, более узком интервале изменения параметров, влияющих на перенапряжение. На вопрос о том, какие это процессы — ряд, каталитическая десорбция и электрохимическая десорбция или ряд, поверхностная диффузия и каталитическая десорбция, — в настоящее время трудно дать определенный ответ.

Имеющиеся в нашем распоряжении экспериментальные данные близкого отечают теории Фрумкина, учитывавшей на поверхности плет участков, на которых разряд и десорбция водорода протекают различными скоростями. При этом принимается, что диффузия атомов водорода с одного участка на другой затруднена. Однако для более полного выяснения механизма перенапряжения на никеле желательна и становка дальнейших опытов, позволяющих возможность различить причину каталитического тока обмена с потенциалом, т. е. проверить

аведенность соотношения $\frac{i_0}{i_s} = 1$.

Желательно также получить прямые доказательства наличия на поверхности никеля участков с различными свойствами, непосредственно влияющими на перенапряжение. Возможно, этого удастся достигнуть, например, путем отражения на поверхности никеля некоторых типов участков. Так, в работе Деборна [11], хотя и доказано наличие разных типов, все же не удалось обнаружить именно групп участков, на которых плет разряд водорода в сравнительно концентрированных растворах щелочи, где перенапряжение сильно зависит от концентрации.

В заключение выражаем благодарность акад. А. Н. Фрумкину за помощь и ценные указания как при проведении работы, так и при обобщении результатов.

Выводы

1. Показано, что в сравнительно крепких растворах NaOH перенапряжение подчиняется уравнению $\eta = a + b \lg i$ и сильно зависит от концентрации, причем форма и расположение катода мало сказываются на экспериментальных результатах.
2. Начиная с миллиграммального раствора и при более низких концентрациях перенапряжение практически сохраняет постоянное значение.
3. В области, близкой к равновесному значению потенциала, перенапряжение линейно зависит от плотности тока.

4. Наклон кривых $\eta - i$, $\left(\frac{\partial \eta}{\partial i}\right)_{\eta=0}$ („сопротивление“) обратно пропорционален корню квадратному из концентрации щелочи, начиная $1 \cdot 10^{-2} N$ NaOH, а в более разбавленных растворах зависимость концентрации делается меньше.

5. Емкость электрода по водороду (полученная из кривых спада перенапряжения) увеличивается при приближении к равновесному потенциалу. Емкость растет также с увеличением концентрации щелочи и начального перенапряжения.

6. Рассмотрены различные теории перенапряжения с точки зрения их применимости для объяснения полученных опытных результатов. Показано, что ни одна из теорий, построенных на предположении медленности какой-либо одной или двух стадий процесса, не может удовлетворительно объяснить все опытные данные по никелевому электроду, полученные для широкого интервала изменения параметров, влияющих на перенапряжение.

Физико-химический институт
им. Л. Я. Карпова
Москва

Поступила
31. X. 1946

ЛИТЕРАТУРА

1. П. Луковцев, С. Левина, А. Фрумкин, Журн. физ. хим., 13, 9, 1939.
2. А. Легран и О. Левина, Журн. физ. хим., 14, 211, 1940.
3. V. Pleskow, Acta Physicochimica URSS., 11, 305, 1939.
4. I. Horiuti, Sci. Papers Inst. Phys. Chem. Res., 37, 450, 1940.
5. A. Frumkin, Sci. Papers Inst. Phys. Chem. Res., 37, 473, 1940.
6. Okamoto, Horiuti a. Hirota, Sci. Papers Inst. Phys. Chem. 29, 2, 1936.
7. П. Луковцев, Журн. физ. хим., 21, 589, 1947; Диссертация, Физ. хим. и им. Карпова, Москва, 1940.
8. С. Левина, Acta physicochimica URSS, 14, 295, 1941.
9. А. Фрумкин и Н. Аладжалова, Журн. физ. хим., 18, 493, 1944.
10. A. Eucken u. W. Nussmann, Z. Phys. Chem. (B), 44, 163, 1939.
11. Г. Деборин, Диссертация, Физ. хим. ин-т им. Карпова, Москва, 1940.

ПОВЕРХНОСТНОЕ НАТЯЖЕНИЕ И КРИСТАЛЛИЗАЦИЯ

ПОВЕРХНОСТНОЕ НАТЯЖЕНИЕ РАСТВОРОВ РАСПЛАВЛЕННЫХ СОЛЕЙ

В. К. Семенченко и Л. П. Шихобалова

Процесс кристаллизации в высшей степени чувствителен к присутствию примесей. Некоторые примеси уже в ничтожных количествах совершенно меняют характер и свойства получающегося кристаллического агрегата. Более резко это влияние сказывается на степени дисперсности и зависимости от нее свойствах. Технологи уже давно используют это обстоятельство. Мы уже неоднократно указывали на возможность объяснения некоторых явлений влиянием примеси на поверхностную энергию образующихся сталей [1, 2, 3, 4, 5, 6]. Однако в наших предыдущих работах, относящихся к металлам, мы ограничивались только измерениями влияния примеси на само поверхностное натяжение. Здесь нам удалось изучить влияние одних и тех же примесей и на поверхностное натяжение расплавленной соли и на ее кристаллизацию и, кроме того, рассмотреть этот вопрос и теоретически. Данные по поверхностному натяжению растворов расплавленных солей имеют и самостоятельный интерес. В качестве объекта исследования они имеют некоторые преимущества перед металлами, главное из которых заключается в их большой химической инертности. Поэтому определение поверхностного натяжения не требует вытеснения вакуума, что значительно упрощает методику. Зато приготовление растворов солей гораздо труднее, и их изучение дает менее определенные результаты, чем металлических сплавов.

Методика эксперимента

Для определения поверхностного натяжения расплавленных солей в интервале температур 315—900° С нами был выбран метод максимального давления при образовании пузырька; теория этого метода была разработана Кантором [7], Фершафелтом [8] и Шредингером [9].

Егер [10] применил его к изучению поверхностного натяжения различных веществ в интервале температур от — 80 до + 1650° С. Метод Егера — Кантора состоит в определении максимального давления, необходимого для выхода пузырька газа через тонкий капилляр, опущенный в данную жидкость. Кантор и Шредингер для определения поверхностного натяжения дают следующую формулу:

$$\sigma = \frac{rH}{2} - \frac{dr^2}{3} - \frac{d^2r^3}{12d},$$

σ — поверхностное натяжение; r — радиус капилляра; $H = hgc$; ρ — плотность симметрической жидкости; g — ускорение силы тяжести; h — высота ртутного столба; d — плотность жидкости.

Прибор Егера нами был значительно упрощен. Для исследований в интервале температур от 300 до 900° С он состоял из стальной трубки *N* (рис. 1), оканчивающейся титановым капилляром *K*; поднятие и погружение этого капилляра в исследуемый расплав осуществлялось микрометрическим винтом *C*. Исследуемая соль, помещенная в титановом тигле *A*, крепленном с головкой прибора *B*, опускалась в высокотемпературную печь; температура расплавленной соли измерялась термопарой Pt-Pt-Rh с точностью до 2° С. Необходимое давление создавалось газометром — аспиратором. Для выравнивания температуры воздуха и расплава в печь вместе с тиглем помещался баллон. Просушенный воздух, прошедший через хлоркальциевые трубки, устремлялся в баллон, где и приобретал температуру расплава, а затем по соединительным трубкам поступал в капилляр. Так как при этом методе очень важно соблюдение медленного выхода пузырька и поддержание во время измерения постоянной скорости, то между

газометром и прибором устанавливался микрокран, позволявший пропускать воздух, чтобы образование пузырька длилось 30—40 сек. Кроме того, для получения наиболее точных результатов этим методом большое внимание было уделено правильности среза кончика капилляра и наиболее точным измерениям его диаметра. Диаметр капилляра измерялся на универсальном микроскопе Дейсса с точностью 0,0002 см в четырех направлениях. Средний размер внутреннего диаметра 0,0747 см.

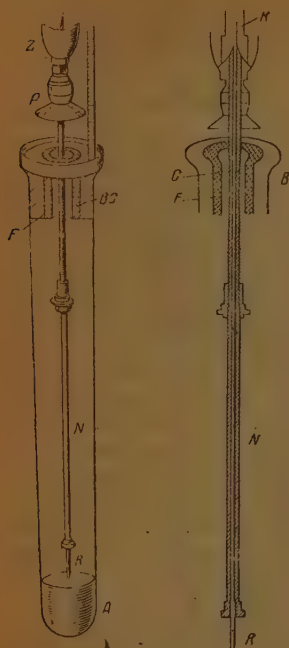


Рис. 1

Прибор для определения поверхностного натяжения расплавленных солей при температуре 315—500° имел ту же конструкцию, но был выполнен из тугоплавкого стекла.

Момент соприкосновения кончика капилляра исследуемым расплавом определялся электрическим контактом.

Измерения производились следующим образом. В расплавленную соль помощью микрометрического винта опускался капилляр до соприкосновения кончика капилляра с расплавом, после чего погружение фиксировалось. Устанавливая изменения давления в газометре так, чтобы жидкость в манометре поднималась медленно, и пользуясь микрокраном, достигали равномерного и медленного поднятия манометрической жидкости с определенной скоростью. Расчет по манометру производился с точностью 0,2 мм. Измеряя максимальное давление и зная диаметр капилляра и температуру, при которой производились измерения, мы могли вычислить поверхностное натяжение по формуле (1).

Средняя ошибка в измерении 0,7—1%.

Плотности исследуемых неорганических солей при температуре опыта были взяты из таблиц Егера. Плотность уксуснокислого калия при 315° С была измерена методом гидростатического взвешивания, подробно изложенного в работе Егера [10]. Отличия нашего прибора от прибора Егера заключались в том, что поплавок или тело шарообразной формы, которое взвешивалось в расплавленной соли и в воздухе было выполнено из стекла, а не из платины, так как измерения производились при сравнительно низких температурах. Точность измерений данного прибора можно считать равной 1,5%. В табл. 1 приводятся измеренные нами плотности, а также результаты,

полученные Егером, для азотнокислого натрия.

Исследуемые соли, полученные от Гослаборснабжения и Союзлаборреактивов химически чистые, дважды перекристаллизовывались. Для проверки прибора измерялось поверхностное натяжение чистых солей.

Расчет производился по следующим данным:

Плотность Na_2SO_4 при 900° С	$d = 2,061$
Радиус капилляра при 20° С	$r = 0,0373$ см
Радиус капилляра при температуре 900° С	$r = 0,0376$ см
Манометрическая разность высот	$h = 12,22$ см толуола
Поправки на погружение кончика капилляра	$-0,04 \cdot 2,061 = -0,09$ см
Максимальное давление	$0,866$
	$12,13 \cdot 849,5 = 10\,304$ дин.

В формула (1) члены второй $\frac{dr^2}{3}$ и третий $\frac{d^2r^3}{12H}$ настолько малы, что пользоваться ими в качестве поправки не приходилось; второй член дает изменение поверхностного натяжения на 0,0028, третий — еще меньше. Ошибки по определению радиуса капилляра и погружения во много раз превышали их.

Экспериментальные результаты

В табл. 2 приведены результаты, полученные нами для чистых солей Na_2SO_4 , KCl , NaNO_3 , и результаты Егера.

Как видно из табл. 5, наши результаты довольно хорошо совпадают с результатами Егера.

Затем мы перешли к изучению влияния примесей на поверхностное натяжение, так как по теоретическим воззрениям, положенным в основу

Таблица 1

Соль	С, мол. %	Число изме- рений	Среднее значение σ	Макс. отклоне- ние	Плотность d по дан- ным Егера	$t, ^\circ\text{C}$
NaNO_3	—	3	1,908	0,002	1,904	315
CH_3COOK	—	3	1,383	0,008	—	315
$\text{NaNO}_3 + \text{CH}_3\text{COOK}$	8,6	2	1,861	0,002	—	315

Таблица 2

Соль	$t, ^\circ\text{C}$	Наибольшее давление		Плотность расплава d	$\sigma, \frac{\text{эрг}}{\text{см}^2}$
		в мм Hg при 0°C	в динах		

Наши результаты

SO_4	900	7,72	10 304	2,061	193,7
.	799	3,88	5 175	1,509	97,1
O_2	321	4,87	6 495	1,900	121,1

Результаты Егера

SO_4	900	6,285	8 379	2,061	194,8
.	799	3,015	4 019	1,509	95,8
O_2	321	3,580	4 773	1,900	119,7

оты, на кристаллизацию влияют главным образом вещества, изменяющие поверхностные натяжения кристалла. В первой части работы в интервале температур 315—500° С удалось получить резко выраженное изменение при пользовании в качестве прибавки к NaNO_3 калиевых (ней) уксусной ($\text{CH}_3\text{CO}_2\text{K}$) и пропановой ($\text{C}_2\text{H}_5\text{CO}_2\text{K}$) кислот.

Опыты с $\text{C}_2\text{H}_5\text{CO}_2\text{K}$ показали, что эта соль влияет на поверхностное натяжение NaNO_3 гораздо сильнее, чем $\text{CH}_3\text{CO}_2\text{K}$ (рис. 2). Таким образом, было произведено исследование поверхностного натяжения систем



в различных соотношениях компонентов от 0 до 100%. Отметим, что признаков разложения органических солей при данной температуре не наблюдалось. Кроме того, в

качестве примесей мы брали KCl , NaCl , NaJ , NaF . Полученные результаты приведены в табл. 3. Изменение поверхностного натяжения NaNO_3 , вызванное прибавками этих солей даже в больших количествах (30%), настолько малы, что, как видно из табл. 3, их можно отнести скорее за счет погрешности опыта (точность измерений равна 0,5—1%, т. е. 1—2 динам), чем за счет реального действия прибавок. Далее мы занялись поисками системы

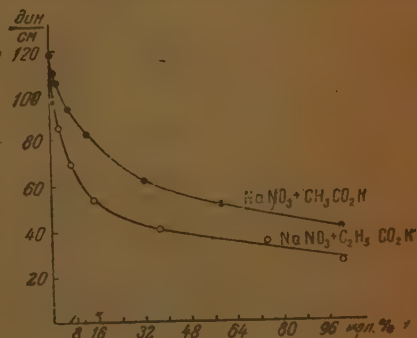


Рис. 2

из двух неорганических солей, где влияние добавки на поверхностное натяжение было бы выражено достаточно ярко.

Для этого была выбрана соль Na_2SO_4 , обладающая довольно высоким поверхностным натяжением, на которой влияние примесей должно быть

Таблица 3

С о л е	Мол. %	σ , $\frac{\text{дин}}{\text{см}}$	t , °C
NaNO_3	—	119,0	315
	—	110,4	470
	—	107,5	560
$\text{NaNO}_3 + \text{NaF}$. . .	18	108,3	560
$\text{NaNO}_3 + \text{NaCl}$. . .	13	110,1	470
$\text{NaNO}_3 + \text{NaJ}$	6	119,1	312
$\text{NaNO}_3 + \text{KCl}$	21	109,1	470
	63	109,1	
$\text{NaNO}_3 + \text{CH}_3\text{CO}_2\text{K}$.	0,86	110,4	315
	1,72	106,4	
	4,30	94,9	
	8,60	83,6	
	21,50	62,7	
	43,00	51,5	
$\text{CH}_3\text{CO}_2\text{K}$	—	42,0	
$\text{NaNO}_3 + \text{C}_2\text{H}_5\text{CO}_2\text{K}$.	0,77	97,8	
	1,55	86,1	
	3,88	70,3	
	7,77	54,8	
	19,42	41,7	
	38,85	35,7	
$\text{C}_2\text{H}_5\text{CO}_2\text{K}$	—	25,6	

выражено более резко. В качестве примесей были испытаны KCl , KBr , KJ . Полученные результаты даны на рис. 3 и в табл. 4. Мы видим, что поверхностная активность примесей увеличивается от Cl к J . В табл. 5 мы даем предельные значения

$G_0 = -\left(\frac{\partial \sigma}{\partial C}\right)_{C \rightarrow 0}$ и величины

обобщенных моментов, являющихся удобной энергетической характеристикой ионов и равных отношению зарядов иона к его радиусу. В табл. 5 приведены также m_k катиона и m_a аниона. Предельные значения поверхностной активности оказались равными 44 для $\text{CH}_3\text{CO}_2\text{K}$ и 118 для $\text{C}_2\text{H}_5\text{CO}_2\text{K}$. Они почти вдвое превышают значения активности аналогичных кислот на воде (для $\text{C}_2\text{H}_5\text{CO}_2\text{H}$ при 20° , $G = 45$).

Полученные нами данные по поверхностному натяжению растворов солей друг в друге легко могут быть объяснены с точки зрения молекулярной теории поверхностных явлений, развитой одним из авторов [11, 12]. Поверхностная активность определяется по этой теории уравнением

$$G = RT\delta \frac{(e^{\gamma(m_0 - m)} - 1)(1 - V_m C)}{1 + (e^{\gamma(m_0 - m)} - 1)V_m C} \quad (3.1)$$

$$G_{C \rightarrow 0} = RT\delta (e^{\gamma(m_0 - m)} - 1);$$

здесь δ — толщина поверхностного слоя; V_m — молекулярный объем растворенного вещества; γ — некоторая постоянная, зависящая от температуры и растворителя; m и m_0 — так называемые обобщенные моменты молекул растворенного вещества и растворителя, для сферических ионов равные отношению их заряда к радиусу, C — концентрация в м/л.

Для растворов KCl , KBr , KJ в Na_2SO_4 менялись только анионы, связанные с K ; так как все они одновалентны, то их обобщенные моменты как показывает табл. 5, уменьшались в порядке: $\text{Cl} > \text{Br} > \text{J}$. Поверхностные же активности их G возрастали в той же последовательности (табл. 5). Обобщенные моменты сложных анионов органических кислот так просто не вычисляются, но ясно, что объем аниона $\text{C}_2\text{H}_5\text{CO}_2$ больше, чем аниона CH_3CO_2 ; поэтому поверхностная активность первого должна быть больше активности второго, что и наблюдается на самом деле. Если, пользуясь уравнением Гиббса

$$-\frac{\partial \sigma}{\partial C} = \frac{RT}{C} \cdot \Gamma,$$

ислить адсорбцию Γ , то, как показывают рис. 4 (на котором показаны адсорбция KJ на Na_2SO_4 и $\text{CH}_2\text{CO}_2\text{K}$, $\text{C}_2\text{H}_5\text{CO}_2\text{K}$ на Na_2NO_3 в зависимости от концентрации) и табл. 6, адсорбция проходит через максимум, положение которого смещается в сторону малых концентраций при увеличении поверхностной активности, или определяющей величины $m_0 - m$. Этот результат также объясняется на-

Таблица 4

о л ь	$t, ^\circ\text{C}$	Мол. %	$\sigma, \frac{\text{дин}}{\text{см}}$
$\text{SO}_4 + \text{KJ}$	900	—	192,6
	900	2	187,6
	—	5	177,3
	—	10	157,5
	—	25	127,3
	—	50	100,8
$\text{SO}_4 + \text{KBr}$	900	—	72,7
	900	5	180,9
	—	25	140,5
	—	50	115,6
$\text{SO}_4 + \text{KCl}$	900	—	81,0
	900	5	183,0
	—	25	153,5
	—	50	129,3
.....	900	—	92,0

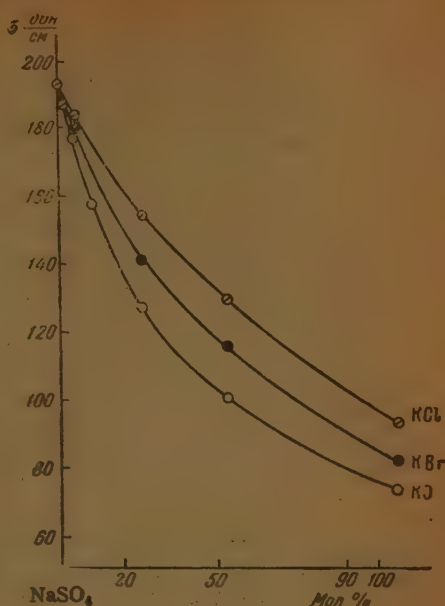


Рис. 3

теорией, дающей для Γ уравнение

$$\Gamma = C \cdot \frac{\delta (e^{\gamma(m_0 - m)} - 1) (1 - V_m C)}{1 + (e^{\gamma(m_0 - m)} - 1) V_m C}, \quad (3.2)$$

Таблица 5

Соль	G	$m_k \cdot 10^3$	$m_a \cdot 10^3$
KJ	24,2	3,586	2,211
KBr	14,8	3,586	2,432
KCl	12,0	3,586	2,634

да для концентрации C_0 , соответствующей максимуму, находим

$$C_0 = \frac{1}{V_m (e^{\frac{\gamma}{2}(m_0 - m)} - 1)}, \quad (3.3)$$

$$\gamma(m_0 - m) = 2 \ln \left(1 + \frac{1}{C_0 V_m} \right) > 0. \quad (3.4)$$

Уравнение (3.3) показывает, что C_0 должно уменьшаться при росте величины $\gamma(m_0 - m)$, что и наблюдается в действительности. Кроме того, уравнения (3.4) следует, что максимум возможен только при $m_0 > m$,

т. е. при положительной адсорбции, и что $\gamma(m_0 - m)$ может быть определено по C_s и V_m .

Для неорганических солей G оказывается сравнительно небольшим, слабее выражено их влияние на кристаллизацию.

Влияние примесей на кристаллизацию

Для подтверждения параллелизма между влиянием примесей на поверхностное натяжение и кристаллизацию были произведены определенные влияния тех же примесей на кристаллизацию NaNO_3 и Na_2SO_4 . Кристаллизация из расплавов чистой соли

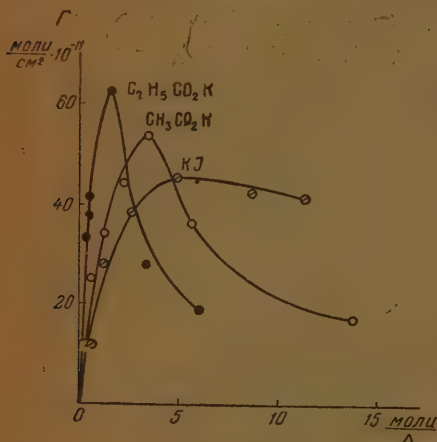


Рис. 4

температуры печи регистрировалось термодарой; все опыты по кристаллизации производились в равных температурных условиях.

Неорганические соли, мало влиявшие на поверхностное натяжение NaNO_3 , даже в больших концентрациях (табл. 3) мало влияли и на кристаллизацию его; характер и размеры кристаллов почти не менялись. Наоборот, поверхностно-активные примеси ($\text{CH}_3\text{CO}_2\text{K}$ и $\text{C}_2\text{H}_5\text{CO}_2\text{K}$) действовали весьма сильно в том отношении, что степень дисперсности получающихся кристаллических агрегатов была несравненно выше, чем у чистой NaNO_3 . Это подтверждается также и результатами микроскопического исследования препаратов NaNO_3 с различным содержанием $\text{CH}_3\text{CO}_2\text{K}$ и $\text{C}_2\text{H}_5\text{CO}_2\text{K}$, произведенного Л. И. Корчемкиным. Прилагаю протокол этого исследования, также подтверждающего высказанное нами предположение о параллелизме между влиянием на поверхностное натяжение и кристаллизацию.

Микроскопическая характеристика препаратов, полученных сплавом NaNO_3 с $\text{CH}_3\text{CO}_2\text{K}$, $\text{C}_2\text{H}_5\text{CO}_2\text{K}$ и Na_2SO_4 с KJ , такова:

Препарат № 1. $\text{NaNO}_3 + 1\% \text{CH}_3\text{CO}_2\text{K}$. Под микроскопом основная масса препарата представляется состоящей из кристаллов NaNO_3 (оптически одноосен и отрицателен). Кристаллов $\text{CH}_3\text{CO}_2\text{K}$ обнаружено.

Препарат № 2. $\text{NaNO}_3 + 5\% \text{CH}_3\text{CO}_2\text{K}$. Основная масса состоит из весьма мелких бесформенных округлых кристалликов, часто сросшихся в дендриты в виде елочек; отдельные кристаллики, образуя дендриты, иногда так малы, что скопление их дает неясную картину усаждения при вращении столика микроскопа. Средний размер кристалликов 0,02—0,03 мм. В небольшом количестве в препарате можно видеть зернышки NaNO_3 .

Таблица 6

С о л ь	С, $\frac{\text{моль}}{\text{л}}$	$\Gamma \cdot 10^{21} \frac{\text{г-мол.}}{\text{см}^3}$	t, °C
$\text{NaNO}_3 + \text{CH}_3\text{CO}_2\text{K} \dots$	0,095	9	315
	0,240	12	
	0,665	27	
	1,395	34	
	2,275	46	
	3,500	53	
	5,950	36	
$\text{NaNO}_3 + \text{C}_2\text{H}_5\text{CO}_2\text{K} \dots$	10,700	21	315
	0,085	21	
	0,255	35	
	0,600	37	
	1,150	41	
	1,575	62	
	2,930	27	
$\text{Na}_2\text{SO}_4 + \text{KJ} \dots$	5,985	49	900
	0,485	12	
	1,065	28	
	2,480	38	
	5,280	45	
	8,730	42	
	11,680	41	

Препарат № 3. В препарате можно различить наличие большого количества кристаллов NaNO_3 ; имеются ли также кристаллы $\text{C}_2\text{H}_5\text{CO}_2\text{K}$, установить не удалось.

Препарат № 4. $\text{NaNO}_3 + 2\% \text{C}_2\text{H}_5\text{CO}_2\text{K}$. В препарате можно заметить небольшое количество зерен NaNO_3 ; главная масса его состоит из зерен, напоминающих неправильные скопления дендритов.

и в препарате № 2, кристаллики, образующие дендриты, настолько малы, что они не дают отчетливой картины угасания; скопления же их дают впечатление агрегатной поляризации. Средний размер кристаллов 0,02—0,03 мм. $\text{C}_2\text{H}_5\text{CO}_2\text{K}$, повидимому, действует сильнее на NaNO_3 , чем $\text{CH}_3\text{CO}_2\text{K}$.

Препарат № 5. $\text{Na}_2\text{SO}_4 + 2\% \text{KJ}$. В сплаве $\text{Na}_2\text{SO}_4 + 2\% \text{KJ}$ можно наблюдать чистые кристаллы, подобно кристаллам Na_2SO_4 , но значительно меньших размеров и по своим очертаниям напоминающие дендритные формы. Эти сравнительно большие кристаллы малы на своей границе окружены более мелкими кристаллами, величина которых достигает 0,08—0,17 мм. Контур мелких кристаллов обнаруживается вполне отчетливо по угасанию зерен при вращении столика микроскопа.

Препарат № 6. $\text{Na}_2\text{SO}_4 + 10\% \text{KJ}$. При содержании KJ в количестве 10% величина кристаллов еще более уменьшается и сростки мелких кристаллов, как и в первом случае, напоминают крупные дендритные формы.

Об истолковании влияния примесей на кристаллизацию*

В работе одного из авторов [13] был рассмотрен вопрос о влиянии примесей на размеры и форму кристалла. Для отношения растворимостей кристаллов равных объемов в присутствии примесей и без нее была получена следующая формула:

$$(1 - V_1' C_1') e^{\frac{2V_{0k}}{RT} \left(\frac{\sigma_i}{l_i} - \frac{\sigma_{0i}}{l_{0i}} \right)} = (1 - V_1' C_1') e^{\frac{2V_{0k}}{3RT} \left(\frac{\sum \sigma_i S_i}{V_1} - \frac{\sum \sigma_{0i} S_{0i}}{V_0} \right)}; \quad (5.1)$$

* За содержание этого раздела ответственен только В. К. Семенченко.

здесь C'' — концентрация вещества кристалла в растворе или пар в присутствии, а C_0'' — в отсутствии примеси; C_1 — концентрация примеси в кристалле; V_{0k} и V_1' — молярные объемы основного вещества и примеси; σ_i и σ_{0i} — величины, аналогичные поверхностному натяжению для i -й грани в присутствии и в отсутствии примеси; S_i и S_0 — площади соответствующих граней; V и V_0 — соответствующие объемы.

Формула (5.1) может быть применена и к случаю образования в присутствии примеси двух кристаллов различных размеров, находящихся в равновесии с раствором одной и той же концентрации. Тогда C'' и C_1 будут равны, и мы получим

$$1 = (1 - V_1' C_1) e^{\frac{2V_{0k}}{RT} \left(\frac{\sigma_i}{l_i} - \frac{\sigma_{0i}}{l_{0i}} \right)} = (1 - V_1' C_1) e^{\frac{2V_{0k}}{3RT} \left(\frac{\sum \sigma_i S_i}{V_1} - \frac{\sum \sigma_{0i} S_{0i}}{V_0} \right)} \quad (5.2)$$

или, логарифмируя,

$$\begin{aligned} \ln(1 - V_1' C_1) + \frac{2V_{0k}}{RT} \left(\frac{\sigma_i}{l_i} - \frac{\sigma_{0i}}{l_{0i}} \right) = \\ = \ln(1 - V_1' C_1) + \frac{2V_{0k}}{RT} \left(\frac{\sum \sigma_i S_i}{V_1} - \frac{\sum \sigma_{0i} S_{0i}}{V_0} \right) = 0. \end{aligned} \quad (5.3)$$

Решая эти уравнения или относительно l_i или относительно V_0 , мы получим, вводя объемную $\frac{1}{V} = D_v$ или линейную $l_i = D_l$ степени дисперсности:

$$\left. \begin{aligned} \frac{1}{V} = D_v &= \left[D_{0v} \sum S_{i0} \sigma_{i0} - \frac{3RT}{2V_0} \ln(1 - V_1' C_1) \right] \frac{1}{\sum S_i \sigma_i}, \\ \frac{1}{l_i} = D_l &= \frac{1}{\sigma_i} \left[\sigma_{i0} D_{0l} - \frac{RT}{2V_{0k}} \ln(1 - V_1' C_1) \right]. \end{aligned} \right\} \quad (5.4)$$

Так как $\ln(1 - V_1' C_1)$ всегда отрицателен, то ясно, что согласно (5.2) уменьшение σ_i должно повлечь за собою увеличение степени дисперсности, так как D_{0v} и D_{0l} , V_{0k} постоянны. Это видно еще ясно, если продифференцировать D_0 и D_l по C_1' :

$$\left. \begin{aligned} \frac{dD_v}{dC_1} &= - \left[D_{0v} \sum \sigma_{i0} S_{i0} - \frac{3RT}{2V_0} \ln(1 - V_1' C_1) \right] \cdot \\ &\quad \cdot \frac{1}{(\sum S_i \sigma_i)^2} \sum S_i \frac{\partial \sigma_i}{\partial C_1'} + \frac{3RT}{2V_0 \sum S_i \sigma_i} \frac{V_1'}{(1 - V_1' C_1)}; \\ \frac{dD_l}{dC_1} &= - \left[D_{0l} \sigma_{i0} - \frac{RT}{2V_{0k}} \ln(1 - V_1' C_1) \right] \frac{1}{\sigma_i^2} \frac{\partial \sigma_i}{\partial C_1'} + \frac{RT}{2V_{0k} \sigma_i} \frac{V_1'}{(1 - V_1' C_1)}. \end{aligned} \right\} \quad (5.5)$$

Первые члены этих формул положительны при $\frac{\partial \sigma_i}{\partial C_1'} < 0$, вторые всегда положительны. Замечая, что по уравнению Гиббса

$$-\frac{\partial \sigma_i}{\partial C} = \frac{RT}{C} \cdot \Gamma$$

(где Γ_i адсорбция), имеем

$$\frac{dD_0}{dC_1} = \left[D_{00} \sum S_{i0} \sigma_{i0} - \frac{3RT}{2V_{0k}} \ln(1 - V_1 C_1') \right] \cdot \frac{RT}{C (\sum S_i \sigma_i)^2} \sum S_i \Gamma_i + \frac{3RT}{2V_0 \sum S_i \sigma_i (1 - V_1' C_1')} \cdot \frac{V_1'}{1 - V_1' C_1'} \quad (5.4)$$

$$\frac{dD_i}{dC_1} = \left[\sigma_{i0} D_0 - \frac{RT}{2V_{0k}} \ln(1 - V_1' C_1') \right] \frac{1}{\sigma_i^2} \frac{RT}{C} \Gamma_i + \frac{3RT}{2V_{0k} \sigma_i} \cdot \frac{\bar{V}_i'}{(1 - V_1' C_1')} \cdot$$

Из (5.3) и (5.4) следует, что при $\frac{\partial \sigma_i}{\partial C_1} < 0$, $\Gamma_i > 0$, т. е. если поверхность поверхностно-активна на грани раздела кристалл—расплав, распор или пар, она будет повышать степень дисперсности. Случай $\frac{\partial \sigma_i}{\partial C_1} > 0$, $\Gamma_i < 0$ не так определен, так как значение второго члена всегда положительно, однако ясно, что он может играть роль только при малых σ_i и больших C_1 , т. е. в тех случаях, когда второй компонент уже нельзя рассматривать как примесь.

Если воспользоваться для Γ_i его выражением (3.2) как функции обобщенных моментов, то из (5.4) и (3.2) получим

$$\frac{dD_0}{dC_1} = \left[D_{00} \sum S_{i0} \sigma_{i0} - \frac{3RT}{2V_{0k}} \ln(1 - V_1' C_1') \right] \cdot \frac{RT \sum S_i (e^{\gamma_i (m_0 - m_i)} - 1) (1 - V_1' C_1')}{\sum (S_i \sigma_i)^2 [1 + (e^{\gamma (m_0 - m_i)} - 1) V_1' C_1']} + \frac{3RT V_1'}{2V_{0k} \sum S_i \sigma_i (1 - V_1' C_1')} ;$$

$$\frac{dD_i}{dC_1} = \left[\sigma_{i0} D_0 - \frac{RT}{2V_{0k}} \ln(1 - V_1' C_1') \right] \frac{1}{\sigma_i^2} \cdot \frac{RT \sum (e^{\gamma_i (m_0 - m_i)} - 1) (1 - V_1' C_1')}{1 + (e^{\gamma (m_0 - m_i)} - 1) V_1' C_1'} + \frac{3RT V_1'}{2V_{0k} \sigma_i (1 - V_1' C_1')} \quad (5.5)$$

Поскольку сама адсорбция, как мы уже говорили в разделе 2, проходит через максимум, лежащий для сильно поверхностно-активных веществ в области малых концентраций, диспергирующее действие присоединения также должно быстро расти вначале, приближаясь затем к некоторому пределу (в силу уменьшения Γ , которое, однако, всегда положительное). По некоторым данным по модифицированию металлов малыми присадками, это действительно наблюдается. Таким образом, можно утверждать, что уравнения (5.2) и (5.5) позволяют правильно истолковать наблюдаемые нами явления.

Выводы

1. Методом Кантора—Егера определено поверхностное натяжение створов NaF, NaCl, NaJ, KCl, $C_2H_5CO_2K$, CH_3CO_2K в расплавленной $AlNO_3$ при температурах от 315 до 560° С и при различных концентрациях, а также чистых CH_3CO_2K и $C_2H_5CO_2K$ и KJ, KBr, KCl в Na_2SO_4 и температуре 900° С.

2. В отношении действия на поверхностное натяжение поверхностно-активными на $NaNO_3$ оказались CH_3CO_2K и $C_2H_5CO_2K$, а на Na_2SO_4 —

KJ, KBr, KCl. Согласно с теоретическими представлениями активность росла при уменьшении обобщенного момента ионов растворенной соли. Для поверхностно-активных солей адсорбция проходила через максимум соответствующая которому концентрация уменьшалась при уменьшении обобщенного момента.

3. Было изучено влияние тех же примесей на кристаллизацию NaNO_3 и Na_2SO_4 . Визуальные наблюдения и просмотр шлифов показали, что влияние на кристаллизацию, выражающееся главным образом в повышении степени дисперсности, растет параллельно поверхностной активности данной примеси. Наиболее сильно влияли соли органических кислот. — наиболее активные в отношении влияния на поверхностное натяжение.

4. Для теоретического объяснения влияния солей выведена формула определяющая зависимость растворимости кристалла от концентрации примеси, размеров кристалла и его поверхностной энергии. Анализ следствий, вытекающих из нее, показывает, что размеры кристаллов должны уменьшаться при введении примесей, уменьшающих свободную поверхностную энергию кристалла.

Московский государственный
университет
им. Ломоносова
Лаборатория физики растворов

Поступила
10. XI. 1946

ЛИТЕРАТУРА

1. Семенченко, Беринг и Покровский, Журн. колл. хим., 1, № 3, 1935.
2. Семенченко, Acta Physicochimica URSS 4, 695, 1936.
3. Семенченко, Журн. хим. физ. 7, 502, 1936.
4. Семенченко, Цветные металлы, 11, 6, 92, 1936.
5. Семенченко и Покровский, Успехи химии, 5, 777, 945, 1937.
6. Семенченко, Модифицирование металлов как физико-химический процесс (статья в сборнике «Модифицирование чугуна»), 1942.
7. Cantor, Ann. Phys. 47, 399, 1892.
8. Verschaffelt, Versl. Konink. Akad. Wetensch. 27, 208, 1908.
9. Schrödinger, Ann. d. Phys. 46, 413, 1915.
10. Jäger, Z. anorg. Chemie 101, 1917.
11. Семенченко, Журн. физ. хим. 3, 285, 1932.
12. Семенченко, Успехи химии, 3, 710, 1934.
13. Семенченко, Журн. физ. хим., 19, 350, 1945.

НЕЗАВИСИМОСТИ ПОВЕРХНОСТНОГО СГУЩЕНИЯ ЭНЕРГИИ СОБСТВЕННЫХ КОЛЕБАНИЙ ОТ ФОРМЫ ТЕЛА

А. Х. Брегер

В предыдущих работах [1, 2] было показано, что при решении задачи суммирования энергии собственных колебаний ограниченного тела является весьма существенным рассмотрение роли поверхности тела.

Ранее такое суммирование производилось без учета влияния краевых явлений [3, 4, 5, 6]. Нами [1, 2] было показано, что учет эффекта, обусловленного поверхностью тела, приводит к вычислению поверхностного сгущения (в понимании этого термина в смысле Гиббса) энергии собственных колебаний. Для электронного газа [1] это сгущение правильно падает основные черты поверхностного натяжения металлов порядок и причины и зависимость его от плотности электронного газа. Для акустических колебаний такой расчет приводит к вычислению зависимости емкости дисперсных тел [2] и поверхностного натяжения твердых [7, 8] от температуры. Наконец, поверхностное сгущение энергии электромагнитных колебаний связано с поверхностным натяжением излучения.

В предыдущих работах суммирование энергии собственных колебаний производилось нами для тела, имеющего форму куба. Вопрос о зависимости полученного эффекта поверхностного сгущения от формы тела в этих работах не рассматривался.

Доказательство независимости основного (в выражении для суммарной энергии) члена, пропорционального объему тела, от формы тела дано в общем виде Вейлем [9]. Рассмотрение вопроса о зависимости величины поверхностного сгущения от формы тела представляет особый интерес по следующим причинам. Как было показано [2], основной эффект * обусловлен тем, что в решетке квантовых ячеек, определяющих разрешенные частоты колебаний куба, нужно бросить (в случае электронного газа) или точно учесть (в случае акустических колебаний) точки, лежащие на координатных плоскостях и соответствующие, следовательно, нулевым значениям квантовых чисел. Ввиду того что построение решетки чисел существенно связано с рассматриваемой формой тела (куб), вопрос о зависимости эффекта от формы тела приобретает большое значение. Кроме того, рассмотрение этого вопроса представляется нам важным и потому, что в появившихся недавно работах Губанова [10] и Френкеля и Губанова [8] держится ошибочное решение аналогичной задачи.

В первой части настоящей статьи дано решение одной из упомянутых задач — вычисление энергии электронного газа для тела, имеющего форму шара, и показано, что в этом случае результат полностью совпадает с полученным ранее [1] для кубического тела.

Во второй части статьи кратко рассмотрены цитированные работы Френкеля и Губанова.

I

Соответственно принятой нами модели металла Зоммерфельда, разрешенные значения энергии электронов в металлическом шаре могут быть найдены в результате решения уравнения Шредингера:

* В дальнейшем мы будем называть этот эффект «эффектом нулевых квантовых ячеек».

$$\Delta \Psi + \frac{8\pi^2 m}{h^2} E \Psi = 0.$$

Как и раньше [1], мы считаем, что потенциальная энергия вне металла настолько велика по сравнению с таковой внутри металла, что проникновением электронного облака за пределы сферы можно пренебречь. Таким образом, в этой модели двойной слой отсутствует. Поле внутри сферы можно рассматривать как самосогласованное поле.

В соответствии с вышесказанным краевое условие может быть записано в виде

$$[\Psi(r, \theta, \varphi)]_{r=a} = 0,$$

где a — радиус шара, r, θ, φ — сферические координаты.

Определив разрешенные уровни энергии E_i , мы (учитывая принцип Паули) найдем энергию электронного газа E_N в результате вычисления суммы

$$E_N = 2 \sum E_i.$$

Суммирование (3) производится по $\frac{N^2}{2}$ наименьшим уровням энергии (N^2 — общее число электронов в шаре).

Известно [11], что общее решение волнового уравнения (1) в сферических координатах может быть записано в виде:

$$r\Psi = \sum_n A_n \varphi_n(\alpha r) S_n(\theta, \varphi),$$

где A_n — произвольные постоянные; $\varphi_n(\alpha r)$ — обычные функции Бесселя с индексом $n + \frac{1}{2}$ и аргументом αr , умноженные на $\left(\frac{\pi \alpha r}{2}\right)^{1/2}$; $S_n(\theta, \varphi)$ — поверхностная сферическая функция; $\alpha^2 \Delta = \frac{8\pi^2 m E}{h^2}$.

Краевое условие (2) выполняется если α определено так, что

$$\varphi_n(\alpha a) = 0.$$

Приняв, следуя Дебаю [3], асимптотическое выражение для функции Бесселя (12), отвечающее большим значениям n мы получим вместо уравнения (5) следующее уравнение:

$$\cos[\tau] = 0,$$

где

$$[\tau] = x \left(\sin \tau - \frac{1}{\tau} \cos \tau \right) - \frac{\pi}{4},$$

$$\cos \tau = \frac{n + \frac{1}{2}}{x},$$

$$x = \alpha a.$$

Таким образом, корни уравнения (6) передают разрешенные уровни энергии. Для суммирования энергии всех разрешенных уровней достаточно определить число корней (т. е. число разрешенных уровней), лежащих между значениями энергии $E = 0$ и $E = E_m$ (E_m — максимальное значение энергии).

* Решение этой задачи аналогично решению Дебая [3] для случая продольных колебаний.

Значению E_m отвечает $x_0 = \frac{2\pi\sqrt{2mE_m}}{h} a$ и некоторое значение $\tau = \tau_0$. Таким образом, задача сводится к определению числа корней уравнения в интервале $\tau = 0$ и $\tau = \tau_0$, что соответствует интервалу значений $[\tau] - \frac{\pi}{4}$ до $[\tau_0]$.

Число корней Z_n в этом интервале может быть определено следующим образом. Первый корень уравнения (6), очевидно, лежит при $[\tau] = \frac{\pi}{2}$. Поэтому задача сводится к определению числа корней в интервале значений от $\frac{\pi}{2}$ до $[\tau_0]$. Нетрудно видеть, что выражение

$$\frac{[\tau_0] - \frac{\pi}{2}}{\pi}$$

должно всегда давать преуменьшенное, а выражение

$$\frac{[\tau_0] - \frac{\pi}{2}}{\pi} + 1$$

преувеличенное число корней.

Легко показать, что наилучшим приближением в рассматриваемой формуле, отвечающим точности принятого в дальнейшем приближения, является

$$Z_n = \frac{[\tau_0] - \frac{\pi}{2}}{\pi} + \frac{1}{2} = \frac{[\tau_0]}{\pi}. \quad (10)$$

Интересно, что уравнение (10) совпадает с уравнением (64) в работе Дебая [3]. Дебай не рассматривал двух элиминировавшихся в нашем выводе членов, поскольку он интересовался лишь эффектом, пропорциональным объему тела. Однако его результат оказывается правильным в нашем приближении.

Ввиду того что каждая сферическая функция вырождена $(2n+1)$ раз, общее число разрешенных уравнений Z_N определится по уравнению

$$Z_N = \sum_n (2n+1) Z_n. \quad (11)$$

Вводя (10) в (11), получим

$$Z_N = \sum_n (2n+1) \frac{[\tau_0]}{\pi}. \quad (12)$$

В нашем приближении в уравнении (12) нельзя пренебрегать единицей в сравнении с $2n$, как это сделано в соответствующем месте вывода Дебая.

Из уравнения (8) находим

$$n = x \cdot \cos \tau - \frac{1}{2}. \quad (13)$$

Если ввести это значение n в (12), то получим

$$Z_N = \frac{2x}{\pi} \sum_n \cos \tau [\tau_0]. \quad (14)$$

Вводя значение $[\tau_0]$ из (7) в (14), учитывая уравнение (8) и соотношение

$$1 = \Delta n = -x \cdot \sin \tau_0 \Delta \tau_0, \quad (15)$$

получим, переходя от суммирования к интегрированию,

$$Z_N = -\frac{2x^3}{\pi} \int_{\pi/2}^0 \cos^2 \tau_0 (\operatorname{tg} \tau_0 - \tau_0) \cdot \sin \tau_0 d\tau_0 + \frac{x^2}{2} \int_{\pi/2}^0 \cos \tau_0 \sin \tau_0 d\tau_0. \quad (16)$$

Существенно отметить, что в этом выводе нельзя пренебрегать $\frac{1}{2}$ в уравнении (13) по сравнению с n , как это делает Дебай.

Уравнение (16) после интегрирования приводится к виду

$$Z_N = \frac{2x^3}{9\pi} - \frac{x^2}{4}. \quad (16')$$

Вводя

$$\beta = \frac{2\sqrt{2m\pi a}}{h} = x \cdot E^{-1/2}, \quad (17)$$

получим

$$Z_N = \frac{2\beta^3}{9\pi} E^{3/2} - \frac{\beta^2}{4} E. \quad (18)$$

Дифференцирование уравнения (18) приводит к уравнению, определяющему число разрешенных уровней в интервале от E до $E + dE$,

$$dZ_N = \frac{\beta^3}{3\pi} E^{1/2} dE - \frac{\beta^2}{4} dE. \quad (19)$$

Уравнение (3) может быть записано в виде

$$E_N = 2 \int_0^{E_m} E_n dZ. \quad (20)$$

Для определения E_m воспользуемся тем, что общее число разрешенных уровней равно $\frac{N^3}{2}$, т. е.

$$\frac{2\beta^3}{9\pi} E_m^{3/2} - \frac{\beta^2}{4} E_m = \frac{N^3}{2}. \quad (21)$$

Решение уравнения (21) дает

$$E_m = \frac{3\gamma}{\beta^2} (N^2 + \gamma N), \quad (22)$$

где

$$\gamma = \frac{4}{2} \left(\frac{3\pi^2}{2} \right)^{1/3}. \quad (23)$$

Вводя (21) и (22) в (20) и интегрируя, получим после элементарных преобразований (отбрасывая члены порядка N^3 и ниже)

$$E_N = \frac{b^5 \pi \hbar^2}{40m\Delta^5} V + \frac{b^4 \pi \hbar^2}{128m\Delta^4} S, \quad (24)$$

где

$$V = \frac{4}{3} \pi a^3, \quad S = 4\pi a^2, \quad b = \left(\frac{3}{\pi} \right)^{1/3}, \quad \Delta = \frac{V^{1/3}}{N}.$$

Уравнение (24) полностью совпадает с уравнением (7), выведенным в нашей работе [1]. Такое согласие весьма интересно, поскольку в первую

оте [1] поверхностное сгущение было получено, как уже упоминалось, счет «эффекта нулевых квантовых чисел», в настоящей же работе же же поверхностное сгущение возникло естественно, в результате этого решения волнового уравнения с соответствующими краевыми условиями, проведенного с нужной степенью точности.

Вычисление поверхностного сгущения энергии акустических колебаний шара по методу, изложенному в настоящей работе, приводит к результату, полностью совпадающему с результатами расчетов (отдельно продольных и поперечных колебаний), проведенных нами для тела, ющего форму куба, при условии точного учета числа точек в пространственных квантовых чисел по методу, изложенному ранее [1, 2].

Строго говоря, согласие расчетов для куба и шара не может служить тем доказательством независимости поверхностного сгущения от формы а. Однако такое согласие делает утверждение о независимости весьма ятым.

II

В работах Губанова [10] и Френкеля и Губанова [8] рассматривается ие задачи о вычислении энергии акустических колебаний для шара ля прямоугольной пластины с учетом влияния поверхности; указан- авторы при решении этих двух задач получили одинаковые резуль- и пришли к выводу о независимости поверхностного эффекта от формы а. Однако при рассмотрении прямоугольной пластины [8] основной фект нулевых квантовых чисел» этими авторами не был замечен. жем, что значение этого эффекта следует, например, из того, ля случая электронного газа он является вообще единственным еделяющим поверхностное натяжение металлов.

При рассмотрении решения для шара в статье Губанова [10] также учена ошибка, благодаря чему упомянутый эффект и в этой работе был учтен. При определении числа корней уравнения (6) вместо на- о уравнения (10) Губанов принял

$$Z_n = \frac{[\tau_0] + \frac{\pi}{4}}{\pi} \quad [8]; \text{ ур. (3.6)};$$

этом автор отмечает, что в отличие от Дебая [3] он не пренебрегает ом $\frac{\pi}{4}$. В данном случае, как было выше показано, при правильном ите указанное отличие не должно иметь места.

В результате авторы приходят к неправильному выводу, что суммиро ие объемных колебаний не дает поверхностного эффекта и, например, «число возможных объемных колебаний оказывается в точности оди- зым в случае шара с закрепленной и свободной поверхностью» [8]; стр. 430).

Тот факт, что в указанных работах «эффект нулевых квантовых чисел» ялся незамеченным, объясняется, таким образом, случайным совпа- ем результатов двух ошибочных расчетов.

Из сказанного выше очевидно, что уравнение для вычисления общего а степеней свободы [ср. уравнение (5.12) в работе [10] и уравнение) в работе [8]] и основанные на этом уравнении формулы для вычи- ния свободной энергии тела и зависимости поверхностного натяжения емпературы также неверны.

Гочные уравнения для вычисления общего числа акустических коле- ий и энергии тела с учетом «эффекта нулевых квантовых чисел» со- жатся в нашей работе [2].

ользуясь случаем выразить благодарность проф. А. А. Ижуховиц- у за ряд ценных указаний, сделанных при обсуждении данной работы.

Выводы

1. Проведен расчет поверхностного сгущения энергии электронного газа, заключенного в сферу.
2. Результат расчета совпадает с полученным ранее [1] для кубического тела, что показывает независимость эффекта от формы тела.
3. Указаны ошибки в работах Френкеля и Губанова по вычислению энергии акустических колебаний с учетом влияния поверхности.

Москва

Поступила
20. X. 1946

ЛИТЕРАТУРА

1. А. Брегер, А. Жуховицкий, Журн. физ. хим., **20**, 355, 1946.
2. А. Брегер, А. Жуховицкий, *ibid.*, **20**, 1459, 1946.
3. P. Debye, Ann. Physik (4) **39**, 789, 1912.
4. R. Ortvaay, Ann. Physik (4) **42**, 745, 1913.
5. Rayleigh, Nature **72**, 54, 243, 1905.
6. J. H. Jeans, Phil. Mag. **10**, 91, 1905.
7. Я. И. Френкель, Кинетическая теория жидкостей, стр. 292 и след. Изд. АН СССР, 1945.
8. Я. Френкель, А. Губанов, ЖЭТФ **16**, 435, 1946.
9. H. Weil, Math. Ann. **71**, 441, 1911.
10. А. Губанов, ЖЭТФ **16**, 423, 1946.
11. См., например, P. Debye, Ann. Phys. (4) **30**, 57, 1909.
12. E. Jahnke, F. Emde, Funktionen-Tafeln, S. 102, Leipzig, 1909.

ПРЕДВАРИТЕЛЬНЫЕ СООБЩЕНИЯ И ДИСКУССИЯ

ЭНТРОПИИ ВЕЩЕСТВ В КРИСТАЛЛИЧЕСКОМ СОСТОЯНИИ

К. Б. Яцимирский

В Журнале физической химии (том 20, стр. 941, 1946) опубликована статья Е. Н. Гапона, в которой приводится сводка вычисленных автором «Стандартных энтропий в кристаллическом состоянии».

Ниже приводится составленная нами таблица, в которой помещены значения энтропии, вычисленные с использованием данных Е. Н. Гапона, и экспериментальные значения, найденные различными авторами для 30 соединений.

единица	Значение энтропии		Разность	Источник		
	вычисления по данным Гапона	экспериментальн.				
				Anderson:		
O	21	16,8	4,2	J. Am. Chem. Soc.	57,	429, 1935
O	17	13,0	4,0	»	57,	429, 1935
CO ₂	31	26,7	4,3	»	56,	340, 1934
CO ₂	27	23,2	3,8	»	56,	340, 1934
S	16	13,5	2,5	»	53,	476, 1931
IS	21	18,7	2,3	»	53,	476, 1931
ICO ₂	25	20,5	4,5	»	56,	849, 1934
CO ₂	27	31,3	-4,3	»	56,	849, 1934
S	26	28,9	-2,9	»	54,	407, 1932
CO ₂	29	32,5	-3,5	»	55,	3621, 1933
SO ₄	43	31,5	11,5	Latimer, Hicks, Schutz:	1,	424, 1933
SO ₄ ·2H ₂ O	52	45,7	6,3	J. Chem. Phys.	1,	424, 1933
(NO ₃) ₂	40	46,2	-6,2	Shomate, Kelley:		
(NO ₃) ₂	36,5	39,2	-2,7	J. Am. Chem. Soc.	66,	1490, 1944
nSO ₄	37	26,8	10,2	»	66,	1490, 1944
SO ₄	35	25,7	9,3	Moore, Kelley:		
gSO ₄	28,5	21,9	6,6	J. Am. Chem. Soc.	64,	2949, 1942
SO ₄	48	42,0	6,0	»	64,	2949, 1942
				»	64,	2949, 1942
NO ₂	33,5	38,1	-4,6	Latimer, Ahlberg:		
I ₂ PO ₄	38	32,2	5,8	J. Am. Chem. Soc.	54	1900, 1932
Cl ₂	31	28,0	3,0	Stephenson, Hooley:		
SO ₄	32	25,7	6,3	J. Am. Chem. Soc.	66	1397, 1944
IS	17	13,8	3,2	Kelley, Moore:		
Cl	26,5	24,8	1,7	J. Am. Chem. Soc.	65	1264, 1943
Br	29,5	26,8	2,7	Kamitake:		
J	31,5	29,9	1,6	Zbl.	II	335, 1935
SO ₄	52	47,8	4,2	Kelley:		
N ₂	-4	12,0	16,0	U. S. Bur. Mines Bull.		350, 1932
N ₄	10	45,4	35,4	»		
SiO ₂	25	21,3	3,7	»		
				Latimer, Hicks, Schutz:		
				J. Chem. Phys.	1	424, 1933
				Kelley:		
				U. S. Bur. Mines Bull.	407,	1937
				J. Am. Chem. Soc.	68	2750, 1941

Из приведенных в таблице данных (количество примеров можно было бы увеличить) можно видеть, что вычисленные и экспериментальные значения энтропии почти всех случаях значительно отличаются друг от друга, причем разница колеблется в пределах от $-6,2$ до $+35,4$ энтропийных единиц (cal grad).

Для нитрида же бериллия, по Е. Н. Гапонову, получается отрицательное значение энтропии.

Не возражая против правила аддитивности энтропий для типичных ионных соединений, формулированного Улихом, мы полагаем, что приведенные Е. Н. Гапоном значения для ряда ионов не могут считаться достоверными и нуждаются в пересмотре (автор использовал только данные, помещенные в «Справочнике технической энциклопедии» (1933 г.), и данные Маколкина для CdO и Ag_2S). Что же касается энтропий соединений со значительной долей ковалентной связи, то вряд ли в этом случае применим рассматриваемый метод.

Химико-технологический институт
Иваново

Поступила
17.XII.1946

Подписано в печать 13.V 1947 г.

А—04823

Уч.-изд. л. 11,9

Печ. л. 7+1 вклейка

Тираж 3400 экз.

Заказ № 143

Цена 12 руб.

2-я типография Издательства Академии Наук СССР
Москва, Шубинский пер., 10

ИСПРАВЛЕНИЯ К СТАТЬЕ

Т. А. Иоселова, Я. Я. Шляпников, Н. И. Кобозева
и Л. А. Николаева

ИССЛЕДОВАНИЕ ИОННО-ОРГАНИЧЕСКОГО КАТАЛИЗА МЕТОДОМ ТЕОРИЙ АКТИВНЫХ АНСАМБЛЕЙ

1. Исследование каталитической гидратации ацетилена по Кучерову

Журнал физической химии, 21, 1947

Стр.	Строка	Напечатано	Должно быть
65	7 св.	уксуснокислого синтетиче- ского каучука	синтетического каучука
76	6—7 св.	$p \approx 90$ $p' \approx 56$	$p = 56$
77	25 св.	теории мозаики ансамблей	теории активных ансамблей
78	16—17 св.	породы	природы
79	18 св.	$= \lg \gamma \cdot G; G$	$\lg \gamma; G$
80	11 св.	проделанные в лаборатории акад. А. Н. Несмеянова	предоставленными лаборато- рией акад. А. Н. Несмеянова
84	1 св.	каталитических активных	биологически-активных

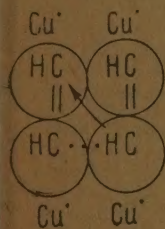
ИСПРАВЛЕНИЯ К СТАТЬЕ

Е. Н. Мартинсон и Н. И. Кобозева

ИССЛЕДОВАНИЕ ИОННО-ОРГАНИЧЕСКОГО КАТАЛИЗА МЕТОДОМ ТЕОРИЙ АКТИВНЫХ АНСАМБЛЕЙ

Исследование каталитической полимеризации ацетилена в виниловые производные

Журнал физической химии, 21, 1947



(Стр. 94) Обозначения $\bigcirc\bigcirc\bigcirc$ на рис. 9 относятся ко всем трем сериям опытов.

На стр. 95 пропущены рис. 40 и табл. 8.

Рис. 10

Таблица 8

Температурный коэффициент

	CuCl (мг)	Активность a_{40}° (см ³ C ₂ H ₂ за 40 мин.)	Активность a_{40}° (см ³ C ₂ H ₂ за 40 мин.)	$\frac{a_{40}^{\circ}}{a_{30}^{\circ}}$	E, кал
«Гомогенная» среда	1. 600	4,05	5,40	1,33	6 150
	2. 300	3,00	4,08	1,36	6 568
	3. 200	2,02	2,75	1,36	6 568
На угле III	1. 16,20	4,50	5,00	1,11	2 250
	2. 4,00	1,50	1,70	1,13	2 680
	3. 4,00	1,50	1,75	1,16	3 290

Жданов, В. А. Пospelov. Кристаллическое строение цианидов. V. Определение элементарной ячейки и пространственной группы кристалла $K_2Fe(CN)_6 \cdot 3H_2O$ (тетрагональный тип)	521	G. S. Zhdanov and V. A. Pospelov. The Crystal Structure of Cyanides. V. Determination of the Unit Cell and the Space Group of a Crystal of $K_2Fe(CN)_6 \cdot 3H_2O$ (Tetragonal Type)	521
Жданов и М. М. Уманский. Кристаллическое строение динитронафталинов. I. Рентгенографическое определение элементарной ячейки и пространственной группы кристалла 1,8-динитронафталина	523	G. S. Zhdanov and M. M. Uman'skii. The Crystal Structure of Dinitronaphthalenes. I. X-ray Determination of the Unit Cell and the Space Group of a Crystal of 1,8 Dinitronaphthalene	523
Севастьянов, Г. С. Жданов и М. М. Уманский. Кристаллическое строение динитронафталинов. II. Рентгенографическое определение элементарной ячейки и пространственной группы кристалла 1,5-динитронафталина	525	N. G. Sevast'yanov, G. S. Zhdanov and M. M. Uman'skii. The Crystal Structure of Dinitronaphthalenes. II. X-ray Determination of the Unit Cell and the Space Group of a Crystal of 1,5 Dinitronaphthalene	525
Блюменфельд. Электронные уровни и спектр поглощения нафталина	529	L. A. Blyumenfeld. The Electronic Levels and Absorption Spectrum of Naphthalene	529
Кейер и С. З. Рогинский. О влиянии свободной энергии процесса приготовления на каталитическую активность пиролизической записи никеля	539	N. P. Keierad S. Z. Roginskii. The Effect of the Free energy of the Process of Preparation on the Catalytic Activity of Pyrolytic Nickelous Oxide	539
Иoffee и Л. М. Морозовская. Кинетика реакции хлористого аллила с серной кислотой	545	I. I. Ioffe and L. M. Morozovskaya. The Kinetics of the Reaction between Allyl Chloride and Sulphuric Acid	545
Рысс и М. М. Слутская. Кинетика разложения тетрафтороборатов в водных растворах	549	I. G. Ryss and M. M. Slutskaya. Kinetics of the Decomposition of Tetrafluoroborates in Aqueous Solutions	549
Клемент. Влияние кислорода на процессы диффузии при возникновении щелочно-галогенных фосфоров	563	F. D. Klement. The Effect of Oxygen on the Process of Diffusion during the Formation of Alkali-Halide Phosphors	563
Ормонт. К теории рекристаллизации анионных процессов. I	569	B. F. Ormont. The Theory of Recrystallization Processes. I	569
Хачванкян и Б. Ормонт. К теории рекристаллизационных процессов. II	575	M. A. Khachvankyan and B. Ormont. The Theory of Recrystallization Processes. II	575
Колотыркин и Н. Бунэ. Перенапряжение водорода на свинцовом электроде и стационарный потенциал растворения свинца в серной кислоте	581	Ja. Kolotyrkin and N. Bune. The Hydrogen Overvoltage on the Lead Electrode and the Stationary Solution Potential of Lead in Sulphuric Acid	581
Луковцев. К теории водородного перенапряжения	599	P. D. Lukovtsev. On the Theory of the Hydrogen Overvoltage	599
Луковцев и С. Левина. Перенапряжение водорода на никеле в щелочных растворах	599	P. Lukovtseva and S. Levina. The overvoltage of Hydrogen on Nickel in Alkali Solutions	599
Семенченко и Л. П. Шикобалова. Поверхностное натяжение и кристаллизация	613	V. K. Semenchenko and L. P. Shikhobalova. Surface Tension and Crystallization. I. The Surface Tension of Fused Salts	613
Брегер. О независимости поверхностного сжатия энергии собственных колебаний от формы тела	623	A. Kh. Breger. On the Independence of the Surface Excess of Energy of Thermal Vibrations on the Forms of Bodies	623
Предварительные сообщения и дискуссия		Preliminary Communications and Discussion	
Яцимирский. О статье Э. П. Гапона «Об энтропии веществ в кристаллическом состоянии»	629	K. B. Yatsimirskii. On the Paper of E. N. Gapon, «The Standard Entropies of Ions in the Crystalline States»	629

ВНИМАНИЮ АВТОРОВ

Статьи, направляемые в «Журнал физической химии», должны удовлетворять следующим требованиям:

1. Статьи, излагающие результаты работ, проведенных в учреждениях, должны обязательно иметь направление учреждения. В конце статьи автором должно быть приведено название научного учреждения, в котором произведена работа.

2. Изложение работы должно быть дано в наиболее сжатой форме, совместимой с ясностью изложения.

3. Статьи должны быть напечатаны на машинке, с двумя интервалами, без помарок и вставок, на одной стороне листа. Сокращения слов, кроме общепотребительных, не допускаются. В редакцию предоставляется первый машинописный экземпляр.

4. Статьи должны быть оформлены в отношении расположения материала (заголовки, таблицы, цитируемая литература и т. д.) так, как это принято в ЖФХ.

5. Все формулы должны быть вписаны четко и ясно. Особенное внимание следует обращать на аккуратное изображение индексов и показателей степени.

6. Во избежание недоразумений и ошибок следует делать также ясное различие между заглавными и строчными буквами, для чего подчеркивать заглавные буквы снизу двумя черточками (например *S*). Греческие буквы должны быть обведены красным карандашом. Готические буквы — подчеркнуты синим карандашом.

7. Весь иллюстративный материал к статьям представляется отдельно, ни в коем случае не должен приклеиваться

к оригиналу; подписи к рисункам должны быть даны отдельно.

8. На обороте оригиналов рисунков должны быть указаны фамилия автора, название статьи и № рисунка.

9. Чертежи должны содержать все необходимые буквенные обозначения (кривых, отдельных деталей) и не содержать никаких лишних обозначений и подписей. Надписи по возможности должны быть заменены цифрами или буквенными обозначениями, которые должны иметь пояснение в тексте или в подписи к рисунку.

10. Авторы должны избегать повторения одних и тех же данных в таблицах, графиках и тексте статьи.

11. Места, предназначенные к набору, должны быть отмечены вертикальной чертой на полях.

12. Цитируемая в статье литература должна даваться автором не в виде подстрочных примечаний, а общим списком в конце статьи, с обозначением в тексте статьи ссылки на цитируемую работу порядковым номером в квадратных скобках. Фамилии иностранных авторов в тексте даются в русской транскрипции.

Статьи, не удовлетворяющие указанным требованиям, будут возвращаться авторам.

В случае направления автору статьи для согласования с ним внесенные редакцией изменения сохраняются первоначальная дата поступления статьи в редакцию.

Редакция оставляет за собой право не вносить сделанных автором в корректуре изменений текста первоначально представленной рукописи статьи и дополнений к нему.